ISSN 2219-6404

«Нужно много учиться, чтобы немногое знать»
Шарль Монтескьё (1689–1755)

Лечебное дело

4 (50) / август 2016

Научно-практический терапевтический журнал
www.lech-delo.by

магнерот® –
БОЛЬШЕ, ЧЕМ ПРОСТО МАГНИЙ!

Представительство компании «Вёрваг Фарма ГмбХ и Ко. КГ» (Германия) в Республике Беларусь:
220004, г. Минск, ул. Раковская, д. 12, офис 201, тел./факс: (017) 203-59-42, (017) 203-07-51

WÖRWAG PHARMA

РУ МЗ РБ Магнерот ® №10197/14 от 04.01.2014 до 04.01.2019
Информация носит рекламный характер

Кавинтон®

10 мг х 3 в сутки

УПРАВЛЕНИЕ ИНТЕЛЛЕКТОМ ЧЕРЕЗ ПОКОЛЕНИЯ

- ✓ Комплексная терапия энцефалопатии и инсульта[1]
- ✓ Улучшение памяти и внимания[2]
- ✓ Устранение головокружения[2]

1. Суслина З. А., Танашян М. М. и др. РМЖ, 2002, 10:25:1170–1174
2. Чуканова Е. И. «Неврология и психиатрия»; 12, 2010

Рег. уд. № 9036/95/2000/05/09/14 от 29.09.2014 г.
Рег. уд. № 5191/01/06/10/11/16 от 28.01.2016 г.

Гедеон Рихтер ОАО
Основано в 1901 году

Лечебное дело

4(50)/2016 август

Научно-практический терапевтический журнал

Издается с 2008 года

Периодичность издания: один раз в два месяца

Входит в перечень научных изданий, рекомендованных ВАК Республики Беларусь
для публикации материалов диссертационных исследований
(научное направление – терапия)

Включен в базу данных Российского индекса научного цитирования (eLibrary.ru)

Главный редактор: ***А.В. Хапалюк***

Заместитель главного редактора: ***Т.А. Нечесова***

Литературный редактор: ***И.Г. Давыдик***

Дизайн и верстка: ***Н.М. Леднёва***

НАУЧНО-РЕДАКЦИОННЫЙ СОВЕТ

Гастроэнтерология и гепатология	*Ю.В. Горгун, Ю.Х. Мараховский, С.И. Пиманов, Н.Н. Силивончик*
Гематология и трансфузиология	*Л.А. Смирнова*
Инфекционные болезни	*И.А. Карпов*
Кардиология	*Е.С. Атрощенко, А.Г. Булгак, В.И. Козловский, Н.А. Манак, Н.П. Митьковская, А.Г. Мрочек, Е.Ф. Заремба (Львов), А.М. Пристром, М.С. Пристром, В.М. Пырочкин, В.А. Снежицкий, С.Г. Суджаева*
Клиническая биохимия	*А.Д. Таганович*
Неврология	*В.В. Евстигнеев, С.А. Лихачев, В.В. Пономарев*
Нефрология	*В.С. Пилотович*
Общая и клиническая фармакология	*Н.А. Бизунок, Э.А. Доценко, М.Р. Коноров, Д.А. Рождественский (Москва)*
Общественное здоровье и здравоохранение	*Т.П. Павлович, Н.Н. Пилипцевич, Р.А. Часнойть, М.В. Щавелева*
Психосоматическая медицина	*С.А. Игумнов, А.В. Копытов, О.А. Скугаревский*
Пульмонология и фтизиатрия	*Г.Л. Гуревич, В.Л. Крыжановский, Е.А. Лаптева, А.Э. Макаревич, Е.М. Скрягина, В.П. Царев*
Ревматология	*Н.А. Мартусевич, Е.Л. Насонов (Москва), Т.Д. Тябут, В.В. Цурко (Москва)*
Физиотерапия и восстановительная медицина	*А.В. Волотовская, Э.С. Кашицкий, В.Б. Смычёк*
Эндокринология	*Л.И. Данилова, Т.В. Мохорт, Е.А. Холодова, А.П. Шепелькевич*

Учредитель и издатель: ООО «Медицинские знания»
Адрес редакции: 220049, г. Минск, ул. Черняховского, д. 3, к. 28
Тел. +375 17 284 40 49, e-mail: lechebnoe.delo@yandex.ru, akhapa@tut.by
Свидетельство о регистрации № 673 от 18.09.2009 г.
Выдано Министерством информации Республики Беларусь
Подписные индексы журнала по каталогу РУП «Белпочта»:
01048 (инд.), 010482 (вед.)
Тел. главного редактора:
+375 29 778 97 74; +375 29 674 97 74

Полиграфическое исполнение: ОАО «Промпечать»
220049, г. Минск, ул. Черняховского, 3
ЛП № 02330/233 от 11.03.2009 г.
Печать офсетная. Бумага офсетная
Усл. печ. л. 9,93. Заказ № _____. Тираж 400 экз.
Периодичность издания: 1 раз в два месяца
Автор несет ответственность за направление статей, ранее опубликованных или принятых к печати в других изданиях.

Мнение авторов не всегда отражает точку зрения редакции.
При использовании материалов ссылка на журнал обязательна.

Местная терапия невропатической боли

Устойчивый АНАЛЬГЕТИЧЕСКИЙ ЭФФЕКТ

Капсагамма Долор 0,05% крем

Стандартизованный густой экстракт кайенского перца (Capsicum)
53 мг Капсаицина в 100 г крема

Капсагамма Долор

- **Эффективно блокирует боль в области голеней и стоп при полиневропатии**
- **Лекарственное средство растительного происхождения**
- **Единственный препарат капсаицина с разрешенной длительностью лечения до 8 недель**

Лекарственное средство.Противопоказано при беременности и лактации. Имеются противопоказания. Возможно развитие побочных эффектов. Перед применением необходимо проконсультироваться с врачом.

Представительство компании «Вёрваг Фарма ГмбХ и Ко. КГ» (Германия) в Республике Беларусь:
220004, г. Минск, ул. Раковская, д. 12, офис 201, тел./факс: (017) 203-59-42, (017) 203-07-51
РУ МЗ РБ Капсагамма Долор № 10306/15 от 22.01.2015г. до 22.01 2020 г.

WÖRWAG PHARMA

Информация носит рекламный характер

А.В. Хапалюк,
главный редактор журнала, заведующий кафедрой клинической фармакологии БГМУ, доктор медицинских наук, профессор

Уважаемые коллеги!

Давайте мысленно вернемся в студенческую юность и вспомним свои первые шаги в клинике внутренних болезней. С чего мы начинали изучение болезней? – С этиологии. Но действительно ли мы изучали этиологию заболеваний (исключая, конечно, болезни, когда этиологическим началом выступает инфекционный агент)? – Конечно, нет. В понятие «этиология» мы вместе с преподавателями вкладывали факторы, больше ассоциирующиеся с развитием болезни, нежели ее вызывающие. Почему? – Вероятно, потому, что наиболее понятна экологическая модель медицины (по В.М. Дильману, 1987), где патогенным фактором является внешний (прежде всего инфекционный). По аналогии с причинами инфекционных болезней подходили к объяснению всех других. Понятно, что на самом деле это не так. Кстати, еще И.П. Павлов обращал внимание на то, что *«этиология – самый слабый отдел медицины»*.

Дидактически на студенческом этапе обучения диагностике и лечению болезней мы вряд ли смогли бы понять всю глубину проблемы патогенеза болезней. Когда, много позже, мы уже для этого созреваем, повседневные будни отодвигают осмысление данной проблемы «на потом»…Тем не менее сегодня медицинская мысль устремилась в сторону превентивной медицины, и в данном ракурсе такой теоретический вопрос, как этиология болезней, получает вполне конкретное практическое наполнение.

Первой и самой серьезной попыткой в мире установить этиологию сердечно-сосудистых болезней стало исследование в городе Фремингеме (США, 1948), получившее название Фремингемского. Город Фремингем расположен недалеко от Бостона, крупного университетского центра. Небольшая численность населения – 25 тысяч человек – давала возможность проследить в течение длительного периода судьбу каждого жителя. Первоначально в исследуемую когорту было включено 5209 мужчин и женщин в возрасте от 30 до 62 лет. С 1949 г. проводилось периодическое (один раз в два года) комплексное обследование участников исследования по формализованным анкетам. В 1971 г. было начато исследование профиля факторов риска сердечно-сосудистых болезней у родственников первой степени родства – 5124 жителя (дети); в 2012 г. – 3500 человек третьего поколения (внуки).

Первоначальной задачей Фремингемского исследования было установление конкретных этиологических факторов атеросклероза и связанных с ним заболеваний сердечно-сосудистой системы. Однако с течением времени стало очевидно, что возникновение этой группы болезней ассоциировано с действием различных факторов. Это изменения лабораторных показателей (в частности, концентрации различных фракций холестерина), особенности образа жизни, гемодинамические показатели (уровень артериального давления). Воздействие каждого из этих факторов на организм человека бывает зачастую недостаточным для того, чтобы вызвать развитие заболевания. Строго говоря, они не могут быть отнесены к *этиологическим*, однако при их наличии вероятность возникновения болезни многократно возрастает. Эта группа факторов получила название *«факторы риска»* (1961). Стали выделять изменяемые (модифицируемые) и неизменяемые (немодифицируемые) факторы риска. Изменяемыми считают факторы риска, степень выраженности которых может быть снижена путем медикаментозных и немедикаментозных воздействий (например, артериальная гипертензия, гиперхолестеринемия, курение). Неизменяемые факторы риска не поддаются коррекции (возраст, пол). Результаты Фремингемского исследования позволили доказать роль гиперхолестеринемии, артериальной гипертензии, ожирения, сахарного диабета, менопаузы как факторов риска развития ИБС и инсультов. Следует специально отметить выделение факторов, относящихся к особому образу жизни (курение, малоподвижный образ жизни).

Таким образом, найдена ли этиология сердечно-сосудистых заболеваний? – Безусловно, нет. Почему? – Потому что ее нет в природе! Патологические преобразования в сердечно-сосудистой системе развиваются задолго до их манифестации. Они начинаются незаметно, скрытно, под воздействием различных модифицируемых и немодифицируемых факторов. Из всего вышесказанного мы можем сделать вывод, что мультифакториальные заболевания не имеют *конкретной этиологии*. Они все «полиэтиологичны». Это означает, что в основе современной медицины и ее профилактического направления должна лежать концепция конкретных факторов риска для каждого конкретного заболевания. Но это уже другая модель медицины, предполагающая иной алгоритм рассуждений, – аккумуляционная (В.М. Дильман, 1987), о чем речь пойдет в следующем выпуске.

С уважением,
главный редактор А.В. Хапалюк

МИЛЬГАММА®

БЫСТРАЯ И ЭФФЕКТИВНАЯ ПОМОЩЬ В ЛЕЧЕНИИ НЕВРОЛОГИЧЕСКИХ РАССТРОЙСТВ

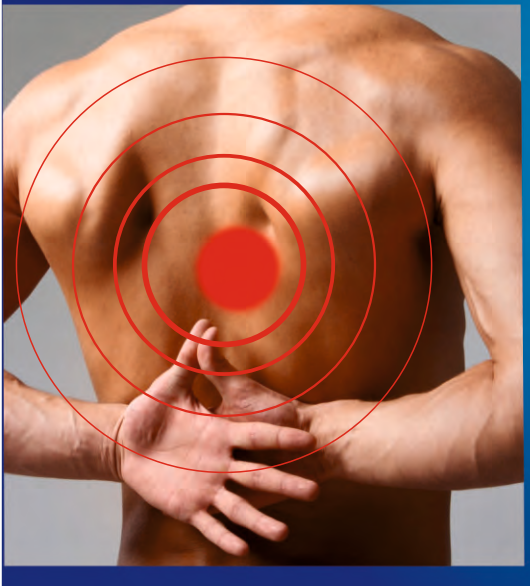

Боль в спине?

Лицевая боль?

Невозможно поднять руку?

- **Выраженный обезболивающий эффект**
- **Неотъемлемый компонент терапии при радикулите, плексопатии, невритах, невралгии, полиневропатии, миалгии**
- **Мильгамма® с бенфотиамином обеспечивает длительную и надежную защиту нервных волокон**

Способ применения и дозы:

Мильгамма® инъекции: по 1 ампуле 1 раз в сутки внутримышечно 5–10 инъекций, затем Мильгамма® таблетки: по 1 таблетке 2–3 раза в сутки внутрь в течение 4–6 недель

Лекарственное средство. Перед применением проконсультируйтесь с врачом и ознакомьтесь с инструкцией.

РУ МЗ РБ № 8095/07/12 до 27.03.2017 г. РУ МЗ РБ № 8094/07/12 до 14.03.2017 г.

ПЕРЕДОВАЯ СТАТЬЯ / EDITORIAL

Роль фенотипирования по критериям ASC в установлении вариабельности этиопатогенетических механизмов и разработке схем фенотип-ориентированного лечения инфаркта мозга при атеросклерозе экстракраниальных артерий / The ASC phenotyping in the identifying of the ischemic stroke causes variability and in the phenotype-oriented treatment and prevention schemes improving in the patients with extracranial arteries atherosclerosis

Э.К. Сидорович / E.K. Sidorovich 7

В МИРЕ ЛЕКАРСТВ / AMONG ALL DRUGS

Комбинация индапамида медленного высвобождения с амлодипином в лечении пациентов с артериальной гипертензией / The combination of indapamide slow release amlodipine for treatment of patients with arterial hypertension

Е.Л. Трисветова / E.L. Trisvetova 19

НАУЧНЫЕ ПУБЛИКАЦИИ / SCIENTIFIC RESEARCHES

Антибактериальная терапия у пациентов с хроническим бронхитом и хронической обструктивной болезнью легких / Antibiotics therapy in the patients with chronic bronchitis and chronic obstructive lung disease

Е.А. Лаптева / E.A. Lapteva 26

Дифференцированные режимы спелеотерапии в комплексном лечении хронической обструктивной бронхолегочной патологии / Differentiated modes of speleotherapy in complex treatment of chronic obstructive bronchopulmonary pathology

Е.А. Лаптева / E.A. Lapteva 31

Неспецифическое системное воспаление у пациентов с хронической ревматической болезнью сердца в течение года после операции на клапанах сердца / Non-specific systemic inflammation in patients with chronic rheumatic heart disease within one year after valve surgery

Н.А. Казаева, С.Г. Суджаева, Т.С. Губич, О.А. Суджаева / N.A. Kazaeva, S.G. Sudzhaeva, T.S. Gubich, O.A. Sudzhaeva 36

Влияние статинов в комбинации с альфа-липоевой кислотой на функцию печени пациентов с нестабильной стенокардией / The effect of statins in combination with alpha-lipoic acid on the function of the liver in patients with unstable angina

Е.Ф. Заремба, О.В. Смалюх / E.H. Zaremba, O.V. Smalyukh 47

Роль молекулярно-биологических факторов в патогенезе артериальной гипертензии и их ассоциация с полиморфными маркерами генов ренин-ангиотензин-альдостероновой и гомоцистеиновой систем / The role of molecular biological factors in the pathogenesis of arterial hypertension and association with genes polymorphism of the renin-angiotensin-aldosterone and the homocysteine systems

В.Н. Сорокина / V.N. Sarokina 50

Фармакотерапия алкогольной зависимости с учетом клинико-генетических особенностей дофаминовой нейромедиаторной системы / Pharmacotherapy of alcohol dependence based on the clinical-genetic peculiarities of dopamine neurotransmitter system

А.В. Копытов / A.V. Kopytov 56

Качество жизни беременных женщин с высокодифференцированным раком щитовидной железы / Quality of life of pregnant women with high-differentiated cancer of a thyroid gland

Е.В. Богомазова, О.А. Воронец / E.V. Bogomazova, O.A. Voronets 63

ОБЗОРЫ И ЛЕКЦИИ / REVIEWS & LECTURES

Витамин D, паратгормон и хроническая болезнь почек / Vitamin D, parathormone and chronic kidney disease

Н.В. Карлович, Т.В. Мохорт / N.V. Karlovich, T.V. Mokhort 73

Современные аспекты шейного головокружения / Modern aspects of cervical dizziness

К.А. Садоха, С.Л. Якуш / K.A. Sadokha, S.L. Yakush 80

ПРАВИЛА ОФОРМЛЕНИЯ СТАТЕЙ

ARTICLES SUBMISSION GUIDELINES

Журнал «Лечебное дело» публикует обзоры, посвященные актуальным проблемам диагностики и лечения заболеваний внутренних органов, включая дискуссионные вопросы, лекции для практикующих врачей, оригинальные клинические исследования, посвященные эпидемиологии, патогенезу, диагностике и лечению отдельных заболеваний внутренних органов, краткие сообщения о новейших достижениях фундаментальной и клинической медицины, актуальные вопросы клинической фармакологии и фармакотерапии, клинические разборы и описания необычных клинических наблюдений.

Для публикации статьи автору необходимо представить рукопись, отпечатанную на бумаге формата А4 с одной стороны (перенос слов не делать), а также электронный вариант текста. Оригинальные статьи должны быть построены по традиционному для мировой научной периодики плану. Объем оригинальной статьи, включая таблицы, рисунки, литературу, резюме, не должен превышать 15 страниц печатного текста (12 пунктов, одинарный интервал, поля: слева, сверху и снизу – 25 мм, справа – 10 мм). Обзорные статьи и лекции не должны занимать более 25 страниц. Другие материалы (актуальные вопросы фармакотерапии, клинические разборы, описания необычных клинических наблюдений и т. п.) не должны превышать 10 страниц.

В выходных сведениях к статье указываются индекс УДК, заглавие статьи (на русском и английском языках), инициалы и фамилия автора(-ов) (на русском и английском языках), место работы каждого из них (на русском и английском языках) и контактная информация одного из авторов статьи (телефон, e-mail) .

Оригинальные и обзорные статьи должны иметь следующие рубрики: резюме и ключевые слова (на русском и английском языках), введение, материал и методы, результаты и обсуждение.

Статья должна быть тщательно выверена автором, так как редакция не высылает корректуру.

Математические и химические формулы должны быть написаны очень четко.

Таблицы должны иметь заголовок, быть компактными. Ссылка на таблицу в тексте обязательна.

Количество рисунков в статье должно быть минимальным. Иллюстрации требуется представлять в формате TIFF или cdr, графики и диаграммы – MS Excel и в распечатанном виде. Рисунки не должны содержать пояснительных надписей и обозначений, которые можно поместить в текст или подрисуночные подписи. В тексте статьи должна быть ссылка на каждый рисунок.

К статье необходимо приложить список всей цитируемой литературы, который должен включать не более 20 источников в оригинальных статьях и 50 – в обзорных и лекциях. Библиографические ссылки в тексте даются в квадратных скобках цифрами. Литературная ссылка должна включать фамилию и инициалы автора(-ов), заглавие статьи, название журнала, год, том, номер, страницы. Сокращенные названия журналов должны соответствовать нормам, принятым в Index Medicus. Для книг и сборников указываются заглавия по титульному листу, место и год издания. В списке литературы все работы могут перечисляться как в алфавитном порядке, так и в порядке цитирования.

За достоверность данных, представленных в статье, ответственность несут авторы.

Редколлегия журнала «Лечебное дело» просит авторов оформлять направляемые в редакцию статьи в строгом соответствии с вышеперечисленными правилами. *Статьи, не соответствующие правилам оформления, к публикации не принимаются.*

Редакция журнала оставляет за собой право вносить стилистические правки, изменять заглавия статей, термины, определения, сокращать тексты статей, а также не публиковать перечень использованной литературы, с которым всегда можно ознакомиться в редакции.

Рукописи, не принятые к печати, авторам не возвращаются.

Статьи следует направлять по адресу:
220049, г. Минск, ул. Черняховского, д. 3, к. 28
e-mail: akhapa@tut.by, lechebnoe.delo@yandex.ru

УДК 616.8-005

РОЛЬ ФЕНОТИПИРОВАНИЯ ПО КРИТЕРИЯМ ASC В УСТАНОВЛЕНИИ ВАРИАБЕЛЬНОСТИ ЭТИОПАТОГЕНЕТИЧЕСКИХ МЕХАНИЗМОВ И РАЗРАБОТКЕ СХЕМ ФЕНОТИП-ОРИЕНТИРОВАННОГО ЛЕЧЕНИЯ ИНФАРКТА МОЗГА ПРИ АТЕРОСКЛЕРОЗЕ ЭКСТРАКРАНИАЛЬНЫХ АРТЕРИЙ

Э.К. Сидорович*

Республиканский научно-практический центр неврологии и нейрохирургии, Минск

*Контактная информация. Тел.: +375 29 179 79 57, e-mail:_sidor@tut.by

THE ASC PHENOTYPING IN THE IDENTIFYING OF THE ISCHEMIC STROKE CAUSES VARIABILITY AND IN THE PHENOTYPE-ORIENTED TREATMENT AND PREVENTION SCHEMES IMPROVING IN THE PATIENTS WITH EXTRACRANIAL ARTERIES ATHEROSCLEROSIS

E.K. Sidorovich*

Republican Research and Practical Centre of Neurology and Neurosurgery, Minsk

*Corresponding author. Tel.: +375 29 179 79 57, e-mail:_sidor@tut.by

В результате анализа фенотипирования инфаркта мозга по критериям ASC (A – atherosclerosis/атеросклероз, S – small vessel disease/микроангиопатия, C – cardiac source/кардиальная причина) у 238 пациентов с атеросклерозом экстракраниальных артерий установлено, что фенотипирование позволяет оценить вклад многих этиопатогенетических механизмов и их сочетаний в развитие инфаркта мозга, в том числе атеросклероза невысоких градаций A_2 и A_3, а также субклинической микроангиопатии S_3. При этом устраняется необходимость выделения недифференцированного по подтипу инфаркта мозга. Наиболее выраженный неврологический дефицит, снижение функциональной активности и выживаемости наблюдались у пациентов с сочетанием этиопатогенетических механизмов и суммарным баллом ASC ≥ 5.

С учетом полученных данных разработана схема фенотип-ориентированной терапии и вторичной медицинской профилактики, направленная на коррекцию имеющихся этиопатогенетических механизмов, которые могут стать причиной повторных сосудистых событий в будущем.

КЛЮЧЕВЫЕ СЛОВА

инфаркт мозга, атеросклероз, фенотипирование ASC, выживаемость, фенотип-ориентированное лечение

The ASC (A – atherosclerosis, S – small vessel disease, C – cardiac cause) ischemic stroke phenotyping in 238 patients with extracranial arteries atherosclerosis revealed that ASC phenotyping allows to estimate the contribution of many causes and their combinations to the ischemic stroke pathogenesis, including atherosclerosis of low grades A_2 and A_3 and subclinical small artery disease S_3. ASC phenotyping make it possible to avoid the need for ischemic stroke undifferentiated subtype/ischemic stroke of undetermined etiology diagnosis. The most pronounced neurological deficit and functional activity and cumulative proportion surviving decrease were observed in the patients with ischemic stroke causes combinations and the total score of ASC ≥ 5. Considering data obtained the ischemic stroke phenotype-oriented treatment and secondary prevention scheme was proposed in order to provide all of the identified ischemic stroke causes correction to avoid recurrent vascular events.

KEYWORDS

ischemic stroke, atherosclerosis, ASC phenotyping, cumulative proportion surviving, phenotype-oriented treatment

Острые нарушения мозгового кровообращения продолжают занимать ведущее место среди основных причин заболеваемости, смертности, инвалидизации населения развитых стран. Несмотря на предпринимаемые усилия по совершенствованию оказания медицинской помощи, инсульт остается одной из основных причин инвалидности и смертности населения пожилого возраста. Инфаркт мозга (ИМ)

составляет более 80 % случаев острых нарушений мозгового кровообращения.

Одним из наиболее важных прорывов в понимании сущности ИМ, наряду с установлением комплексных механизмов ишемии головного мозга, формирования ядра и ишемической полутени [1], было выявление гетерогенности этиопатогенетических механизмов (ЭПМ) развития заболевания. Это нашло отражение в ряде классификаций ИМ, основанных на выделении ведущего ЭПМ: болезни крупных артерий, т. е. атеросклероза/атеротромбоза (АС), болезни малых артерий – микроангиопатии (МАП) с развитием лакунарных ИМ (ЛИМ) и кардиоэмболии (КЭ) [3, 5, 15, 19].

Установление ведущего ЭПМ с последующей его коррекцией легло в основу разработки этиопатогенетического лечения и вторичной медицинской профилактики ИМ.

В последнее время приходят к заключению, что существующие классификации ИМ имеют ряд недостатков. Наиболее противоречивыми в классификациях ИМ по ЭПМ являются подходы к установлению атеротромботического (АТ) этиопатогенетического подтипа (ЭПП), частота которого в связи с этим составляет от 9 до 34 % случаев ИМ. Объяснением этому являются в первую очередь различные принципы учета степени стенозирования артерии, обусловливающей развитие ИМ: от 30–50 % [19], < 50 % [5], более 50 % [3] и до 90 % по разным классификациям [15]. Иными словами, существующие классификации по ЭПМ не дают реального представления о роли АС в развитии ИМ. В то же время установлено, что АС, независимо от выраженности и локализации стенозирования артерий, обнаруживается у большинства взрослых пациентов с ИМ [6].

Более того, у 30–40 % пациентов устанавливается недифференцированный по подтипу ИМ, так как имеет место сочетание этиопатогенетических механизмов, что не позволяет выделить ведущий среди них. Одним из основных недостатков существующих классификаций ИМ считают то, что они не вполне адекватно отражают гетерогенность/комплексность заболевания. Выделение ведущего этиопатогенетического механизма приводит к нивелированию других возможных факторов развития сосудистых процессов.

В связи с этим, согласно мнению экспертов, по проблеме инсульта назрела необходимость перейти от выделения ведущего ЭПП к фенотипированию ИМ по критериям ASCOD (A – atherosclerosis/атеросклероз, S – small vessel disease/микроангиопатия, C – cardiac source/кардиальная причина, O – other cause/другая причина, D – диссекция артерий) с градацией каждого признака по предполагаемому вкладу в развитие заболевания. Обсуждаются преимущества классификации ASCOD для эпидемиологических и генетических исследований [4].

Однако значение применения данной классификационной системы в клинической практике не установлено. По аналогии с фенотипированием некоторых соматических заболеваний [9] можно сформулировать цель фенотипирования ИМ – идентифицировать группы пациентов с уникальными прогностическими характеристиками и терапевтическими подходами. Классическое определение фенотипа отражает имеющиеся структурные и функциональные характеристики организма, которые определяются его генотипом и модулируются средовыми факторами [14].

В то же время данных о связи фенотипов ИМ с прогнозом, кратковременными и долговременными исходами заболевания нет. Частота различных сочетаний составляющих фенотипов ИМ точно не установлена, терапевтические подходы к лечению ИМ с учетом вариабельности фенотипов ASCOD не разработаны.

Цель исследования – установление частоты основных фенотипов ИМ при АС ЭКА, связи особенностей фенотипов с общей выживаемостью пациентов и разработка подходов к фенотип-ориентированному лечению ИМ при АС экстракраниальных артерий (ЭКА).

Материал и методы. Объект исследования – 238 пациентов с острым ИМ (138 мужчин, 103 женщины, возраст 67; 56–75 лет) при АС ЭКА различной выраженности, госпитализированных в неврологическое отделение Больницы скорой медицинской помощи г. Минска. Распределение пациентов на ЭПП с учетом ведущего ЭПМ проводилось по критериям TOAST [3]; фенотипирование ИМ – согласно классификационной системе ASCOD [4].

Пациенты с ЭПМ, входящими в составляющие O (other cause/другая причина) и D (диссекция артерий), в исследование не включались, поэтому далее по тексту в описании собственных данных будет упоминаться фенотипирование ASC.

Выполнялись общеклинические лабораторные исследования, электрокардиография (ЭКГ), дуплексное сканирование ЭКА, компьютерная или магнитно-резонансная томография головного мозга, при необходимости эхокардиография (ЭхоКГ) и суточное мониторирование ЭКГ. Каждую из трех составляющих фенотипа ASC ранжировали по выраженности потенциального вклада в развитие текущего ИМ [4]. При этом градация 1 означала, что заболевание выявлено и может быть потенциальной причиной ИМ, градация 2 указывала на наличие заболевания, однако его причинная связь с ИМ была неопределенной, градация 3 отражала наличие заболевания, но его связь с инсультом была маловероятной, градация 0 указывала на отсутствие заболевания (табл. 1).

В разделе изучения связи общего балла фенотипа ASC с исходом ИМ потенциальную причину ИМ вместо 1 мы обозначали цифрой 3, и наоборот, состояния, связь которых с ИМ была маловероятной, цифрой 1. Подсчет общего балла проводился путем суммации значений градации каждой из составляющих фенотипа.

Летальные исходы от цереброваскулярных и кардиоваскулярных заболеваний прослежены в течение 3 лет от начала заболевания.

Статистическая обработка данных осуществлялась с помощью пакета Statistica 7.0 (StatSoft, США). Оценивались медиана и процентильный интервал (25-й и 75-й процентили). Применяли анализ таблиц сопряженности с помощью статистик χ^2 Пирсона, точного критерия Фишера. Для сравнения показателей

Таблица 1

Критерии градации составляющих фенотипа ASC у 238 пациентов с инфарктом мозга при атеросклерозе экстракраниальных артерий

Градации	Характеристика
Градации составляющей A (atherothrombosis – атеротромбоз)	
A_1*	Наличие ипсилатерального по отношению к ИМ АС стеноза 50–99 % или АС стеноза < 50 % с выявлением внутрипросветного тромба или окклюзии ЭКА, кровоснабжающей зону ишемии
A_2	Наличие ипсилатерального стеноза 30–50 % ЭКА
A_3	Наличие атеросклеротических бляшек/стеноза ЭКА < 30 % на стороне ИМ, или стенозов ЭКА любой градации, не связанных с локализацией ИМ, или инфаркта миокарда в анамнезе, или АС сосудов ног
Градации составляющей S (small vessel disease – микроангиопатии)	
S_1	Лакунарный ИМ (ЛИМ) диаметром < 15 мм в бассейне перфорирующих артерий при КТ/МРТ ГМ в зоне, соответствующей клиническому синдрому, сочетающийся хотя бы с одним из 3 проявлений: одним или несколькими мелкими глубинными очагами ранее перенесенных ИМ на территориях других артериальных бассейнов мозга, и/или выраженного лейкоареоза/микрокровоизлияний/расширения периваскулярных пространств на МРТ, и/или повторных ТИА (в течение < 1 месяца) в том же бассейне кровоснабжения, что и острый ИМ
S_2	ЛИМ при отсутствии других изменений на КТ/МРТ ГМ или с наличием клиники лакунарного синдрома без соответствующих ишемических изменений при нейровизуализации
S_3	Выраженный лейкоареоз при КТ/МРТ ГМ, и/или микрокровоизлияния и/или расширения периваскулярных пространств, и/или наличие одного или нескольких «старых» глубинных очагов ИМ лакунарного типа на МРТ
S_0	Отсутствие нейровизуализационных и клинических признаков ИМ в бассейнах перфорирующих ветвей артерий мозга
Градации составляющей C (cardiac pathology – кардиальной патологии)	
C_1	Наличие или указания в анамнезе на фибрилляцию предсердий, или выявление тромба ушка левого предсердия при ЭхоКГ, или инфаркт миокарда в течение 4 недель, предшествующих инсульту
C_2	Апикальная гипокинезия левого желудочка со снижением фракции выброса (но не ниже 35 %**) или инфаркт миокарда в анамнезе с развитием повторных ИМ в двух разных артериальных бассейнах
C_3	Кальцификация митрального/аортального клапанов, неапикальная гипокинезия левого желудочка
C_0	Отсутствие источников КЭ при клиническом осмотре, ЭКГ и/или ЭхоКГ, холтеровском мониторировании ЭКГ

*Градации 1, 2 и 3 представлены подстрочными цифровыми обозначениями в соответствии с вышеперечисленными значениями градаций составляющих ASC.

**Снижение фракции выброса левого желудочка ниже 35 % соответствует градации C_1 [2]. В нашем исследовании таких пациентов не было.

в группах пациентов применяли непараметрический тест Манна-Уитни. При анализе выживания определялись показатели общей выживаемости (метод Каплана-Мейера). При сравнении выживаемости в двух группах использовался лог-ранговый критерий.

Результаты и обсуждение. Как видно из табл. 2, атеротромботический (АТ) ЭПП по критериям TOAST был установлен у 42 (17,6 %) пациентов: АС градации A_1 выявлен у 40 (16,8 %), при отсутствии других ЭПМ или наличии субклинической МАП (S_3) у 2 (0,8 %), что соответствует фенотипу $A_1S_{0,3}C_0$.

У 44/18,5 % пациентов ведущим ЭПП была кардиоэмболия (КЭ) при наличии кардиальных факторов градаций C_1, C_2 и АС градации A_3, у 2 – МАП градации S_3 (фенотипы $A_3S_{0,3}C_{1,2}$). МАП/ЛИМ был установлен у 61/25,6 % пациентов при S_1 (у 54/22,7 %) и S_2 (у 7/2,9 %) и наличии АС градации A_3. У 91/38,2 % пациентов выявлено сочетание ЭПМ. Наиболее часто наблюдалось сочетание ЭПМ атеротромбоза и кардиоэмболии (АТ + КЭ) – у 53/22,2 %, сочетания МАП + АС, МАП + + КЭ отмечены у 17/7,1 % и 16/6,7 % пациентов, другие сочетания были более редкими – 5/2,1 %.

При использовании TOAST наличие АС градаций A_2 и A_3 не отражалось ни при выделении ведущего ЭПП, ни при установлении недифференцированного по подтипу ИМ, т. е. у 165 из 238 (69,3 %) пациентов. В то же время при анализе данных катамнеза через 3 года после ИМ доли летальных случаев в группах A_1, A_2 и A_3 значимо не отличались (рис. 1). Это согласуется с результатами G. Sirimarco et al. (2013), которые указали на то, что наличие АС как болезни независимо от локализации и выраженности связано с повы-

Таблица 2

Выраженность неврологических, функциональных нарушений и доля летальных случаев у пациентов с инфарктом мозга при атеросклерозе экстракраниальных артерий в зависимости от фенотипов ASC

Показатели	Варианты фенотипов/количество пациентов						
	АТ (n = 42)	КЭ (n = 44)	МАП (n = 61)	Недифференцированный по подтипу			Другие (n = 5)
				АТ + КЭ (n = 53)	МАП + АС (n = 17)	МАП + КЭ (n = 16)	
Фенотип ASC	$A_1S_0C_0$ (40)* $A_1S_3C_0$** (2)	$A_3S_0C_1$ (39) $A_3S_3C_1$ (1) $A_3S_0C_2$ (3) $A_3S_3C_2$ (1)	$A_3S_1C_0$ (54) $A_3S_2C_0$ (7)	$A_1S_0C_1$ (13) $A_1S_3C_1$ (1) $A_1S_0C_2$ (8) $A_1S_0C_3$ (4) $A_2S_0C_1$(25) $A_2S_3C_1$ (2)	$A_1S_1C_0$ (4) $A_1S_2C_0$ (1) $A_2S_1C_0$ (11) $A_2S_2C_0$ (1)	$A_3S_1C_1$ (8) $A_3S_1C_2$ (2) $A_3S_2C_1$ (4) $A_3S_1C_3$ (1) $A_3S_2C_2$ (1)	$A_2S_2C_1$ (1) $A_2S_1C_3$ (2) $A_2S_2C_3$ (1) $A_2S_3C_0$ (1)
Шкалы	Выраженность неврологических и функциональных нарушений (баллы)						
Шкала NIHSS	11,0; 5,5–14,0	12,5; 7,0–18,0[1]	6,0; 4,0–9,0[2]	17,0; 12,0–20,0[3]	10,0; 4,0–13,0	11,0; 10,0–14,0	11,5; 5,5–16,0
Индекс Бартела	30,0; 10,0–55,0	12,5; 0,0–60,0	45,0; 30,0–60,0[2]	5,0; 0,0–20,0[3]	10,0; 0,0–45,0	15,0; 0,0–27,5	10,0; 0,0–35,0
Шкала Рэнкин	4,0; 3,0–5,0	4,0; 3,0–5,0	3,0; 1,0–3,0[2]	5,0; 4,0–5,0[3]	4,0; 3,0–5,0	4,0; 3,0–4,0	4,0; 3,0–5,0
Сроки после ИМ	Доля летальных случаев, n (%)						
30 дней	2 (4,8)	6 (13,6)	0[4]	16 (30,2)[7]	1 (5,9)	2 (12,5)	–
90 дней	4 (9,5)	9 (20,4)	1 (1,6)[4]	18 (33,9)[7]	2 (11,8)	3 (18,7)	–
1 год	5 (11,9)	9 (20,4)	3 (4,9)[5]	19 (35,8)[7]	2 (11,8)	3 (18,8)	–
2 года	6 (14,3)	13 (29,5)	4 (6,5)[6]	24 (45,3)[7]	5 (29,4)	5 (31,2)	–

*В скобках указано количество пациентов в группе с определенным фенотипом.

**Градации 1, 2 и 3 представлены подстрочными цифровыми обозначениями в соответствии с вышеперечисленными значениями градаций составляющих ASC в табл. 1.

1 – различия показателей в группах АТ и КЭ ($p = 0,06$).

2 – различия показателей в группе МАП в сравнении с АТ, КЭ ($p < 0,05$) и АТ + КЭ, АТ + МАП, КЭ + МАП ($p \le 0,01$) статистически значимы.

3 – различия показателей в группе АТ + КЭ в сравнении с АТ ($p = 0,01$) и группой МАП ($p < 0,00001$) статистически значимы.

4 – различия показателей в группе МАП в сравнении с группами КЭ, АТ + КЭ и КЭ + МАП статистически значимы ($p < 0,05$).

5 – различия показателей в группе МАП в сравнении с группами КЭ, АТ + КЭ статистически значимы ($p < 0,05$).

6 – различия показателей в группе МАП в сравнении с КЭ ($p < 0,01$) и АТ + КЭ ($p < 0,00001$), а также с АТ + МАП, КЭ + МАП ($p < 0,05$) статистически значимы.

7 – различия показателей в группе АТ + КЭ в сравнении с группой АТ статистически значимы ($p < 0,01$).

шением риска всех сосудистых событий (в том числе инфаркта миокарда, ИМ в другом артериальном бассейне) и требует соответствующей коррекции независимо от вклада в развитие текущего ИМ. В нашем исследовании, например, причиной смерти в отдаленном периоде у 11 из 29/37,9 % пациентов с A_3 была острая коронарная патология. Фенотипирование ASCOD представляет все основные ЭПМ различных градаций, что исключает игнорирование АС A_2 и A_3 при разработке схем этиопатогенетического лечения и вторичной профилактики острых кардио- и цереброваскулярных событий.

Второе важное преимущество фенотипирования ASCOD – выделение субклинической МАП (S_3), которая являлась «фоном» развития ИМ по другим ЭПМ у 8 (3,4 %) пациентов. При более широком использовании МРТ процент МАП градации S_3 у пациентов с различными ЭПМ составляет от 46,0 до 61,9 % [16].

Своевременное выявление пациентов с субклинической МАП имеет большое значение в связи с высоким риском развития у них внутримозговых кровоизлияний, особенно при неконтролируемой артериальной гипертензии, назначении антитромботической терапии [12].

Положительный момент применения фенотипирования ASCOD – исключение выделения недифференцированного по подтипу ИМ, альтернативой которому является конкретная «формула» со спектром имеющих-

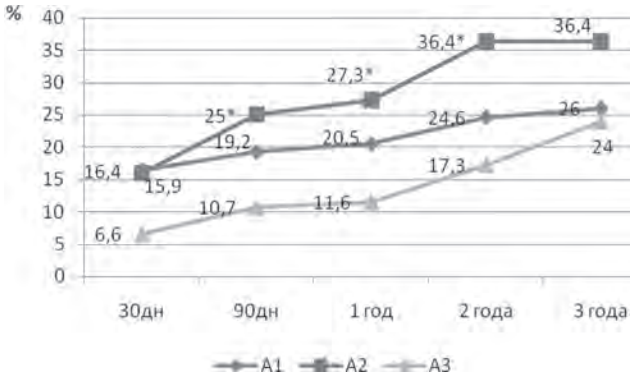

*Различия показателей в группах A_2 и A_3 статистически значимы

Рис. 1. Показатели летальности пациентов с ИМ при АС ЭКА в первые 30, 90 дней и 1–3 года от начала заболевания в зависимости от градации составляющей А (атеросклероз) фенотипа ASC

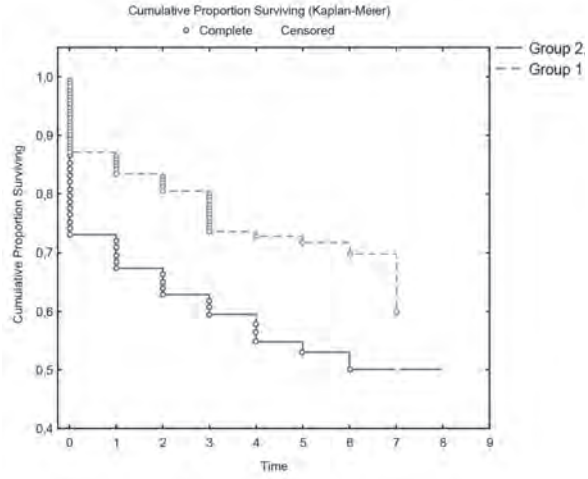

Рис. 2. Общая выживаемость пациентов с ИМ с суммарным баллом ASC ≥ 5 и ≤ 4: группа 2 – ASC ≥ 5 баллов; группа 1 – ASC ≤ 4 баллов; по оси X – время (лет); по оси Y – кумулятивная доля выживших

ся ЭПМ, которые независимо от потенциальной связи с текущим ИМ требуют тщательной коррекции в плане вторичной профилактики сосудистых событий.

Фенотипирование позволяет не только определить вариабельность фенотипов ASC у пациентов с ИМ при АС ЭКА, но также установить те из них, которые связаны с наиболее тяжелым неврологическим, функциональным дефицитом и долговременным исходом заболевания. Как видно из табл. 2, таковым являлся фенотип $A_{1,2}S_{0,3}C_{1,2,3}$ (сочетание АТ + КЭ ЭПМ), который значимо отличался по указанным показателям от групп с фенотипами $A_1S_{0,3}C_0$ (АТ ЭПП) и $A_3S_{1,2}C_0$ (МАП) ($p < 0,05$). В то же время указанные показатели в группах КЭ, КЭ + МАП, МАП + АТ и МАП + КЭ значимо не отличались.

В целом выживаемость на 3-м году после ИМ была значимо выше в группе пациентов с одним ведущим ЭПП (83,0 %) по сравнению с группой пациентов с сочетаниями ЭПП (60,8 %) ($p = 0,00003$). Установлена связь общего балла ASC, отражающего число и градации сочетающихся ЭПМ, с общей выживаемостью пациентов. При этом прогностическую ценность имел суммарный балл ASC ≥ 5. Как видно из рис. 2, выживаемость пациентов с суммарным баллом ASC ≥ 5 на 3-м году наблюдения (64,8 %) была значимо ниже, чем в группе ASC ≤ 4 баллов (80,5 %) ($p = 0,007$) (рис. 2). Приведенные данные указывают на то, что, чем больше у пациентов с ИМ при ЭКА сочетаний ЭПМ и чем более значительны их градации, тем хуже долговременный прогноз в плане выживаемости.

На основе полученных данных, а также с учетом последних рекомендаций по лечению инсульта нами разработана схема фенотип-ориентированного лечения ИМ в зависимости от вариантов фенотипов ASC [2].

Фенотип-ориентированное лечение острого ИМ при АС ЭКА проводится сразу после поступления пациента в стационар на фоне мероприятий, направленных на нормализацию функции внешнего дыхания и оксигенации, поддержание системной гемодинамики, контроль и регуляцию гомеостаза, борьбу с отеком головного мозга. Решение о проведении внутривенного тромболизиса принимается с учетом времени от начала ИМ (не более 4,5 ч) и противопоказаний согласно действующим клиническим протоколам «Диагностика и лечение пациентов с заболеваниями нервной системы (взрослое население)» независимо от ЭПП и фенотипа ИМ.

Фенотип-ориентированное лечение ИМ назначается с учетом наличия и градаций составляющих фенотипов ASCO и их сочетаний (табл. 3). У пациентов, перенесших внутривенный тромболизис, антиагреганты или антикоагулянты применяются не ранее, чем через 24 ч после выполнения тромболизиса.

Выявление АС ЭКА градации A_1 при отсутствии МАП градации S_1, S_2 и факторов высокого и среднего риска кардиоэмболии (C_1 и C_2) свидетельствует о наличии атеротромботического подтипа ИМ, соответствует фенотипу $A_1S_{0,3}C_0O_0$ и требует назначения антиагреганта, статина (при холестероле липопротеидов низкой плотности (ХС ЛПНП) выше 2,6 ммоль/л при целевом уровне 1,8 ммоль/л и ниже), коррекции АД (с целевым уровнем 140/90 мм рт. ст.) и хирургического лечения (каротидная эндартерэктомия/каротидное стентирование) при стенозировании внутренней сонной артерии более 70 % при неинвазивной диагностике и 50 % при рентгенконтрастной ангиографии. У пациентов с ИМ без выраженного неврологического дефицита хирургическая реканализация стенозированной артерии наиболее эффективна в первые 2 недели после развития ИМ.

При наличии стеноза интракраниальных артерий (ИКА) 70–99 % преимущество имеет комплекс ацетилсалициловой кислоты (АСК) и клопидогрела – в течение первых 30–90 дней от начала заболевания с последующим переходом на один антиагрегант (АСК 75 мг/сут или клопидогрел 75 мг/сут). Целевой уровень АД – ниже 140/90 мм рт. ст.; статины назначают

Таблица 3

Схема фенотип-ориентированного медикаментозного лечения инфаркта мозга у пациентов с атеросклерозом (фенотип ASCO)

Фенотипы ASCO	Антиагреганты	Статины	Антикоагулянты (АК)
$A_1S_0C_0O_0$ Атеротромботический подтип (АТ)	1. Атеросклероз экстракраниальных артерий АД – 140/90 мм рт. ст. – целевой уровень к 3–4-й неделе заболевания. При двустороннем стенозе ВСА –160/90 мм рт. ст. Ацетилсалициловая кислота в остром периоде ИМ в первые 24–48 ч 160–325 мг/сут. У пациентов с дисфагией – 80 мг/сут через зонд. Для вторичной профилактики – АСК 50–325 мг/сут При плохой переносимости АСК или условии развития ИМ на фоне приема АСК – в остром периоде клопидогрел 300 мг/сут однократно, затем – по 75 мг/сут [6] Комбинация АСК + клопидогрел назначается при сочетании ИМ с недавно перенесенным инфарктом миокарда, коронарным шунтированием Допускается назначение АСК 75 мг/сут + клопидогрел 75 мг/сут при *малом ИМ и ТИА* в первые 24 ч с продолжением до 90 дней от начала заболевания [11]	При ХС ЛПНП > 2,6 ммоль/л – высокоинтенсивная стратегия снижения уровня липидов (снижение уровня ХС ЛПНП на 50 %;. целевой уровень ≤ 1,8 ммоль/л) Аторвастатин 40 мг/сут Розувастатин 20–40 мг/сут	Рутинно не назначаются Возможно сочетание оральных антикоагулянтов (ОАК) + АСК/клопидогрел при нестабильной стенокардии, после коронарного стентирования (консультация кардиолога)
	2. Атеросклеротическая бляшка дуги аорты Антиагрегантная терапия (см. выше)	То же	То же
	3. Атеросклероз интракраниальных артерий АД ≤ 140/90 мм рт. ст. Пациентам с ИМ и ТИА при стенозе ИКА 70–99 % в течение первых 30–90 дней от начала заболевания назначают АСК 75–160 мг/сут + + клопидогрел 75 мг/сут [7]	То же	Не назначаются (высокий риск геморрагических осложнений и летального исхода) [10]
$A_{0,3}S_{1,2}C_0O_0$ (МАП/ЛИМ)	Систолическое АД < 130 мм рт. ст. АСК 75–325 мг/сут При плохой переносимости АСК, развитии ИМ при приеме АСК – клопидогрел 75 мг/сут Сочетание АСК + клопидогрел связано с высоким риском геморрагических осложнений и летального исхода (рутинно не назначается) [17, 18]	При ХС ЛПНП > 2,6 ммоль/л – среднеинтенсивная стратегия снижения липидов (снижение ХС ЛПНП на 30–50 %) Аторвастатин 10–20 мг/сут Розувастатин 5–10 мг/сут Симвастатин 20–40 мг/сут	Не назначаются (высокий риск летального исхода и геморрагических осложнений, особенно при наличии микрокровоизлияний на МРТ)

Продолжение

Фенотипы ASCO	Антиагреганты	Статины	Антикоагулянты (АК)
$A_{0,3}S_{0,3}C_{1,2,3}O_0$ (КЭ)	В остром периоде (первые 14 дней) при наличии ФП – АСК в дозе 160–325 мг/сут При противопоказаниях к назначению антикоагулянтов на 2-й неделе и далее продолжают прием АСК в дозе 160–325 мг/сут или на 2–4-й неделе сочетания клопидогрел 75 мг/сут + АСК 75 мг/сут В случаях, когда ИМ развился на фоне приема варфарина, рекомендуют минимум на 2-й неделе отменить варфарин, пациенту назначить АСК или НМГ (как «мост» между завершением и повторным началом приема варфарина) [13]	То же	Учитывается источник КЭ Наиболее часто – неклапанная ФП (C_1): независимо от формы ФП (постоянная или пароксизмальная) в течение 14 дней от начала инсульта после АСК отсрочено назначают непрямые оральные антикоагулянты, так как высок риск повторного ИМ при общем балле шкалы $CHA_2DS_2VASc \geq 2$ (табл. 4) Варфарин 2,5–5,0 мг/сут, целевой уровень МНО 2,5 (2,0–3,0) При высоком риске геморрагической трансформации ИМ (большие размеры, геморрагическая трансформация в начале заболевания, или по шкале HAS-BLED ≥ 3 баллов, табл. 5) целесообразно отложить назначение ОАК более чем на 14 дней В этих случаях рассматривается назначение новых ОАК (дабигатрана этексилат 110 мг 2 раза/сут либо ривароксабан 15 мг/сут) [8, 20] Раннее назначение антикоагулянтов прямого действия (нефракционированного гепарина или низкомолекулярного гепарина) допустимо при потенциально высоком риске ранней кардиальной реэмболизации (ФП + и/кардиальный тромб, искусственный клапан, инфаркт миокарда в течение 4 недель до инсульта), прогрессирующих транзиторной ишемической атаке или инсульте, тромбозе основной артерии, установленном состоянии гиперкоагуляции, тромбозе вен/синусов
$A_{1,2}S_{1,2}C_0O_0$ (АТ + МАП)	Систолическое АД < 130 мм рт. ст. АСК 75–325 мг/сут При плохой переносимости АСК, развитии ИМ при приеме АСК – клопидогрел 75 мг/сут Сочетание АСК + клопидогрел при отсутствии особых указаний (состояние после стентирования артерий и др.) не назначается	То же	Не назначаются

Окончание

Фенотипы ASCO	Антиагреганты	Статины	Антикоагулянты (АК)
$A_{1,2}S_0C_{1,2,3}O_0$ При экстракраниальном стенозе и высоком риске КЭ (АТ + КЭ)	АД ≤ 140/90 мм рт. ст., при двустороннем стенозе ВСА – 160/90 В остром периоде (первые 7–14 дней при наличии ФП) – АСК в дозе 160–325 мг/сут При противопоказаниях к назначению ОАК продолжают прием АСК в дозе 50–325 мг/сут В этих случаях целесообразно раннее назначение сочетания клопидогрел (300 мг в первый день, затем 75 мг/сут) + АСК (75 мг/сут) в течение 90 дней от начала ИМ	При ХС ЛПНП > 2,6 ммоль/л – высокоинтенсивная стратегия снижения уровня липидов (снижение уровня ХС ЛПНП на 50 %, целевой уровень ≤ 1,8 ммоль/л) Аторвастатин 40 мг/сут Розувастатин 20–40 мг/сут	ОАК назначают отсрочено (14 дней от начала заболевания) независимо от формы ФП (постоянная или пароксизмальная) При высоком риске геморрагической трансформации ИМ (большие размеры, геморрагическая трансформация в начале заболевания или по шкале HAS-BLED ≥ 3 баллов: неконтролируемая АГ, склонность к геморрагиям) целесообразно отложить назначение ОАК более чем на 14 дней При снижении риска ВМК (коррекция АД, исключение употребления алкоголя, лечение заболеваний печени, почек) – назначение ОАК на длительный прием
При интракраниальном стенозе и высоком риске КЭ (АТ + КЭ)	АД ≤ 140/90 мм рт. ст. АСК в дозе 50–160–325 мг/сут или сочетание клопидогрел (300 мг в первый день, затем 75 мг/сут) + АСК (75 мг/сут) в течение 90 дней от начала ИМ	То же	Повышен риск ВМК при назначении ОАК (взвешивать риск и пользу) При повышенном риске сосудистых событий – коррекция факторов риска геморрагической трансформации (см. выше), целесообразно применение новых ОАК
$A_{0,3}S_{1,2}C_{1,2,3}O_0$ (КЭ + МАП) или $A_{1,2}S_{1,2,3}C_{1,2,3}O_0$ (АТ + МАП + КЭ)	Систолическое АД < 130 мм рт. ст. При HAS-BLED ≥ 3 антиагрегантная терапия. АСК в дозе 160–325 мг/сут более 14 дней от начала заболевания При противопоказаниях к назначению антикоагулянтов продолжают прием АСК в дозе 50–160–325 мг/сут Сочетание клопидогрел + АСК нежелательно	При ХС ЛПНП > 2,6 ммоль/л – среднеинтенсивная стратегия снижения липидов (снижение ХС ЛПНП на 30–50 %) Аторвастатин 10–20 мг/сут Розувастатин 5–10 мг/сут Симвастатин 20–40 мг/сут	Взвешивать пользу и риск ОАК При повышенном риске сосудистых событий – коррекция факторов риска геморрагической трансформации (см. выше) и возможно применение новых ОАК При HAS-BLED < 3 дабигатран 150 мг 2 раза/сут При HAS-BLED ≥ 3 антиагрегантная терапия или дабигатран 110 мг 2 раза/сут Ривароксабан 15 мг 1 раз/сут [8, 20]

в том же режиме, что при АС ЭКА. Каротидная ангиопластика и стентирование при атеросклеротическом стенозировании ИКА рутинно не проводятся (с применением стентов Wingspan) [7].

При выявлении АС градаций A_2, A_3 АТ подтип не устанавливается, т. е предполагается, что при текущем ИМ АС не является потенциальной причиной заболевания. Однако АС как болезнь существует и мо-

жет обусловить развитие новых сосудистых событий (инфаркт миокарда, инсульт). Поэтому в комплексном лечении и схеме вторичной профилактики пациентов с A_2 и A_3 независимо от сочетаний с другими ЭПМ предусматривается профилактическое лечение, направленное на предупреждение прогрессирования АС и развития его кардио-, цереброваскулярных и васкулярных осложнений.

При сочетании A_2, A_3 с МАП градаций S_1, S_2, а также отсутствии факторов кардиоэмболии высокого риска (фенотип $A_{2,3}S_{1,2}C_0O_0$) целевое систолическое АД – менее 130/90 мм рт. ст. [18], назначают АСК или клопидогрел, сочетание АСК и клопидогрела в связи с высоким риском внутримозгового кровоизлияния нецелесообразно [17], в том числе и при АС ИКА; статины.

При сочетании A_2, A_3 с МАП градаций S_0, S_3 и кардиальными факторами C_1, C_2 (фенотип $A_{0,2,3}S_0C_{1,2}$) потенциальной причиной ИМ является кардиоэмболия (кардиоэмболический подтип ИМ). В первые 2 недели заболевания назначают АСК, при высоком риске геморрагической трансформации очага ИМ прием АСК продолжают до 3–4 недель и более. После этого для вторичной профилактики повторных ИМ кардиоэмболического генеза пациентам с фибрилляцией предсердий при высоком риске повторного ИМ (балл по шкале $CHA_2DS_2VASc \geq 2$, табл. 4) назначают оральные антикоагулянты (варфарин под контролем МНО).

При повышенном риске ВМК по шкале HAS-BLED ≥ 3 баллов (табл. 5) требуется коррекция АД и других факторов, повышающих риск ВМК (исключение приема алкоголя, лечение заболеваний печени, почек). Важным среди таких факторов является МАП градации S_3 (т. е. субклиническая МАП, выявляемая только при МРТ ГМ). В данном случае вместо назначения оральных антикоагулянтов можно продолжить курс АСК или клопидогрела либо назначить новые оральные антикоагулянты в дозах, в которых их эффективность уступает таковой у варфарина, но может быть ниже риск внутримозговых и других кровотечений (дабигатрана этексилат 110 мг 2 раза/сут или ривароксабан 15 мг/сут). При этом следует помнить, что такие сниженные дозы новых оральных антикоагулянтов назначают также лицам старше 80 лет и с нарушением функции почек средней степени тяжести (снижение клиренса креатинина до 39–40 мл/мин).

При различных сочетаниях АС с факторами КЭ и МАП – $A_1S_{0,3}C_{1,2}O_0$ (АТ + КЭ), $A_1S_{1,2}C_{1,2}O_0$ (АТ + МАП + КЭ), а также $A_{2,3}S_{1,2}C_{1,2}O_0$ (КЭ + МАП) – в схемах вторичной профилактики ИМ учитывается в первую очередь наличие факторов высокого риска КЭ, требующих назначения оральных антикоагулянтов на длительный прием. При этом соблюдается правило их отсроченного назначения после 14 и более дней приема АСК в остром периоде ИМ, а также принимается во внимание наличие интракраниального стенозирования артерий и МАП любой градации. Оба эти процесса значительно повышают риск ВМК на фоне антикоагулянтной терапии. При этом придерживаются тактики, приведенной выше для КЭ ИМ при наличии факторов риска ВМК, – вместо назначения оральных антикоагулянтов продолжают длительный прием АСК или клопидогрела либо назначают новые оральные антикоагулянты. Наличие МАП любой градации ограничивает также назначение такой альтернативы оральных антикоагулянтов, как комбинация АСК + клопидогрел. При АС стенозировании ИКА без признаков МАП назначение этой комбинации целесообразно (табл. 3).

Таким образом, фенотипирование ASCO предоставляет дополнительную информацию, касающуюся вариабельности сочетаний различных ЭПМ ИМ. В первую очередь это затрагивает АС градаций A_2 и A_3 (165/69,3 %), а также МАП градации S_3 (8/3,4 %), которые «маскируются»/выпадают из поля зрения при выделении ведущего ЭПМ по критериям TOAST.

При этом устраняется необходимость выделения недифференцированного по подтипу ИМ. Альтернатива этому – установление сочетаний ЭПМ с их градацией в зависимости от роли в развитии текущего ИМ.

Полученные данные подтверждают преимущества фенотипирования ASC, которое позволяет уста-

Таблица 4

Шкала CHA_2DS_2VASc по оценке риска инфаркта мозга при неклапанной фибрилляции предсердий

Факторы риска		Балл*
Congestive heart failure	Застойная сердечная недостаточность или умеренная систолическая дисфункция ЛЖ (≤ 40 %)	1
Hypertension	Артериальная гипертензия	1
Age	Возраст ≥ 75 лет	2
Diabetes mellitus	Сахарный диабет	1
Stroke/TIA/TE	Инсульт/ТИА/тромбоэмболия	2
Vascular disease	Болезни сосудов	1
Age	Возраст 65–74	1
Sex	Пол (женский)	1

*Риск инфаркта мозга повышен при общем числе баллов по шкале ≥ 2.

Таблица 5

Шкала HAS-BLED по оценке риска кровотечений при неклапанной фибрилляции предсердий

Факторы риска		Балл*
Hypertension	Артериальная гипертензия	1
Abnormal renal and liver function	Нарушение функции почек/печени (каждый – по 1 пункту)	1 или 2
Stroke	Инсульт	1
Bleeding	Кровотечения	1
Labile INR	Лабильное МНО	1
Elderly (age > 65)	Пожилой возраст более 65 лет	1
Drugs or alcohol	Наркотики/алкоголь	1 или 2
Sex	Пол (женский)	1

*Риск ВМК повышен при общем числе баллов по шкале ≥ 3.

новить полный спектр имеющихся сочетаний ЭПМ для оценки предполагаемого долговременного прогноза с учетом суммарного балла фенотипа, а также для разработки персонифицированной фенотип-ориентированной терапии и вторичной медицинской профилактики, тактика которых может быть недостаточной/ошибочной при субъективном выделении одного ведущего ЭПМ ИМ и нивелировании значения других.

ЛИТЕРАТУРА

1. Гусев Е.И., Скворцова В.И. Ишемия головного мозга. М.: Медицина, 2001. 328 с.

2. Сидорович Э.К., Гавриленко Л.Н., Лихачев С.А. и др. Метод фенотип-ориентированного лечения инфаркта мозга у пациентов с атеросклерозом. Инструкция МЗ РБ № 011-0216 от 18 марта 2016 г.

3. Adams H.P., Bendixen B.H., Kappelle L.J. et al. Classification of subtype of acute ischemic stroke. Definitions for use in a multicenter clinical trial. TOAST. Trial of Org 10172 in Acute Stroke Treatment // Stroke. 1993; 24: 35–41.

4. Amarenco P., Bogousslavsky J., Caplan L.R. et al. The ASCOD phenotyping of ischemic stroke (updated ASCO phenotyping) // Cerebrovasc. Dis. 2013; 36 (1): 1–5.

5. Bogousslavsky J., Van Melle G., Regli F. (1988). The Lausanne Stroke Registry: analysis of 1,000 consecutive patients with first stroke // Stroke. 1988; 19 (9): 1083–1092.

6. Casaubon L.K., Boulanger J.-M., Blacquiere D. et al. Canadian Stroke Best Practice Recommendations: Hyperacute Stroke Care Guidelines, Update 2015 // World Stroke Organization. 2015; 10: 924–940.

7. Chimowitz M.I., Lynn M.J., Derdeyn C.P. et al. SAMMPRIS Trial Investigators. Stenting versus aggressive medical therapy for intracranial arterial stenosis // N. Engl. J. Med. 2011; 365: 993–1003.

8. Fuentes B., Gallego J., Gil-Nunez A. et al. Guidelines for the preventive treatment of ischaemic stroke and TIA (II). Recommendations according to aetiological sub-type // Neurologia. 2014; 29 (3): 168–183.

9. Han M. K., Agusti A., Calverley P.M. et al. Chronic obstructive pulmonary disease phenotypes. The future of COPD // Am. J. Resp. Crit. Care Med. 2010; 182 (5): 598–604.

10. Kasner S.E., Lynn M.J., Chimowitz M.I. et al. Warfarin Aspirin Symptomatic Intracranial Disease (WASID) Trial Investigators. Warfarin vs aspirin for symptomatic intracranial stenosis: subgroup analyses from WASID // Neurology. 2006; 67: 1275–1278.

11. Kernan W.N., Ovbiagele B., Black H.R. et al. Guidelines for the prevention of stroke in patients with stroke and transient ischemic attack. A Guideline for Healthcare Professionals from the American Heart Association/American Stroke Association // Stroke. 2014; 45: 00–00.

12. Lovelock C.E., Cordonnier C., Naka H. et al. Antithrombotic drug use, cerebral microbleeds, and intracerebral hemorrhage. A systematic review of published and unpublished studies // Stroke. 2010; 41: 1222–1228.

13. Mudd P.D., Martin A.J. Anticoagulation for atrial fibrillation: should warfarin be temporarily stopped or continued after acute cardioembolic stroke // Age and Ageing. 2010; 39: 660–673.

14. Rice J.P., Saccone N.L., Rasmussen E. Definition of the phenotype // Adv. Genet. 2001; 42: 69–76.

15. Sacco R.L., Ellenberg J.H., Mohr J.P. et al. Infarcts of undetermined cause: the NINCDS Stroke Data Bank // Ann. Neurol. 1989; 25: 382–390.

16. Sirimarco G., Lavallée P.C., Labreuche J. et al. Overlap of diseases underlying ischemic stroke. The ASCOD phenotyping // Stroke. 2013; 44: 2427–2433.

17. The SPS3 Investigators, Benavente O.R., Hart R.G., McClure L.A. et al. Effects of clopidogrel added to aspirin in patients with recent lacunar stroke // N. Engl. J. Med. 2012; 367: 817–825.

18. The SPS3 Study Group. Blood-pressure targets in patients with recent lacunar stroke: the SPS3 randomised trial // Lancet. 2013; 382: 507–515.

19. Touboul P.J., Elbaz A., Koller C. et al. GENIC Investigators: Common carotid artery intima-media thickness and ischemic stroke subtypes: the GENIC case-control study // Circulation. 2000; 102 (3): 313–318.

20. 2012 focused update of the ESC Guidelines for the management of atrial fibrillation // Eur. Heart J. 2012; 33: 2719–2747.

Поступила 15.06.2016

Врачи доверяют продукции компании KRKA более чем в 70 странах мира

эманера®

капсулы кишечнорастворимые по 20 мг и 40 мг

эзомепразол

СОВРЕМЕННЫЙ

ингибитор протонной помпы второго поколения с улучшенными фармакокинетическими свойствами[1-4]

УНИВЕРСАЛЬНЫЙ

лечит или предотвращает рецидив у более чем 90% пациентов с различными кислотозависимыми заболеваниями[4-7]

УДОБНЫЙ

капсула, содержащая пеллеты, для удобного приема[8]

Схемы терапии при ГЭРБ	Суточная доза	Длительность терапии
Взрослым и подросткам с 12 лет		
Лечение эрозивного рефлюкс-эзофагита	1 Х 40 мг	4-8 недель
Длительное поддерживающее лечение после заживления эрозивного рефлюкс-эзофагита с целью профилактики рецидивов	1 Х 20 мг	Длительно
Симптоматическое лечение гастроэзофагеальной рефлюксной болезни	1 Х 20 мг	4 недели
Поддерживающая терапия «по требованию»	1 Х 20 мг	При возникновении симптомов

Позитив центр/2/2015/Беларусь/2015-0023580.
РУ МЗ РБ №8579/08/08/13 до 07.05.2018

References:
1.Presse Med. 2004; 33(11): 746–54. 2.Management of Helicobacter pylori infection – the Maastricht IV/ Florence Consensus Report. Gut 2012; 61: 646-664. 3. Clin Pharmacokinet. 2001; 40 (6): 411-26. 4.Aliment Pharmacol Ther. 2012; 36(5): 414–25. 5.Aliment. Pharmacol. Ther. 2000; 14(10): 1249-58. 6.Am. J. Gastroenterol. 2005; 100(12): 2650-7. 7.Am J Gastroenterol 2001; 96 (1): 27–34. 8.Summary of product characteristics Emanera

KRKA, d.d., Novo mesto, Slovenija
Представительство в Беларуси: 220012, г. Минск, ул. Сурганова, 29, оф. 28
Тел. (017) 290 05 11. Факс (017) 290 05 10. E-mail: info.by@krka.biz, www.krka.by

KRKA

АРИФАМ®

Индапамид ретард 1,5 мг | **Амлодипин 5 мг / 10 мг**

– мощно и быстро снижает САД на 51 мм рт. ст.[1]

– эффективно уменьшает риск инсульта[2,3]

МОЩНЫЙ, БЫСТРЫЙ, ЭФФЕКТИВНЫЙ

1. Jadhav U, et al. Plos One 2014;9(4):e92955. 2. Beckett N et al. N Engl J Med. 2008;358:1887-1898. 3. Wang J-G et al. Hypertension. 2007;50:181-188.

СОСТАВ*: Арифам 1,5 мг/5мг: индапамид 1,5 мг – амлодипин 5 мг. Арифам 1,5 мг/10 мг: индапамид 1,5 мг – амлодипин 10 мг. ПОКАЗАНИЯ*: лечение артериальной гипертензии у пациентов, принимающих одновременно индапамид и амлодипин в таких же дозах. РЕЖИМ ДОЗИРОВАНИЯ И СПОСОБ ПРИЕМА*: одна таблетка в день, предпочтительно утром. Таблетку следует глотать целиком, не разжевывая, запивая водой. Арифам не подходит для начальной терапии. Если требуется изменение дозировки, титрацию следует проводить с отдельными компонентами. Дети и подростки: безопасность и эффективность Арифама не были установлены. Пациентам с тяжелой почечной недостаточностью (клиренс креатинина <30 мл/мин) назначение данного препарата противопоказано. Пожилые пациенты: может быть назначен в зависимости от почечной функции. Печеночная недостаточность: пациентам с тяжелой печеночной недостаточностью назначение данного препарата противопоказано. Для пациентов с легкой и умеренной степенью печеночной недостаточности следует осуществлять с осторожностью и начинать с низшего уровня диапазона доз. ПРОТИВОПОКАЗАНИЯ*: повышенная чувствительность к активным веществам, к другим сульфонамидам, к производным дигидропиридина или любому из вспомогательных веществ. Тяжелая почечная недостаточность (клиренс креатинина ниже 30 мл/мин). Печеночная энцефалопатия или тяжелая печеночная недостаточность. Гипокалиемия. Период грудного кормления. Тяжелая форма гипотензии. Шок (включая кардиогенный шок). Обструкция выходного тракта левого желудочка (например, выраженный стеноз аортального клапана). Гемодинамически нестабильная сердечная недостаточность после острого инфаркта миокарда. ПРЕДОСТОРОЖНОСТИ И ОСОБЫЕ УКАЗАНИЯ*: Особые указания: Печеночная энцефалопатия: прекратить лечение. Светочувствительность: прекратить лечение. Предосторожности при приеме: Гипертензивный криз: эффективность не была установлена. Водный и электролитный баланс: уровень натрия и калия в плазме крови следует проверять перед началом терапии и регулярно в ходе терапии. Гипокалиемия: повышенный риск для пожилых пациентов, пациентов, питающихся неполноценно и/или принимающих несколько лекарственных препаратов, пациентов с циррозом печени, отеком и асцитом, ишемической болезнью сердца и сердечной недостаточностью, с удлиненным интервалом QT. Первое измерение уровня калия в плазме крови следует провести в течение первой недели после начала лечения. Увеличение уровня кальция в плазме крови: прекратить лечение и провести исследование функции паращитовидной железы. Уровень глюкозы в крови: важно проводить мониторинг уровня глюкозы в крови у пациентов, страдающих диабетом, особенно при сопутствующей гипокалиемии. Сердечная недостаточность: следует назначать с осторожностью. Почечная функция: существовавшая ранее почечная недостаточность в начале лечения может снизить скорость клубочковой фильтрации. Амлодипин не выводиться путем диализа. Гиперурикемия: у пациентов с повышенным уровнем мочевой кислоты может наблюдаться тенденция к учащению приступов подагры. Функция печени: следует соблюдать осторожность пациентам с легкой и умеренной степенью печеночной недостаточности, терапию следует начинать с низшего уровня диапазона доз. Пожилые пациенты могут принимать лечение в зависимости от состояния их почечной функции. Пациенты с редкими наследственный заболеваниями: непереносимости галактозы, дефицитом лактазы Лаппа или синдромом глюкозо-галактозной мальабсорбции не должны принимать Арифам. ВЗАИМОДЕЙСТВИЯ*: нерекомендуемые комбинации: с литием, дантроленом, грейпфрутом или грейпфрутовым соком. С особой осторожностью: препараты, вызывающие пируэтную тахикардию, НПВС (системный способ применения), включая селективные ингибиторы ЦОГ-2, высокие дозы аспирина (≥ 3 г/день), ингибиторы ангиотензин-преобразующего фермента (АПФ), другие препараты, вызывающие гипокалиемию, препараты на основе дигиталиса, баклофен, аллопуринол, ингибиторы CYP3A4, индукторы CYP3A4, симвастатин. Комбинации лекарственных средств, требующие внимания: калийсберегающие диуретики, метформин, йодированные контрастные средства, трициклические антидепрессанты, нейролептики, кальций (соли), циклоспорин, такролимус, кортикостероиды, тетракозактид (системный способ приема), другие лекарственные средства с антигипертензивными свойствами. ФЕРТИЛЬНОСТЬ*, БЕРЕМЕННОСТЬ* И КОРМЛЕНИЕ ГРУДЬЮ*: Не рекомендуется во время беременности. Противопоказан во время кормления грудью. ВОЖДЕНИЕ АВТОТРАНСПОРТА И ПОЛЬЗОВАНИЕ МАШИННЫМ ОБОРУДОВАНИЕМ*: может быть нарушено, если у пациента имеется головокружение, головная боль, усталость или тошнота. НЕЖЕЛАТЕЛЬНЫЕ ЭФФЕКТЫ*: Распространенные: гипокалиемия, сонливость, головокружение, головная боль, учащенное сердцебиение, гиперемия, боль в животе, тошнота, макулопапулезная сыпь, припухлость голеностопного сустава, отек, усталость. Нераспространенные: бессонница, смена настроения (включая тревожность), депрессия, тремор, дисгевзия, синкопа, гипестезия, парестезия, нарушение зрения (включая диплопию), тиннитус, гипотензия, одышка, ринит, рвота, диспепсия, изменение ритма дефекации (включая диарею и запор), сухость во рту, запор, пурпура, алопеция, изменение цвета кожи, гипергидроз, зуд, сыпь, экзантема, артралгия, миалгия, мышечные судороги, боль в спине, нарушение мочеиспускания, ночная полиурия, повышенная частота мочеиспускания, половое бессилие, гинекомастия, боль в груди, астения, боль, чувство дискомфорта, увеличение массы тела, понижение массы тела. Редкие: спутанность сознания, вертиго. Очень редкие: лейкоцитопения, тромбоцитопения, агранулоцитоз, апластическая анемия, гемолитическая анемия, аллергические реакции, гипергликемия, гиперкальциемия, гипертония, периферическая нейропатия, инфаркт миокарда, аритмия (включая брадикардию, желудочковую тахикардию и мерцательную аритмию), васкулит, кашель, панкреатит, гастрит, гиперплазия десен, гепатит, желтуха, повышение уровня ферментов печени, патологическая функция печени, ангионевротический отек, крапивница, токсический эпидермальный некролиз, синдром Стивенса-Джонсона, мультиформная эритема, экфолиативный дерматит, отек Квинке, светочувствительность, почечная недостаточность. Не известно: гипонатриемия с гиповолемией, пируэтная тахикардия (потенциально с летальным исходом), вероятность развития печеночной энцефалопатии на фоне печеночной недостаточности, возможное усугубление имеющейся острой диссеминированной красной волчанки, удлиненный интервал QT, увеличение уровня глюкозы и мочевой кислоты в крови в ходе терапии. При приеме амлодипина наблюдались единичные случаи экстрапирамидального синдрома. ПЕРЕДОЗИРОВКА*. СВОЙСТВА*: Индапамид относится к производным сульфонамида, по фармакологическим свойствам близок к тиазидным диуретикам, которые ингибируют реабсорбцию ионов натрия в кортикальном сегменте петли нефрона. Индапамид не оказывает влияния на липидный и углеводный обмены. Амлодипин – это ингибитор поступления ионов кальция дигидропиридиновой группы (блокатор медленных каналов или антагонист ионов кальция), он блокирует поступление ионов кальция через мембраны в гладкомышечные клетки миокарда и сосудов. ТИП И ОБЪЕМ УПАКОВКИ*: пачка, содержащая 15, 30, 60 или 90 таблеток с модифицированным высвобождением Арифама 1,5мг/5мг, 1,5мг/10 мг. Держатель разрешения на маркетинг: Les Laboratoires Servier, Ле Лабораторатуар Сервье 50, rue Carnot, 92284 Suresnes cedex, France.* Для получения полной информации, ознакомьтесь с инструкцией по применению лекарственного средства (согласованной МЗ РБ от 10.08.2015 г). Производитель: «LES LABORATOIRES SERVIER» (Франция)/ «LES LABORATOIRES SERVIER INDUSTRIE», Франция, 905, Route de Saran, 45520 Gidy. Рег. уд. МЗ РБ № 10381/15 от 28.07.2015 г. до 28.07.2020 г. Медицинский препарат для отпуска по рецепту врача. Рекламный материал предназначен только для специалистов здравоохранения.

SERVIER
www.servier.by

Представительство «Les Laboratoires Servier» (Французская Республика) в Республике Беларусь
220030, г. Минск, ул. Мясникова, 70-303. Тел.: (+375 17) 306-54-55, 306-54-56; факс: (+375 17) 306-54-50

УДК 616.12-008.331.1-085.225.2.015.2

КОМБИНАЦИЯ ИНДАПАМИДА МЕДЛЕННОГО ВЫСВОБОЖДЕНИЯ С АМЛОДИПИНОМ В ЛЕЧЕНИИ ПАЦИЕНТОВ С АРТЕРИАЛЬНОЙ ГИПЕРТЕНЗИЕЙ

Е.Л. Трисветова*

Белорусский государственный медицинский университет, Минск

*Контактная информация. Тел.: +375 29 679 76 91, e-mail: trisvet-47@mail.ru

THE COMBINATION OF INDAPAMIDE SLOW RELEASE AMLODIPINE FOR TREATMENT OF PATIENTS WITH ARTERIAL HYPERTENSION

E.L. Trisvetova*

Belarusian State Medical University, Minsk

*Corresponding author. Tel.: +375 29 679 76 91, e-mail: trisvet-47@mail.ru

Комбинированная терапия при артериальной гипертензии является предпочтительной для достижения целевого уровня артериального давления у пациентов высокого и очень высокого риска. Тиазидоподобный диуретик индапамид и блокатор кальциевых каналов амлодипин зарекомендовали себя в клинических исследованиях как эффективная комбинация для снижения и контроля артериального давления, органопротекции. Новая фиксированная комбинация тиазидоподобного диуретика индапамида медленного высвобождения и амлодипина Арифам® зарегистрирована на фармацевтическом рынке Республики Беларусь в двух дозировках – 1,5/5 и 1,5/10 мг.

КЛЮЧЕВЫЕ СЛОВА

артериальная гипертензия, комбинированная терапия, индапамид, амлодипин

KEYWORDS

arterial hypertension, combination therapy, indapamide, amlodipine

Combination therapy for hypertension is preferable to achieve target blood pressure levels in high and very high risk patients. Thiazide diuretic indapamide and the calcium channel blocker amlodipine proven in clinical studies as an effective combination to reduce and control blood pressure, organo. The new fixed combination of thiazide diuretic indapamide slow release and amlodipine Arifam® registered in the Republic of Belarus pharmaceutical market in two doses of 1,5/5 and 1,5/10 mg.

Согласно рекомендациям по диагностике и лечению артериальной гипертензии (АГ), лекарственные антигипертензивные препараты назначают для начальной и поддерживающей терапии в виде монотерапии или комбинации препаратов [1]. Комбинированная терапия пациентам с АГ назначается часто и является предпочтительной для достижения целевого уровня артериального давления (АД) у лиц высокого и очень высокого риска [2]. Преимущество начальной монотерапии – назначение одного антигипертензивного препарата – заключается в оценке эффективности и безопасности конкретного представителя класса антигипертензивных лекарственных средств (ЛС). Вместе с тем следует отметить недостатки монотерапии, возникающие в процессе поиска новых эффективных и хорошо переносимых средств, в виде отсроченного достижения или недостижения целевого уровня АД, разочарования пациента в длительной малоэффективной терапии и снижения приверженности к лечению [3]. Во многих клинических исследованиях, на основе которых разрабатывались рекомендации по лечению АГ, терапию начинали одним ЛС, а далее добавляли второй и третий антигипертензивный препарат для достижения первичных и вторичных конечных точек [4–7]. Комбинации антигипертензивных препаратов, влияя на различные механизмы АГ, превосходили по эффективности монотерапию и были безопаснее, поскольку использовались в терапевтической, а не максимальной дозе и нивелировали нежелательные реакции друг друга.

Диуретики в течение многих десятилетий применяли в виде монотерапии и в составе комбинированной терапии в целях понижения АД [8]. Во многих многоцентровых исследованиях, назначая терапию

ингибитором АПФ (иАПФ), блокатором рецепторов ангиотензина II (БРА), бета-адреноблокатором (БАБ) или блокатором медленных кальциевых каналов (БКК), в качестве второго препарата, дополняющего терапию, рассматривали тиазидные диуретики [5–7]. Доказательства антигипертензивного, органопротективного эффекта, следовательно, снижения частоты фатальных и нефатальных исходов, диуретиков позволили обосновать включение этого класса препаратов для начальной и поддерживающей терапии пациентов с АГ [1, 2]. Вместе с тем существуют ограничения по применению тиазидных диуретиков, обусловленные рекомендуемыми небольшими дозами препаратов и негативным влиянием на углеводный, пуриновый, липидный обмен, поэтому их применение нецелесообразно у лиц с АГ и метаболическим синдромом, дислипидемией, гиперурикемией или подагрой, сахарным диабетом или нарушением толерантности к углеводам [9].

В 1974 г. была разработана молекула нового препарата, в 1977 г. создана ретардная форма тиазидоподобного диуретика индапамида. Механизм действия тиазидоподобного диуретика индапамида сходен с таковым у тиазидов: обе группы лекарственных средств являются производными сульфаниламида, действуют в начальной части дистальных отделов собирательных канальцев, где происходит реабсорбция 5–10 % профильтрованного в провизорную мочу натрия и хлора, подавляя реабсорбцию ионов натрия и хлора [10].

Индапамид проявляет двойное действие – кратковременный и долговременный эффект. Как препарат класса диуретиков индапамид влияет на проксимальный отдел дистальных канальцев нефрона и оказывает натрийуретическое воздействие, устраняя избыточное содержание натрия в сосудистой стенке, обладая при этом минимальным калийуретическим влиянием. Долгосрочное действие индапамида, отличающее его от тиазидных диуретиков, заключается в прямом вазодилатирующем влиянии на сосудистую стенку, связанном с регуляцией входа кальция в гладкомышечные клетки сосудов, а также с усилением синтеза простагландина PGI_2 и PGE_2, вырабатываемого почками и эндотелиальными клетками сосудов, обусловленным высокой липофильностью (в 5–80 раз выше липофильности других тиазидных диуретиков) препарата [11, 12]. Известно, что вазодилатирующий эффект индапамида проявляется нормализацией повышенной реактивности сосудов к множеству вазопрессорных факторов (ангиотензин II, тромбоксан A_2, норадреналин и др.), уменьшением количества свободных радикалов за счет подавления пероксидации липопротеинов низкой плотности, повышением активности эндотелиального фактора расслабления и предотвращением повреждения эндотелия со снижением периферического сосудистого сопротивления у пациентов с АГ [13–15].

Индапамид проявляет свойства блокатора кальциевых каналов [16]. Помимо ингибирования котранспортера Na^+/Cl^- и торможения реабсорбции натрия в дистальных извитых канальцах, индапамид способен ингибировать карбоангидразу почек с константой диссоциации 24 нмоль/л и константой ингибирования 400 нмоль/л [17]. Подавление активности карбоангидразы приводит к повышению внутриклеточного pH, в результате активируются кальцийактивируемые калиевые каналы большой проводимости в гладкомышечных клетках сосудов и снижается приток кальция внутрь клетки через вольтажзависимые каналы, что сопровождается вазорелаксацией [18].

Важным свойством, отличающим индапамид от тиазидных и других тиазидоподобных диуретиков, является независимость антигипертензивной от диуретической активности, доказательством чего служит сохранение его свойств у пациентов с хронической почечной недостаточностью и пациентов, находящихся на постоянном гемодиализе [19, 20].

Лекарственная форма индапамида с замедленным высвобождением – Арифон SR® (SR – sustained release), созданная со сложной транспортной системой, позволяющей равномерно распределять высвобождение 70 % индапамида на протяжении около 16 ч, поддерживает стабильный антигипертензивный эффект [21].

Метаанализ результатов клинических исследований с участием 10 818 пациентов, получавших Арифон SR®, показал, что препарат оказывает выраженное антигипертензивное воздействие, снижая систолическое АД на 22,2 мм рт. ст. от исходного уровня [21].

Индапамид обладает органопротективным эффектом, замедляя прогрессирование и вызывая регресс гипертрофии левого желудочка [22]. В исследовании LIVE сопоставляли эффективность индапамида и эналаприла в снижении степени гипертрофии левого желудочка (ЛЖ) по результатам эхокардиографического исследования при лечении пациентов с мягкой и умеренной АГ и гипертрофией ЛЖ. Назначали индапамид SR 1,5 мг/сут или эналаприл 20 мг/сут. При сравнении результатов в случае лечения индапамидом SR выявили более выраженное снижение индекса массы миокарда ЛЖ (ИММ ЛЖ), чем при лечении эналаприлом: – 6,5 г/м^2, $p = 0{,}013$ (–4,3 г/м^2 по сравнению с исходным, $p = 0{,}049$). При сравнении результатов оказалось, что в группе эналаприла уменьшалась толщина задней стенки ЛЖ, а в группе индапамида – толщина задней стенки и межжелудочковой перегородки с уменьшением внутреннего диаметра ЛЖ. Демоделирование ЛЖ под влиянием индапамида указывало на эффективность влияния препарата независимо от типа ремоделирования или гипертрофии ЛЖ (концентрическая или эксцентрическая).

Таким образом, лечение индапамидом SR более эффективно снижает ИММ ЛЖ по сравнению с эналаприлом у пациентов с АГ и гипертрофией ЛЖ.

Антигипертензивный эффект, положительное влияние на прогноз пациентов с АГ, а также безопасность применения индапамида подтверждена

в ряде крупных клинических исследований (NESTOR, PROGRESS, ADVANCE, HYVET, PATS, МИНОТАВР) [22, 23].

Анализ результатов трех исследований с участием 1195 пациентов показал, что метаболическая нейтральность Арифона SR® при продолжительности применения 9–12 мес сохраняется в отношении углеводного, липидного и пуринового обмена [24].

Результаты исследования PATS, включавшего 5665 пациентов с перенесенным ишемическим инсультом или транзиторной ишемической атакой в анамнезе, показали, что в группе принимавших индапамид частота повторных нарушений мозгового кровообращения была на 29 % ниже в сравнении с группой плацебо [23].

В рандомизированном двойном слепом плацебо-контролируемом исследовании HYVET оценивали воздействие Арифона SR® с возможным добавлением периндоприла на риск фатального и нефатального инсульта и сердечно-сосудистых событий у пожилых пациентов с АГ [25]. В исследовании участвовали 3845 пациентов в возрасте 80–105 лет (средний возраст 83,6 года) с АГ (САД ≥ 160 мм рт. ст.), среднее АД 173/90,8 мм рт. ст. Первичной конечной точкой были различия в частоте развития инсультов (фатальных и нефатальных); вторичными точками – различия в общей смертности, сердечно-сосудистой смертности, смертности от инсультов. Целевой уровень АД < 150/80 мм рт. ст.

После 2 лет наблюдения и активного лечения индапамидом SR (2,5 мг) 48 % пациентов в группе индапамида достигли целевого уровня АД при соответствующем показателе в группе плацебо 19,9 %. После добавления периндоприла (2 мг) к индапамиду в 2 раза увеличилось число пациентов, достигших целевого уровня АД.

Активная терапия индапамидом SR пациентов с АГ в возрасте > 80 лет привела к достоверному снижению смертельных и несмертельных инсультов на 30 %, снижению частоты смерти от инсульта на 39 %, снижению смерти от любой причины на 21 %, сокращению смертности от сердечно-сосудистых событий на 23 %, снижению смертельной и несмертельной сердечной недостаточности на 64 %. Серьезные нежелательные реакции в группе активного лечения наблюдали реже по сравнению с группой плацебо (358 против 448, p = 0,001).

В субисследовании отмечено снижение сосудистой деменции на 13 % (p = 0,045) в группе активного лечения по сравнению с группой плацебо.

Изучение в условиях четких доказательств показало, что лечение индапамид ± периндоприл в достижении целевого уровня АД 150/80 мм рт. ст. с клиническим улучшением у очень пожилых пациентов с АГ хорошо переносится.

Р.Т. Сайгитов и М.Г. Глезер опубликовали метаанализ российских исследований за последнее десятилетие с использованием Арифона SR®, в котором представили доказательства антигипертензивной эффективности и безопасности препарата [26]. Снижение «офисного» систолического/диастолического АД при применении индапамида SR в течение 8–24 недель составило 17,8/14,0 % от исходного уровня. По результатам большинства проведенных исследований отмечено снижение уровня общего холестерина, глюкозы натощак, а по результатам некоторых – снижение уровня креатинина и мочевой кислоты. Авторы показали сопоставимость результатов антигипертензивного лечения с применением Арифона SR® в российских и зарубежных исследованиях и невысокую частоту нежелательных реакций.

Помимо тиазидных и тиазидоподобных диуретиков, одним из широко применяемых антигипертензивных классов лекарственных средств являются дигидропиридиновые БКК, в частности амлодипин. Во многих крупных рандомизированных клинических исследованиях продемонстрирована эффективность амлодипина при монотерапии и в комбинациях с представителями других классов антигипертензивных препаратов у разных категорий пациентов с АГ [7, 27, 28].

Амлодипин обладает дозозависимым гипотензивным эффектом без возникновения постуральной гипотензии, снижая АД на 10–18 % в дозах 2,5–10 мг в сутки. Препарат медленно всасывается и, благодаря длительному периоду полувыведения (34–55 ч), незначительным различиям между максимальной и минимальной концентрацией амлодипина в крови на протяжении суток, обеспечивает контроль АД в течение 24 ч.

Амлодипин проявляет высокую тканевую селективность в виде блокирования медленных кальциевых каналов и снижения внутриклеточной гиперкальциемии, в 80 раз более выраженную в отношении гладкомышечных клеток сосудов по сравнению с сократительным миокардом. Таким образом, снижение АД под действием амлодипина происходит именно вследствие периферической вазодилатации.

В исследовании TOMHS показано, что в группе пациентов с АГ, получавших монотерапию амлодипином, выявили наибольшее количество пациентов, достигших целевого уровня АД, и отметили наиболее выраженное снижение массы миокарда ЛЖ, уменьшающее риск развития сердечно-сосудистых осложнений [27]. Таким образом, при длительном назначении амлодипин вызывает обратное развитие гипертрофии ЛЖ, причем по способности вызывать обратное развитие гипертрофии ЛЖ он не уступает диуретикам и иАПФ.

Амлодипин уменьшает экскрецию альбуминов с мочой у пациентов с сахарным диабетом 2 типа. По некоторым наблюдениям, ренопротективное действие амлодипина при диабетической нефропатии выражено так же, как и действие иАПФ, которые считаются препаратами выбора для пациентов с этой патологией. Согласно результатам исследований ALLHAT и VALUE, эффект амлодипина в улучшении прогноза у пациентов с АГ был сопоставим с иАПФ, диуретиком и БРА [7, 29].

Благоприятное влияние амлодипина на замедление прогрессирования атеросклероза сонных артерий

доказано в исследовании PREVENT, а на атеросклероз коронарных артерий – в исследовании CAMELOT, что сопровождалось уменьшением частоты неблагоприятных сердечно-сосудистых событий [29, 30].

Важное свойство амлодипина – метаболическая нейтральность, доказательства которой получены во многих клинических исследованиях, показавших отсутствие существенного влияния на липидный состав крови, а также основные показатели метаболизма глюкозы, вследствие чего препарат применяют у пациентов с дислипидемией и нарушениями углеводного обмена [2]. Отмечено, что выраженность антигипертензивного действия амлодипина не зависит от пола, возраста и расы пациентов, массы тела и потребления поваренной соли с пищей. К тому же у пожилых людей амлодипин, по-видимому, оказывает более выраженное антигипертензивное действие, чем у более молодых пациентов.

Результаты исследования NATIVE показали, что у пациентов с АГ 1 и 2 ст., получавших амлодипин с последующим добавлением индапамида SR, среднее снижение систолического АД на 33 мм рт. ст. выявлено через 3 мес терапии, а 84 % пациентов достигли целевых значений САД [32].

Повышения приверженности к долгосрочному применению антигипертензивной терапии добиваются назначением фиксированных комбинаций лекарственных средств, обладающих влиянием на различные механизмы развития АГ и тем самым усиливающих антигипертензивные эффекты. В исследовании STRAPHE сравнивали эффективность трех стратегий лечения пациентов: начало с низкодозовой фиксированной комбинации; пошаговая стратегия: начало с монотерапии в минимальной дозе, при неэффективности – повышение дозы или переход к комбинированной терапии; стратегия замены: начало с монотерапии, при неэффективности – замена на препарат другой группы [31]. Анализ результатов исследования показал, что при назначении фиксированной комбинации антигипертензивных препаратов нормализация АД достигнута у большего количества пациентов, а нежелательные реакции возникали намного реже по сравнению со стратегией замены препарата или пошаговой заменой (рис. 1).

Комбинация индапамида SR и амлодипина относится к вариантам лечения пациентов с низкорениновой АГ, изолированной систолической АГ у пациентов пожилого и старческого возраста. Распространенность изолированной систолической АГ, вероятно, увеличится, поскольку возрастает в популяции доля пациентов пожилого возраста, следовательно, и потребность в комбинациях препаратов, зарекомендовавших себя как оптимальные в этой возрастной группе. Для снижения систолического АД наиболее эффективными антигипертензивными средствами, по результатам метаанализа 80 контролируемых рандомизированных исследований, выполненных с 1973 по 2007 г., с участием 10 818 пациентов, считают диуретик индапамид SR и БКК амлодипин [21]. Индапамид SR в исследованиях обеспечивал наибольшее снижение систолического АД, амлодипин снижал тот же показатель эффективнее по сравнению с другими 11 из 15 использованных антигипертензивных препаратов (рис. 2).

Первый представитель фиксированной комбинации индапамида SR (1,5 мг) и амлодипина (5 или 10 мг) Арифам® (Les Laboratoires Servier) появился в европейских странах и на фармацевтическом рынке Республики Беларусь. Клиническую значимость препарата оценивали в многоцентровом открытом несравнительном исследовании EFFICIENT (EFfects of a FIxed Combination of Indapamide sustained-release with amlodipine on blood prEssure iN hyperTension) по влиянию на уровень и контроль АД, частоту побочных реакций у пациентов с неконтролируемой АГ [33].

В исследовании участвовали пациенты (n = 196) мужчины (51 %) и женщины (49 %), средний возраст которых составил 52,3 ± 11,4 года, с индексом массы тела 26,1 ± 4,6 кг/м^2, неконтролируемой монотерапией или нелеченой АГ 2 и 3 ст. Сахарный диабет выявлен у 31 (16 %) пациента. Среднее систолическое

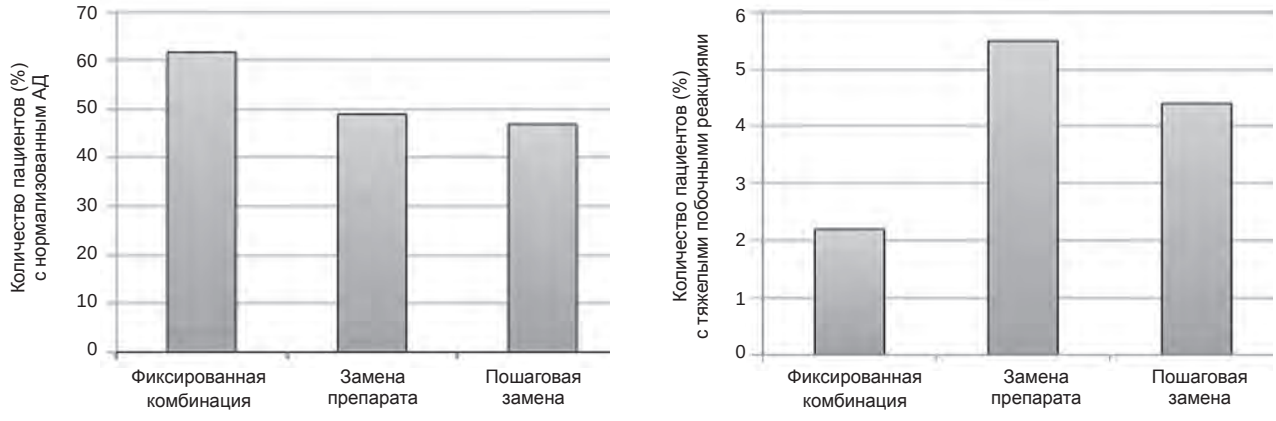

Рис. 1. Результаты исследования STRAPHE [31]

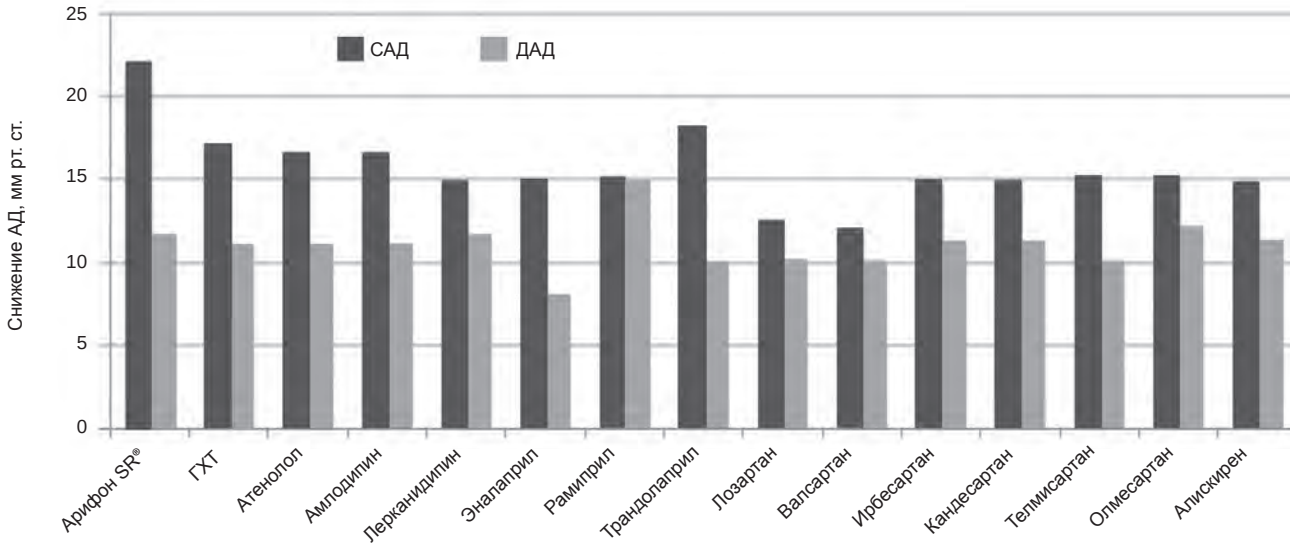

Рис. 2. Результаты метаанализа 80 рандомизированных клинических исследований по изучению эффективности антигипертензивных ЛС [21]

и диастолическое АД в начале исследования – 160,2 ± 15,1/97,9 ± 6,8 мм рт. ст. Критериями исключения из исследования считали выраженное нарушение функции почек (скорость клубочковой фильтрации менее 30 мл/мин), индивидуальную непереносимость индапамида или амлодипина, недавний (в течение 3 мес) инфаркт миокарда или мозга, сердечную недостаточность, неконтролируемый сахарный диабет, тяжелую анемию, беременность или кормление грудью. В период исследования 18 человек (9 %) были исключены из наблюдения в связи с жалобами на головокружение при приеме препарата, неэффективностью лечения, отсутствием приверженности к терапии.

В течение 45 дней из антигипертензивных препаратов пациенты получали только Арифам® и посещали врача на 15, 30 и 45-й день лечения. Основным результатом терапии считали средний уровень АД, достигнутый на фоне лечения, по сравнению с исходным значением, количество пациентов, достигших контроля АД. Помимо этого, оценивали безопасность и переносимость Арифама® по результатам обследования пациентов и показателям лабораторных методов исследования.

Результаты наблюдения на 15-й день показали снижение среднего АД на 16,7/10,9 мм рт. ст. и на 45-й день 28,5/15,6 мм рт. ст. У пациентов, ранее не контролировавших АД монотерапией БКК, на фоне лечения Арифамом® в течение 45 дней систолическое и диастолическое АД снизилось на 22,0 и 13,1 мм рт. ст. соответственно. У пациентов с АГ 2 ст. наблюдали снижение систолического и диастолического АД на 33,1 и 18,4 мм рт. ст., а у пациентов с АГ 3 ст. – на 51,2 и 20,3 мм рт. ст. соответственно.

Через 45 дней лечения Арифамом® 85 % (n = 166) пациентов достигли контроля АД, среди них 82 % (n = 72) с АГ, ранее не контролируемой монотерапией БКК, и 87 % (n = 94) ранее не получавших лечение (рис. 3)

Нежелательные побочные реакции зарегистрировали у 3 (2 %) пациентов, в том числе 2 (1 %) испытывали головокружение, 1 (< 1 %) жаловался на слабость. Никаких других побочных эффектов отмечено не было.

Результаты лабораторных исследований через 45 дней по сравнению с исходными величинами значимо не изменились.

Таким образом, лечение фиксированной комбинацией индапамида SR и амлодипина в течение 45 дней привело к снижению АД и контролю АГ у большинства пациентов с АГ, ранее не леченной и не контролируемой монотерапией БКК. Эффект от лечения не зависел от пола, наличия сахарного диабета, предыдущего лечения или его отсутствия. Арифам® хорошо переносился пациентами, не ухудшал показатели углеводного, липидного обмена и не вызывал гипокалиемии.

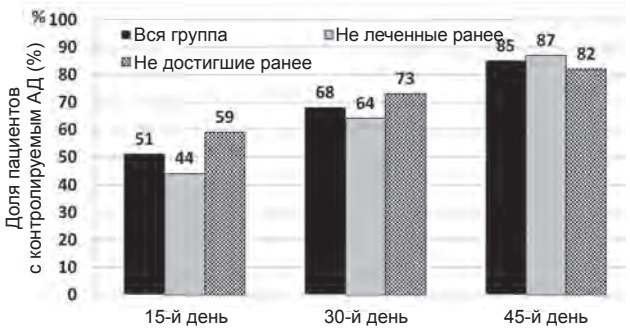

Рис. 3. Результаты лечения в исследовании EFFICIENT: доля пациентов с АГ (%), достигших контроля АД на 15, 30 и 45-й день лечения Арифамом®

Эффективность фиксированной комбинации обусловлена снижением периферического сопротивления и прямым сосудорасширяющим действием индапамида SR, дополняемого вазодилатацией, усиливающейся под влиянием амлодипина и улучшающей общее для двух компонентов антигипертензивное действие. Фармакокинетические характеристики лекарственных средств позволяют осуществлять контроль АД в течение 24 ч, что необходимо для снижения вариативности систолического АД в течение суток, предупреждающей развитие сердечно-сосудистых осложнений. Отсутствие отеков, появляющихся изредка при применении монотерапии амлодипином, объясняется посткапиллярной венозной вазодилатацией, возникающей под влиянием индапамида SR, снижающего чувствительность сосудистой стенки к циркулирующим в крови катехоламинам. К тому же в случае комбинации препаратов возможно применение небольших доз каждого компонента, в меньшей степени способных вызывать нежелательные реакции. Применение Арифама® с невысокой дозой амлодипина (5 мг) редко приводит к появлению отеков.

Арифам® (Les Laboratoires Servier) – современная фиксированная комбинация двух антигипертензивных препаратов – индапамида SR и амлодипина – в двух дозировках (1,5/5 и 1,5/10 мг) является эффективным средством лечения АГ. Оба компонента – тиазидоподобный диуретик и дигидропиридиновый БКК – во многих исследованиях зарекомендовали себя как ЛС, контролирующие АД при приеме один раз в сутки в течение 24 ч, вызывающие регресс или замедление поражения органов-мишеней, снижающие частоту сердечно-сосудистых событий и улучшающие прогноз у пациентов с АГ.

ЛИТЕРАТУРА

1. Mancia G., Fagard R., Narkiewicz K. et al., Task Force Members. 2013 ESH/ESC Guidelines for the management of arterial hypertension: the Task Force for the management of arterial hypertension of the European Society of Hypertension (ESH) and of the European Society of Cardiology (ESC) // J. Hypertens. 2013; 31: 1281–1357.

2. Mancia G., De Backer G., Dominiczak A. et al., Task Force Members. 2007 Guidelines for the management of arterial hypertension: the Task Force for the management of arterial hypertension of the European Society of Hypertension (ESH) and of the European Society of Cardiology (ESC) // J. Hypertens. 2007; 25 (6): 1105–1187.

3. Corrao G., Parodi A., Zambon A. et al. Reduced discontinuation of antihypertensive treatment by two-drug combination as first step. Evidence from daily life practice // J. Hypertens. 2010; 28: 1584–1590.

4. Liu L., Zhang Y., Liu G. et al. The Felodipine Event Reduction (FEVER) Study: a randomized long-term placebocontrolled trial in Chinese hypertensive patients // J. Hypertens. 2005; 23: 2157–2172.

5. ADVANCE Collaborative Group. Effects of a fixed combination of perindopriland indapamide on macrovascular and microvascular outcomes in patients with type 2 diabetes mellitus (the ADVANCE trial): a randomised controlled trial // Lancet. 2007; 370: 829–840.

6. Jamerson K., Weber M.A., Bakris G.L. et al. Benazepril plus amlodipine or hydrochlorothiazide for hypertension in high-risk patients // N. Engl. J. Med. 2008; 359: 2417–2428.

7. ALLHAT officers and coordinators for the ALLHAT Collaborative Research Group. Major outcomes in high-risk hypertensive patients randomized to angiotensin-converting enzyme inhibitor or calcium channel blocker vs diuretic: The Antihypertensive and Lipid Lowering Treatment to Prevent Heart Attack Trial (ALLHAT) // JAMA. 2002; 288: 2981–2997.

8. Arterial hypertension. Report of a WHO expert committee. World Health Organ. Tech. Rep. Ser., 1978. P. 7–56.

9. DiNicolantonio J.J. Hydrochlorothiazide: is it a wise choice? // Expert Opin. Pharmacother. 2012; 13: 807–814.

10. Seely J.F., Dirks J.H. Site of action of diuretic drugs // Kidney Int. 1977; 11: 18.

11. Ambrosioni E. Low-dose antihypertensive therapy with 1,5 mg SR Indapamide: results of randomized double-blind controlled studies // J. Hypertens. 1998; 19: 1677–1684.

12. Weidmann P. Metabolic profile of indapamide sustainedrelease in patients with hypertension: data from three randomized double-blind studies // Drug Saf. 2001; 24: 1155–1165.

13. Grimm M., Weidmann P., Meier A. et al. Correction of altered noradrenaline reactivity in essential hypertension by indapamide // Br. Heart J. 1981; 46: 40–49.

14. Bataillard A., Schiavi P., Sassard J. Pharmacological propertiesof indapamide: rationale for use in hypertension // Clin. Pharmacokinet. 1999; 37 (Suppl. 1): 712.

15. Velasco M., UrbinaQuintana A., HernandezPieretti O. Cardiovascular hemodynamic effects of indapamide and atenolol in hypertensive patients // Curr. Ther. Res 1982; 31: 1007–1017.

16. Hughes A.D. How do thiazide and thiazidelike diuretics lower blood pressure? // J. Renin. Angiotensin Aldosterone Syst. 2004; 5: 155–160.

17. Schaeffer P., Vigne P., Frelin C. et al. Identification and pharmacological properties of binding sites for the atypical thiazide diuretic, indapamide // Eur. J. Pharmacol. 1990; 17: 182 (3).

18. Pickkers P., Garcha R.S., Schachter M. et al. Inhibition of carbonic anhydrase accounts for the direct vascular effects of hydrochlorothiazide // Hypertension. 1999; 33 (4): 104–138.

19. Acchiardo S.R., Skoutakis V.A. Clinical efficacy, safety, and pharmacokinetics of indapamide in renal impairment // Am. Heart J. 1983; 106: 237–244.

20. Pickkers P., Garcha R.S., Schachter M. et al. Inhibition of carbonic anhydrase accounts for the direct vascular effects of hydrochlorothiazide // Hypertension. 1999; 33 (4): 104–138.

21. Baguet J.P., Legallicier B., Auquier P. et al. Updated meta-analy-tical approach to the efficacy of antihypertensive drugs in reducing blood pressure // Clin. Drug Investig. 2007; 27 (11): 735–753.

22. Gosse P.H., Sheridan D.J., Zannad F. et al. Regression of left ventricular hypertrophy in hypertensive patients treated with inda-pamide SR 1,5 mg versus Enalapril 20 mg: LIVE study // J. Hypertens. 2000; 18: 1465–1475.

23. Бобров В.А., Боброва Е.В., Перепельченко Н.А. и др. Место диуретиков в лечении артериальной гипертензии: пора расставить приоритеты // Часопис. 2011; 5 (85).

24. Weidmann P. Metabolic profile of indapamide sustained-release in patients with hypertention // Drug Safety. 2001; 24: 1155–1165.

25. Beckett N.S. et al. for the HYVET Study Group. Treatment of hypertension in patients 80 years of age or older // N. Engl. J. Med. 2008; 358: 1887–1898.
26. Сайгитов Р.Т., Глезер М.Г. Применение индапамида с контролируемым высвобождением у больных с артериальной гипертензией: метаанализ и сопоставление результатов российских и зарубежных открытых исследований // Женское здоровье. 2009; 4 (4): 5–16.
27. Neaton J.D.1., Grimm R.H. Jr., Prineas R.J. et al. Treatment of Mild Hypertension Study. Final results. Treatment of Mild Hypertension Study Research Group // JAMA. 1993; 11; 270 (6): 713–724.
28. Julius S., Kjeldsen S.E., Weber M. et al. Outcomes in hypertensive patients at high cardiovascular risk treated with regimens based on valsartan or amlodipin: the VALUE randomized trial // Lancet. 2004; 363 (9426): 2022–2023.
29. Pitt B., Byington R.P., Furberg C.D. et al. Effect of amlodipin on the progression of atherosclerosis and the occurrence of clinical events // Circulation. 2000; 102: 1503–1510.
30. Nissen S.E., Tuzcu E.M., Libbi P. et al. Effect of antihypertensive agents on cardiovascular events in patients with coronary disease and normal blood pressure: the CAMELOT study: a randomized controlled trial // JAMA. 2004; 292 (18): 2217–2225.
31. Moser M., Black H. The role of combination therapy in the treatment of hypertension // Am. J. Hypertens. 1998; 11: 73S–78S.
32. Akram J., Sheikh U.E., Mahmood M. et al. Anti-hypertensive efficacy of indapamide SR in hypertensive patients uncontrolled with a background therapy: the NATIVE study // Curr. Med. Res. Opin. 2007; 23: 2929–2936.
33. Jadhav U., HiremathJ., Namjoshi D.J. et al. Blood pressure control with a single-pill combination of indapamide sustained-release and amlodipine in patients with hypertension: the EFFICIENT study // PLoS ONE. 2014; 9 (4): 1–6: e92955.

Поступила 01.06.2016

УДК 616.233-002-036.12:616.24-036.12]-085.281.9

АНТИБАКТЕРИАЛЬНАЯ ТЕРАПИЯ У ПАЦИЕНТОВ С ХРОНИЧЕСКИМ БРОНХИТОМ И ХРОНИЧЕСКОЙ ОБСТРУКТИВНОЙ БОЛЕЗНЬЮ ЛЕГКИХ

Е.А. Лаптева*

Белорусская медицинская академия последипломного образования, Минск

*Контактная информация. Тел.: +375 29 322 73 66, e-mail: e.lapteva@tut.by

ANTIBIOTICS THERAPY IN THE PATIENTS WITH CHRONIC BRONCHITIS AND CHRONIC OBSTRUCTIVE LUNG DISEASE

E.A. Lapteva*

Belarusian Medical Academy of Postgraduate Education, Minsk

*Corresponding author. Tel.: +375 29 322 73 66, e-mail: e.lapteva@tut.by

Представлены результаты изучения эффективности дифференцированного применения антибактериальных лекарственных средств у пациентов с хроническим бронхитом и хронической обструктивной болезнью легких. Обследовано 50 пациентов с хроническим бронхитом и 50 с хронической обструктивной болезнью легких в период обострения и в течение года после купирования последнего. Оценивалось влияние дифференцированного лечения на показатели иммунного статуса, а также выраженность воспалительного процесса в бронхах и последующих обострений заболевания. Обосновано применение дифференцированных схем антибактериальной терапии при обострении хронического бронхита и хронической обструктивной болезни легких.

КЛЮЧЕВЫЕ СЛОВА

хронический бронхит, хроническая обструктивная болезнь легких, антибактериальное лечение

The article presents the results of study the effectiveness of differential application of antibacterial drugs in patients with chronic bronchitis and chronic obstructive pulmonary disease. Surveyed 50 patients with chronic bronchitis and 50 with chronic obstructive pulmonary disease during an exacerbation and during the year after it. We evaluated the influence of differential treatment on indicators of immune status, the severity of the inflammatory process in the bronchi and subsequent exacerbations of the disease. The application of differentiated regimens of antibacterial therapy in exacerbations of chronic bronchitis and chronic obstructive pulmonary disease process in the bronchi and the general states of patients.

KEYWORDS

chronic bronchitis, chronic obstructive pulmonary disease, antibacterial treatment

Введение. Хронический бронхит (ХБ) – одно из самых распространенных заболеваний, симптомы которого зачастую не побуждают пациента обратиться за медицинской помощью. В то же время, являясь фактором риска возникновения более грозной патологии – хронической обструктивной болезни легких (ХОБЛ), это заболевание требует более пристального внимания как со стороны пациентов, так и со стороны терапевтов. Своевременное и адекватное лечение ХБ – эффективный метод предотвращения развития и прогрессирования обструктивных изменений в бронхах и возникновения ХОБЛ. В настоящее время проблема ХОБЛ приобретает все большую медицинскую и социальную значимость, что обусловлено широкой распространенностью патологии, высокими показателями инвалидизации и смертности населения при этом заболевании, сложностями в лечении пациентов [1–3]. Обострения ХОБЛ значительно ухудшают качество жизни пациентов и прогноз заболевания [4, 10, 11, 12], способны критически снижать функциональные респираторные резервы [5], являются фактором риска летального исхода [6]. Обострения ХОБЛ, кроме того, – затратная статья расходов системы здравоохранения [7, 13, 14]. Своевременное и эффективное лечение обострений может замедлить прогрессирование заболевания [1, 2, 8, 9]. Результаты применения различных видов лечения противоречивы, зависимы от вида возбудителя и не позволяют рассчитывать на достаточную эффективность этих лекарственных средств при их использовании у всех категорий пациентов с ХОБЛ [1].

Цель исследования – разработка дифференцированных схем антибактериальной терапии у пациентов с ХБ и ХОБЛ.

Материал и методы. Обследовались пациенты с ХБ (50 человек) и ХОБЛ (50 человек). Всем пациентам в процессе лечения проводились общеклиническое обследование, исследование функции внешнего дыхания (ФВД), фибробронхоскопия (ФБС). Во время ФБС оценивалась интенсивность воспаления слизистой оболочки бронхиального дерева; в бронхоальвеолярной лаважной жидкости (БАЛЖ), полученной при ФБС, изучался клеточный состав, определялись содержание иммуноглобулинов А, М и G (IgA, IgM и IgG), бактериологический пейзаж.

Эффективность лечения пациентов определялась по выраженности клинических симптомов ХОБЛ в баллах – кашля, одышки, продукции мокроты, количества хрипов над легкими исходно и по окончании курса лечения [3]. Одышка оценивалась по 4-балльной шкале: 0 – отсутствие симптома; 1 – минимальное проявление, не ограничивающее активность; 2 – выраженное проявление, ограничивающее активность, 3 – резкое ограничение активности. Показатели кашля соотносились с 4-балльной шкалой: 0 – отсутствие симптома; 1 – только утром; 2 – редкие эпизоды (2–3) в течение дня; 3 – частые эпизоды (> 3) в течение дня. Выраженность хрипов определялась по 4-балльной шкале: 0 – отсутствие симптома; 1 – единичные хрипы, исчезающие при покашливании; 2 – единичные, постоянные; 3 – множественные, постоянные. Количество отделяемой мокроты оценивалось по 4-балльной шкале: 0 – отсутствие симптома; 1 – скудное количество, непостоянный симптом; 2 – скудное количество, постоянно; 3 – умеренное количество (< 50 мл) в течение дня; 4 – >50 мл в течение дня.

Результаты и обсуждение. Проведенное исследование пациентов с ХБ и ХОБЛ позволило выделить определенные клинико-лабораторные характеристики данных заболеваний.

При госпитализации все пациенты страдали кашлем со слизистой или слизисто-гнойной мокротой и одышкой, у 96,2 % выслушивались хрипы в базальных отделах легких, у 40,4 % выявлялись лейкоцитоз в крови и повышенная СОЭ.

При исследовании ФВД различного характера нарушения легочной вентиляции определялись у 73,1 % (38) пациентов с ХБ и у всех пациентов с ХОБЛ, причем в 86,5 % случаев – значительной степени выраженности. В бронхиальном дереве у пациентов с ХБ регистрировалось воспаление I степени интенсивности, у пациентов с эмфизематозным фенотипом ХОБЛ – I–II степени, у пациентов с бронхитическим фенотипом – II–III степени. Обострение ХОБЛ сопровождалось нарушениями клеточного состава БАЛЖ и показателей местного иммунитета.

В БАЛЖ пациентов с ХОБЛ по сравнению со здоровыми людьми в среднем было повышено в 1,9 раза общее количество клеток ($p < 0,05$) и снижено в 2,2 раза количество жизнеспособных клеток ($p < 0,05$). При изучении цитограммы БАЛЖ пациентов с ХОБЛ установлено снижение содержания альвеолярных макрофагов ($p < 0,05$) и увеличение содержания нейтрофилов ($p < 0,05$). Кроме того, в БАЛЖ пациентов с ХОБЛ по сравнению со здоровыми снижалось содержание IgA, IgG в 1,9–3,4 раза ($p < 0,05$). У пациентов с ХБ показатели цитограммы БАЛЖ имели менее выраженные отличия по сравнению с группой практически здоровых лиц. В результате проведенного бактериологического исследования выявлено, что для пациентов с ХБ в БАЛЖ характерными были находки грамположительных кокковых форм и атипичных микроорганизмов, в основном в виде моноинфекции. Аналогичная картина выявлялась при эмфизематозном фенотипе ХОБЛ. При ХОБЛ с бронхитическим фенотипом бактериологическая картина БАЛЖ была представлена ассоциациями микроорганизмов, среди которых доминировали грамотрицательные энтеробактерии (табл. 1).

На основании полученных данных бактериологического исследования БАЛЖ назначалась дифференцированная антибактериальная терапия. Причем другие лекарственные средства (ингаляционные и системные кортикостероиды, бронхо- и муколитики назначались всем пациентам с ХОБЛ и ХБ по показаниям). Так, пациентам с ХБ назначался кларитромицин в дозе 250 мг через 12 ч в течение 7 дней, пациентам с эмфизематозным ХОБЛ – 500 мг кларитромицина через 12 ч в течение 7–10 дней. Пациентам с бронхитическим фенотипом ХОБЛ назначались респираторные фторхинолоны и цефалоспорины III–IV поколений (левофлоксацин, цефоперазон, цефотаксим). Состояние пациентов с ХБ оценивалось через 7 дней, ХОБЛ – через 10.

Выполненный анализ результатов лечения показал, что в группе пациентов ХБ, получавших дифференцированное назначение антибактериальных средств, кашель сохранялся у 52,0 %, выделение мокроты – у 44, 0 %, одышка – у 48,0 %, хрипы в легких – у 12,0 % пациентов.

В группе пациентов, не применявших антибактериальное лечение или применявших его без учета вероятного возбудителя, кашель и одышка продолжали регистрироваться через 10 дней в 74,1 % случаев, выделение мокроты – в 70,3 %, хрипы в легких – в 77,8 %. Кроме того, после применения дифференцированного антимикробного лечения у пациентов ХОБЛ регистрировались менее выраженные показатели, характеризующие интенсивность клинических симптомов заболевания: в сопоставлении с группой сравнения в 1,4–1,5 раза были меньше интенсивность одышки и кашля, хрипов в легких и количество выделяемой мокроты ($p < 0,05$) (табл. 2).

Характер проводимого лечения отразился и на показателях ФВД. В наибольшей степени дифференцированный подход к терапии оказался эффективным у пациентов ХБ и ХОБЛ с эмфизематозным фенотипом (табл. 3 и 4).

Таблица 1

Частота встречаемости пневмотропных бактерий, абс. (%)

Бактерии	ХБ (n = 50)	ХОБЛ	
		бронхитический фенотип (n = 38)	эмфизематозный фенотип (n = 12)
S. pneumoniae	6 (12,0)	22 (58,0)	3 (25,0)
St. aureus	–	2 (5,2)	–
Neisseria subflavia	–	3 (7,8)	1 (8,3)
Str. viridans	1 (2,0)	3 (7,8)	2 (16,7)
Str. anhaemol.	1 (2,0)	–	2 (16,7)
H. influenzae	6 (12,0)	12 (31,6)	9 (75,0)
Enteroccocus	–	5 (13,2)	4 (33,3)
Enterobacter	–	21 (55,3)	–
E. coli	–	21 (55,3)	–
Candida alb.	–	7 (18,4)	1 (8,3)
Ps. aeruginosae	–	28 (73,7)	–
Klebsiella pn.	–	29 (76,3)	–
Ассоциации	4 (8,0)	36 (94,7)	6 (50,0)

Таблица 2

Влияние дифференцированных схем лечения на динамику респираторных симптомов

Симптом	ХБ (n = 50)		ХОБЛ			
			эмфизематозный фенотип (n = 12)		бронхитический фенотип (n = 38)	
	до лечения	после лечения	до лечения	после лечения	до лечения	после лечения
Кашель	2,45 ± 0,13	1,21 ± 0,20	2,46 ± 0,12	1,52 ± 0,2	6,78 ± 2,6	4,12 ± 0,3
Одышка	2,35 ± 0,14	1,28 ± 0,22	7,88 ± 2,12	6,78 ± 1,5	8,34 ± 2,1	8,03 ± 1,3
Хрипы	2,41 ± 0,15	0,89 ± 0,19	2,39 ± 0,13	1,39 ± 0,1	4,0 ± 0,1	4,0 ± 0,1
Гиперсекреция	2,58 ± 0,19	1,10 ± 0,22	2,59 ± 0,19	1,54 ± 0,2	3,4 ± 0,3	3,0 ± 0,2

Таблица 3

Значения основных спирометрических показателей у пациентов с ХБ и ХОБЛ основных групп

Показатель	ХБ (n = 50)		ХОБЛ			
			эмфизематозный фенотип (n = 12)		бронхитический фенотип (n = 38)	
	до лечения	после лечения	до лечения	после лечения	до лечения	после лечения
$ОФВ_1$, %	73,3 ± 6,7	89,6 ± 4,1	52,8 ± 4,7	58,4 ± 4,9	32,3 ± 7,6	35,7 ± 3,3
ТТ, %	66,1 ± 5,4	70,3 ± 6,7	67,0 ± 3,9	68,4 ± 5,3	70,8 ± 1,2	68,2 ± 4,1
МОС50, %	68,5 ± 8,1	66,3 ± 6,4	65,1 ± 4,0	61,4 ± 4,0	48,5 ± 4,9	59,4 ± 3,8
МОС75, %	61,4 ± 3,7	64,1 ± 2,4	44,6 ± 4,8	48,9 ± 2,3	22,3 ± 5,1	25,7 ± 4,2
$СОС_{25-75}$, %	54,7 ± 4,8	64,5 ± 2,8	42,8 ± 5,1	56,0 ± 4,1	24,3 ± 8,1	29,3 ± 6,1
Евд, л	3,2 ± 0,8	3,3 ± 1,2	2,4 ± 0,4	2,6 ± 0,8	1,7 ± 0,3	2,1 ± 0,4

Таблица 4

Результаты 6-минутного шагового теста у пациентов с ХБ и ХОБЛ основных групп

Показатель	ХБ (n = 50)		ХОБЛ			
			эмфизематозный фенотип (n = 12)		бронхитический фенотип (n = 38)	
	до лечения	после лечения	до лечения	после лечения	до лечения	после лечения
v, км/ч	4,76 ± 0,04	4,61 ± 0,01	2,90 ± 0,04	2,2 ± 0,05	1,56 ± 0,03	2,08 ± 0,07
L, м	476,3 ± 6,6	460,1± 58,4	390,5 ± 25,5	420,1 ± 15,5	156,5 ± 12,0	208,1 ± 14,4
Борг	0,8 ± 0,8	0	8,8 ± 1,1	7,4 ± 1,2	8,9 ± 2,4	7,1 ± 0,4

После проведенного лечения с учетом выделенного возбудителя у пациентов с ХБ и ХОБЛ в основных группах повысились важнейшие показатели, характеризующие бронхиальную проходимость (см. табл. 3). В группе сравнения динамика показателей ФВД была не столь выраженной (табл. 5) ($p > 0,05$). При анализе субъективных ощущений дыхательного дискомфорта при выполнении физической нагрузки (6-минутный шаговый тест) наиболее значимые различия до и после лечения были достигнуты у пациентов с эмфизематозным фенотипом ХОБЛ в основной группе (табл. 4 и 5).

В ходе лечения у пациентов обеих групп отмечалась тенденция к уменьшению интенсивности воспаления слизистой оболочки бронхов. Противовоспалительный эффект был более выраженным у пациентов с ХБ основной группы. Так, в результате анализа данных бронхологического исследования у 62,0 % (31 человек) пациентов с ХБ основной группы выявлялось воспаление I степени интенсивности, в группе сравнения воспаление сохранялось у 83,3 % (25 человек). У 50 % пациентов с ХОБЛ с эмфизематозным фенотипом основной группы активность воспаления в бронхах выявлялась на уровне I степени, у остальных – I–II степени, в группе сравнения были получены аналогичные данные. У пациентов с ХОБЛ с бронхитическим фенотипом также не было получено достоверных различий в активности воспалительного процесса в основной группе и группе сравнения.

Клинический эффект терапии с использованием дифференцированных схем сопровождался улучшением клеточного состава БАЛЖ и показателей местного иммунитета в течение года после проведенной терапии (табл. 6).

На фоне лечения в БАЛЖ у пациентов основной группы по сравнению с исходными данными снизилось общее количество клеток, нейтрофилов, повысилось число жизнеспособных клеток и альвеолярных макрофагов. Кроме того, увеличилось содержание IgA и IgG. У пациентов с ХОБЛ в группе сравнения клеточный состав и цитограмма БАЛЖ не отличались достоверно от таковых в основной группе. Однако у пациентов с ХБ в группе сравнения не получено значимых различий при сравнении результатов до и через год

Таблица 5

Значения основных спирометрических показателей у пациентов ХБ и ХОБЛ групп сравнения

Показатель	ХБ (n = 50)		ХОБЛ			
			эмфизематозный фенотип (n = 12)		бронхитический фенотип (n = 38)	
	до лечения	после лечения	до лечения	после лечения	до лечения	после лечения
$ОФВ_1$, %	68,3 ± 5,4	76,0 ± 6,6	54,8 ± 3,3	56,4 ± 6,8	30,8 ± 6,6	33,7 ± 4,1
ТТ, %	69,3 ± 5,1	78,3 ± 4,1	65,2 ± 4,8	63,9 ± 4,7	56,8 ± 7,7	64,9 ± 2,9
МОС50, %	61,2,5 ± 4,2	64,4 ± 5,1	63,5 ± 3,6	69,3 ± 4,8	42,6 ± 5,3	56,7 ± 8,8
МОС75, %	55,3 ± 4,8	53,1 ± 5,9	41,8 ± 3,6	44,2 ± 6,3	23,4 ± 9,2	28,7 ± 6,4
$СОС_{25-75}$, %	60,2 ± 4,3	64,4 ± 8,2	44,3 ± 6,2	48,2 ± 5,5	30,2 ± 7,6	39,1 ± 5,8
Евд, л	3,0 ± 0,5	3,2 ± 1,0	2,4 ± 0,9	2,5 ± 0,7	1,8 ± 0,7	2,2 ± 0,6
v, км/ч	4,5 ± 0,21	4,98 ± 0,92	2,33 ± 0,1	2,4 ± 0,23	1,68 ± 0,21	2,0 ± 0,34
L, м	451,4± 54,6	498,3 ± 64,2	233,8 ± 12,5	240,1 ± 14,3	168,7 ± 26,6	199,4 ± 8,5
Борг	0,6 ± 0,5	0	7,5 ± 1,6	7,0 ± 1,2	9,3 ± 2,4	8,3 ± 0,8

Таблица 6

Клеточный состав БАЛЖ и показатели местного иммунитета у пациентов с ХБ и ХОБЛ основной группы

Показатель	ХБ		ХОБЛ			
			эмфизематозный фенотип		бронхитический фенотип	
	до лечения	через 12 месяцев после лечения	до лечения	через 12 месяцев после лечения	до лечения	через 12 месяцев после лечения
Общее количество клеток, 10^5/мл	1,5 ± 0,1	1,0 ± 0,1	2,1 ± 0,3	1,9 ± 0,6	1,96 ± 0,33	1,6 ± 0,2
Жизнеспособные клетки, %	93,4 ± 1,2	102,1 ± 2,3	94,4 ± 2,1	96,1 ± 3,0	41,64 ± 4,02	47,54 ± 3,3
Альвеолярные макрофаги, %	93,5 ± 1,3	97,5 ± 4,3	101,2 ± 4,2	103,4 ± 5,1	47,54 ± 1,7	45,12 ± 4,3
Нейтрофилы, %	13,5 ± 0,6	11,5 ± 0,4	11,67 ± 0,13	40,9 ± 0,66	47,98 ± 2,54	41,43 ± 3,12
IgA, г/л	0,05 ± 0,01	0,06 ± 0,004	0,04 ± 0,005	0,05 ± 0,01	0,025 ± 0,003	0,031 ± 0,002
IgG, г/л	0,25 ± 0,06	0,57 ± 0,04	0,19 ± 0,04	0,21 ± 0,06	0,12 ± 0,02	0,15 ± 0,04

после лечения, а уровень IgA и IgG в надосадочной жидкости был ниже, чем в основной группе ($p < 0,05$).

Таким образом, у пациентов ХБ и ХОБЛ, получавших в комплексном лечении дифференцированные схемы антибактериальной терапии, по сравнению с пациентами, терапия которым назначалась без учета предполагаемого возбудителя, положительная динамика клинических симптомов заболевания, показателей местного иммунитета и клеточного состава БАЛЖ была более выраженной.

Анализируя полученные результаты, следует отметить, что при обострении ХОБЛ особенно важными факторами, определяющими прогноз заболевания, становятся воспаление дыхательных путей и скопление слизи в просвете бронхов – факторы, способствующие колонизации микроорганизмов и инфицированию стерильных в норме отделов респираторного тракта [2]. Один из ведущих механизмов формирования воспаления в бронхах и его персистирующего течения – нарушения местного иммунитета [1]. В этих условиях у пациентов с ХБ и ХОБЛ оправдано использование антибактериальных препаратов с направленным действием в отношении предполагаемого возбудителя. Как показали наши исследования, использование кларитромицина (Борисовский завод медпрепаратов) у пациентов с ХБ и эмфизематозным фенотипом ХОБЛ в комплексной терапии обострений оказывало выраженное противовоспалительное воздействие, а лица с бронхитическим фенотипом ХОБЛ нуждаются в применении в комплексном терапевтическом воздействии антибактериальных средств, активных в отношении энтеробактерий и резистентных грамположительных микроорганизмов.

Выводы:

1. У пациентов ХОБЛ и в меньшей степени у пациентов с ХБ обострение заболевания сопровождается нарушением клеточного состава и изменением в иммунном статусе БАЛЖ.

2. Применение дифференцированных схем антибактериального воздействия при обострении ХБ и ХОБЛ способствует уменьшению активности воспаления в респираторном тракте, улучшает клеточный состав БАЛЖ и состояние местного иммунитета, повышает качество жизни пациентов, что выражается в уменьшении «дыхательного дискомфорта» и увеличении толерантности к физическим нагрузкам.

3. Этиологически обоснованное использование антибактериальных средств в терапии обострений ХБ и ХОБЛ проводится в комплексном терапевтическом воздействии с применением бронхо- и муколитиков, системных и ингаляционных кортикостероидов, оксигенотерапии и санационных мероприятий.

ЛИТЕРАТУРА

1. Авдеев С.Н. Могут ли современные лекарственные средства модифицировать течение хронической обструктивной болезни легких // Терапевт. архив. 2008; 80 (8): 80–83.

2. Авдеев С.Н. Хроническая обструктивная болезнь легких: обострения // Пульмонология. 2013; 3: 5–19.

3. Шмелев Е.И. Различия в диагностике и лечении бронхиальной астмы и хронической обструктивной болезни легких // Consillium Medicum. 2002; 4 (9): 492–497.

4. Sethi S., Sethi R., Eschberger K. et al. Airway bacterial concentrations and exacerbations of chronic obstructive pulmonary disease // Am. J. Respir. Crit. Care Med. 2007; 176: 356–361.

5. Anzueto A. The pathogenesis of acute infection in COPD // Breathe. 2009; 5: 311–315.

6. Papi A., Bellettato C.M., Braccioni F. et al. Infections and air-way inflammation in chronic obstructive pulmonary disease severe exacerbations // Am. J. Respir. Crit. Care Med. 2006; 173: 1114–1121.

7. Murphy T.F., Brauer A.L., Sethi S. et al. Haemophilus haemolyticus: a human respiratory tract commensal to be distinguished from Haemophilus influenzae // J. Infect. Dis. 2007; 195: 81–89.
8. Rosell A., Monso E., Soler N. et al. Microbiologic determinants of exacerbation in chronic obstructive pulmonary disease // Arch. Intern. Med. 2005; 165: 891–897.
9. Murphy T.F., Brauer A.L., Grant B.J. et al. Moraxella catarrhalis in chronic obstructive pulmonary disease: burden of disease and immune response // Am. J. Respir. Crit. Care Med. 2005; 172: 195–199.
10. Murphy T.F., Brauer A.L., Eschberger K. et al. Pseudomonas aeruginosa in chronic obstructive pulmonary disease // Am. J. Respir. Crit. Care Med. 2008; 177: 853–860.
11. Hurst J.R., Vestbo J., Anzueto A. et al. Susceptibility to exacerbation in chronic obstructive pulmonary disease // N. Engl. J. Med. 2010; 363: 1128–1138.
12. Suissa S., Dell'aniello S., Ernst P. Long-term natural history of chronic obstructive pulmonary disease: severe exacerbations and mortality // Thorax. 2012; 67: 957–963.
13. Steer J., Gibson J., Bourke S.C. The DECAF Score: predicting hospital mortality in exacerbations of chronic obstructive pulmonary disease // Thorax. 2012; 67: 970–976.
14. Veeramachaneni S.B., Sethi S. Pathogenesis of bacterial exacerbations of COPD // COPD. 2006; 3: 109–115.

Поступила 30.05.2016

УДК 616.24-036.12-085.834:551.584.65

ДИФФЕРЕНЦИРОВАННЫЕ РЕЖИМЫ СПЕЛЕОТЕРАПИИ В КОМПЛЕКСНОМ ЛЕЧЕНИИ ХРОНИЧЕСКОЙ ОБСТРУКТИВНОЙ БРОНХОЛЕГОЧНОЙ ПАТОЛОГИИ

Е.А. Лаптева*

Белорусская медицинская академия последипломного образования, Минск

*Контактная информация. Тел.: +375 29 322 73 66, e-mail: e.lapteva@tut.by

DIFFERENTIATED MODES OF SPELEOTHERAPY IN COMPLEX TREATMENT OF CHRONIC OBSTRUCTIVE BRONCHOPULMONARY PATHOLOGY

E.A. Lapteva*

Belarusian Medical Academy of Postgraduate Education, Minsk

*Corresponding author. Tel.: +375 29 322 73 66, e-mail: e.lapteva@tut.by

Представлены результаты изучения эффективности применения дифференцированных схем спелеовоздействия у пациентов с бронхиальной астмой и хронической обструктивной болезнью легких, проходивших комплексное лечение в условиях Республиканской больницы спелеолечения (г. Солигорск).

КЛЮЧЕВЫЕ СЛОВА

бронхиальная астма, хроническая обструктивная болезнь легких, спелеотерапия

The results of the study of the effectiveness of differentiated schemes speleovotherapy for patients with bronchial asthma and chronic obstructive pulmonary disease, which took place in a complex treatment of Republican Hospital speleotherapy (Soligorsk).

KEYWORDS

bronchial asthma, chronic obstructive lung disease, speleotherapy

Введение. В Республике Беларусь имеется уникальная экосистема – копи соляных выработок в г. Солигорске, на базе которых в 1990 г. был открыт спелеостационар. Анализ работы Республиканской больницы спелеолечения за последние 4 года показал, что ежегодно увеличивается число пациентов, прошедших полный курс лечебных мероприятий, применяемых в стационаре. Лечебный эффект соляных шахт достигается благодаря специфичности микроклимата, постоянству физико-химических факторов: гипобактериальная и безаллергенная среда, аэроионизация (соли калия и натрия), стабильность оптимальных климатических параметров, неспецифические (электромагнитные, гравитационные поля, акустические колебания). Данные факторы создают благоприятные условия для вентиляции, улучшают кислородный режим организма, нормализуют функцию вегетативной нервной системы, предотвращают воспалительные процессы в слизистой оболочке дыхательного тракта, чем объясняется достаточно ши-

рокий перечень показаний для спелеолечения: ХОБЛ, бронхиальная астма, хронический бронхит, атопический ринит и другие аллергические заболевания дыхательных путей, атопический дерматит [1–4].

Несмотря на накопленный положительный опыт использования соляных шахт в лечебных целях (Солотвино, Цхалтубо, Березники, шахты Польши, Германии), применение микроклимата солигорских соляных шахт требовало отдельного изучения, так как физико-химическая среда последних существенно отличается от таковой других спелеокомплексов. Так, расположенный рядом с галитовым слоем сильвинитовый слой соли гарантирует в 20 раз большее содержание в воздухе хлористого калия, чем в других подобных шахтах; большая глубина солигорских соляных шахт обеспечивает более высокие цифры атмосферного давления и др.

Цель исследования – разработка дифференцированных методик спелеовоздействия у пациентов с обструктивной бронхолегочной патологией.

Материал и методы. В исследование было включено 180 пациентов, из которых 98 – с БА, 82 – с ХОБЛ. Пациенты наблюдались в период спелеолечения и в течение следующего года.

Учитывались: характеристика действующего компонента спелеошахт, экспозиция одного сеанса, интенсивность, курсовая доза и кратность спелеовоздействия. Эффективность метода оценивалась по динамике основных функциональных параметров: $ОФВ_1$, ТТ, $МОС_{25–75}$, бронхолитического теста и иммунологических критериев: уровней Ig A, M, G в крови, которые анализировались еженедельно во время пребывания в Республиканской больнице спелеолечения. В целях оценки отдаленных результатов на протяжении года наблюдения проводился анализ функциональных параметров – 1 раз в месяц. В течение года учитывались число обострений заболеваний, обращений за медицинской помощью в поликлиники, кратность использования ингаляционных глюкокортикостероидов и β_2-агонистов короткого действия, что позволило в результате выработать дифференцированные схемы спелеотерапии для пациентов с БА и ХОБЛ.

Результаты и обсуждение. В ходе исследования выявлены достоверные различия в динамике основных функциональных параметров у пациентов с различными формами и уровнем контроля БА (рис. 1 и 2).

В процессе спелеотерапии статистически значимое увеличение основного показателя $ОФВ_1$ наблюдалось к концу 2-й недели лечения и составило 19,3 ± ± 8,4 %. В последующие дни достоверного увеличения показателя не отмечалось.

У пациентов с частично контролируемым течением аллергической БА наблюдалась более медленная динамика ФВД (рис. 2).

Динамика основных показателей ФВД отмечалась на всем протяжении лечения, однако статистически значимой стала на 2-й неделе спелеовоздействия, составив по уровню прироста $ОФВ_1$ 12,8 ± 4,2 %.

У пациентов со смешанной формой БА различий в динамике ФВД в зависимости от уровня контроля выявлено не было (рис. 3 и 4).

У пациентов с контролируемой БА смешанной формы статистически достоверный прирост показателя $ОФВ_1$ был отмечен на 3-й неделе лечения и составил 11,9 ± 4,4 %.

Частично контролируемая БА смешанной формы характеризовалась постепенным нарастанием значений основных функциональных показателей, которые достигли статистически значимого уровня на 3-й неделе спелеотерапии – 12,5 ± 3,8 % по показателю $ОФВ_1$.

Анализ результатов исследования некоторых показателей гуморального иммунитета также выявил существенную динамику последних, которая, однако, не имела корреляционных связей с уровнем контроля БА, но зависела от формы заболевания. Так, у пациентов с аллергической астмой наблюдалось значимое снижение уровней IgA, M, G к концу 2-й недели спелеолечения (рис. 5).

У пациентов с аллергической формой БА уровень IgA снизился на 0,7 ± 0,4, IgM – на 0,4 ± 0,2 и IgG – на 7,2 ± 2,1 г/л.

Смешанная форма БА также характеризовалась снижением уровней основных классов Ig, которое произошло к концу 3-й недели спелеолечения и составило соответственно 0,4 ± 0,02, 5,9 ± 0,4 и 7,1 ± ± 1,2 г/л (рис. 6).

Выявленная динамика уровня исследованных Ig трактовалась как показатель стабилизации защитных механизмов на более низком функциональном уровне в результате минимализации иммунного стимулирования.

В процессе спелеолечения у пациентов с ХОБЛ легкого течения функциональные и иммунологические изменения имели статистически достоверную динамику основных показателей на 3-й неделе лечения (рис. 7).

В процессе спелеотерапии статистически значимое увеличение основного показателя $ОФВ_1$ к концу 3-й недели лечения составило 16,7 ± 4,7 %. Рост показателя наблюдался и на 4-й неделе спелеовоздействия, однако не имел статистической достоверности по сравнению с уровнем, достигнутым ранее.

У пациентов с ХОБЛ среднетяжелого течения исследуемые функциональные и иммунологические параметры продемонстрировали статистически достоверную динамику на 4-й неделе спелеотерапии (рис. 8).

В данной группе пациентов достоверное увеличение показателя $ОФВ_1$ произошло к концу 4-й недели лечения и составило 19,7 ± 4,7 %.

Анализ результатов исследования показателей гуморального иммунитета не выявил существенных различий в уровне Ig в зависимости от тяжести ХОБЛ. Отмечено, что у пациентов с ХОБЛ как легкого, так и тяжелого течения значимое снижение уровней IgA, M, G также наблюдалось к концу 3-й недели спелеолечения (рис. 9).

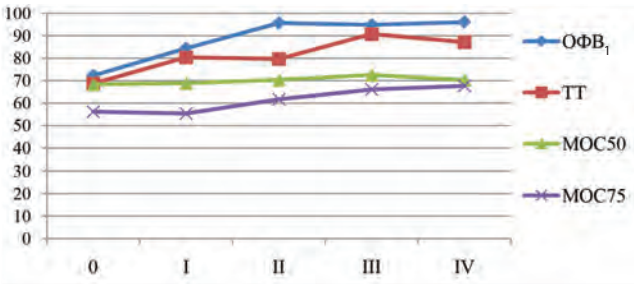

Рис. 1. Динамика параметров ФВД у пациентов с контролируемой БА аллергической формы

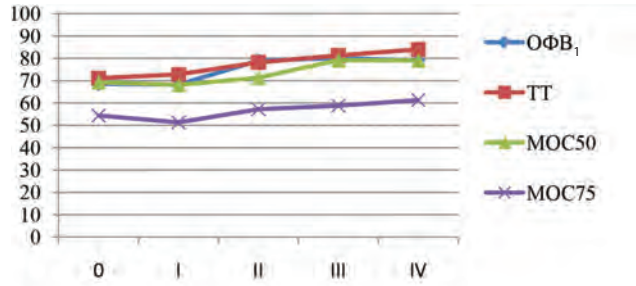

Рис. 2. Динамика параметров ФВД у пациентов с частично контролируемой БА аллергической формы

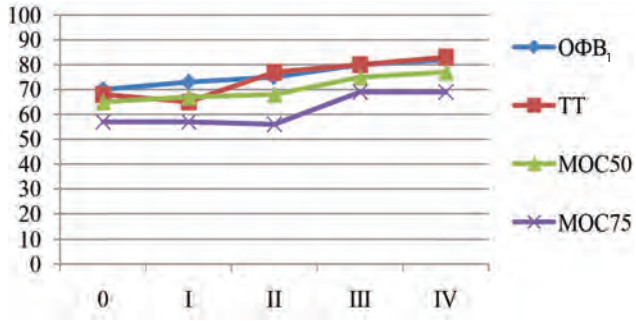

Рис. 3. Динамика параметров ФВД у пациентов с контролируемой БА смешанной формы

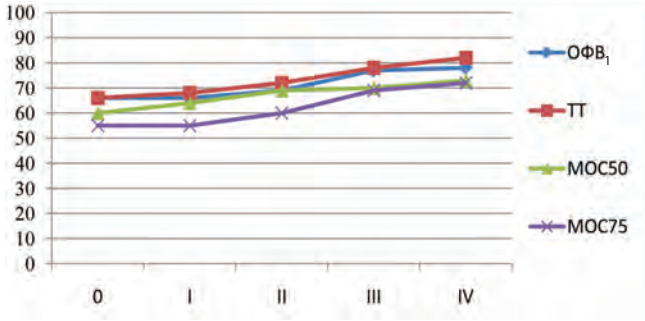

Рис. 4. Динамика параметров ФВД у пациентов с частично контролируемой БА смешанной формы

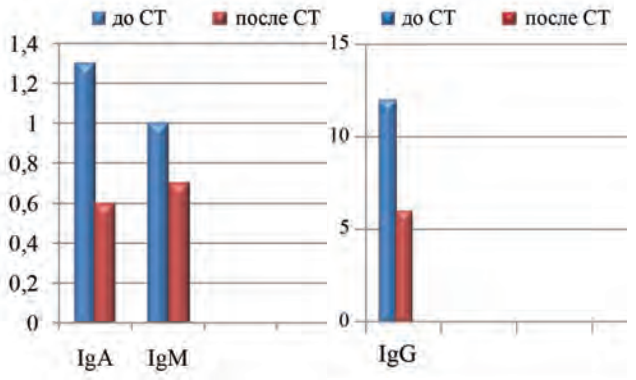

Рис. 5. Динамика уровня некоторых иммунологических показателей в процессе спелеотерапии у пациентов с аллергической БА

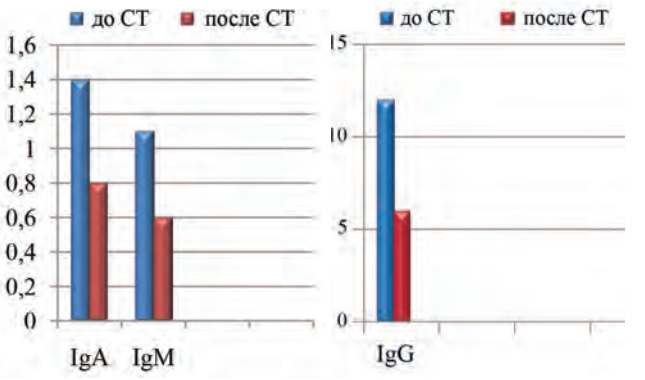

Рис. 6. Динамика уровня некоторых иммунологических показателей в процессе спелеотерапии у пациентов со смешанной БА

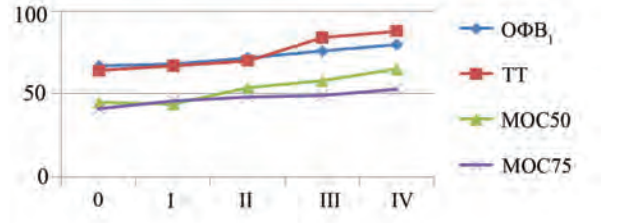

Рис. 7. Динамика параметров ФВД у пациентов с легкой ХОБЛ

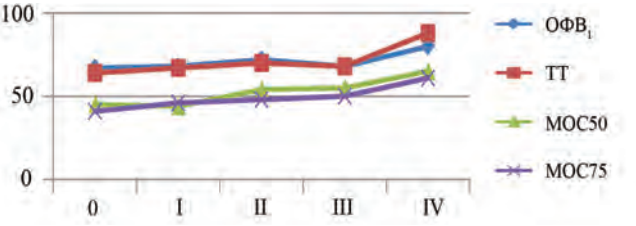

Рис. 8. Динамика параметров ФВД у пациентов со среднетяжелой ХОБЛ

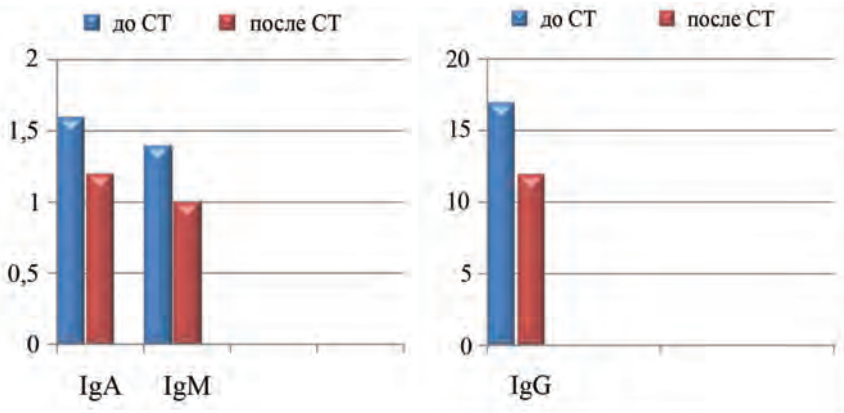

Рис. 9. Динамика уровня некоторых иммунологических показателей в процессе спелеотерапии у пациентов с ХОБЛ

Таблица 1

Дифференцированные режимы спелеотерапии у пациентов с БА и ХОБЛ

Нозология	Слой	1 сеанс, ч	Время суток	Курс, дни	Кратность, раз/год
БА аллергическая контролируемая	Галитовый	до 6	День	до 14	1
БА аллергическая частично контролируемая	Галитовый Сильвинитовый	до 12	День Ночь	до 14–18	1
БА смешанная контролируемая/ частично контролируемая	Галитовый	до 6	День	до 18	1
ХОБЛ легкая	Галитовый Сильвинитовый	до 12	День Ночь	до 18–28	1
ХОБЛ среднетяжелая	Сильвинитовый	до 12	Ночь	до 28	1

Таблица 2

Эффективность применения дифференцированных режимов спелеотерапии в отдаленных наблюдениях

Критерии	БА контролируемая	БА частично контролируемая	ХОБЛ легкая	ХОБЛ среднетяжелая
	до СТ/после СТ	до СТ/после СТ	до СТ/после СТ	до СТ/после СТ
Число госпитализаций/год	0,10/0	–	–	0,02/0
Посещ. п-ки/год	0,40/0,16	1,06/0,68	0,07/0,03	0,34/0,21
Число вызовов СП/год	–	0,22/0	–	–
КДБЛ (ингаляций/сут) 1–4 5–8 > 9	 0,42/0,37 0,24/0 –	 0,88/0,61 0,24/0,10 –	 – – –	 0,88/0,74 – –
ИГКС: постоянно эпизод.	 – 0,15/0,13	 0,9/0,67 0,19/0,34	 0,04/0 0,46/0,81	 0,76/0,22 0,23/0,80

Примечание. СП – скорая помощь, СТ – спелеотерапия, КДБЛ – короткодействующие бронходилататоры, ИГКС – ингаляционные глюкокортикостероиды.

Уровень IgA снизился на 0,3 ± 0,1, IgM – на 0,7 ± ± 0,4 и IgG – на 5,4 ± 1,3 г/л.

Таким образом, выявленные в процессе спелеотерапии в условиях Республиканской больницы спелеолечения тенденции и взаимосвязи позволили определить дифференцированные режимы спелеотерапии в зависимости от нозологической формы и тяжести течения БА и ХОБЛ (см. табл. 1).

Дифференцированные режимы учитывают длительность одного сеанса спелеотерапии и, соответственно, время суток, характеристику слоя (галитовый или сильвинитовый), необходимую кратность курсов спелеолечения. Эффективность дифференцированного подхода подтверждена в отдаленных наблюдениях и свидетельствует о достоверном снижении числа обострений как БА, так и ХОБЛ, а также снижении объема лекарственной нагрузки и посещений поликлиники (см. табл. 2).

Вывод. Применение методов и режимов спелеотерапии в комплексном лечении пациентов с хронической обструктивной бронхолегочной патологией должно предусматривать дифференцированный подход, учитывающий форму и уровень контроля заболевания для пациентов с бронхиальной астмой и степень тяжести болезни для пациентов с хронической обструктивной болезнью легких.

ЛИТЕРАТУРА

1. Барановская Т.В. Медицинская реабилитация больных бронхиальной астмой с использованием спелеотерапии // Настоящее и будущее последипломного образования: материалы Респ. научн.-практ. конф., посвящ. 75-летию БелМАПО, Минск, 19–20 окт. 2006 г.: в 2 т. Т. 2 / редкол.: В. И. Жарко [и др.]. Минск, 2006. С. 29–33.

2. Разумов А.Н., Корюкина И.П. Спелеоклиматотерапия: методики и эффективность применения // Использование спелеоклиматотерапии в педиатрии: материалы Рос. науч.-практ. школы-семинара. М. – Пермь, 2002. С. 28–32.

3. Sas D., Navrátil O., Sládek P. Monitoring of natural factors in Czech speleotherapeutic centres // Czechoslovak J. Physics. 1999; 49: 103–106.

4. Beamon S.P., Falkenbach A., Fainburg G. et al. Speleotherapy for asthma // Cochrane Database Syst. Rev. 2001; 2: 111–118.

Поступила 28.05.2016

УДК 616.72-002.77:616.12-007]-036.12:616.126-089

НЕСПЕЦИФИЧЕСКОЕ СИСТЕМНОЕ ВОСПАЛЕНИЕ У ПАЦИЕНТОВ С ХРОНИЧЕСКОЙ РЕВМАТИЧЕСКОЙ БОЛЕЗНЬЮ СЕРДЦА В ТЕЧЕНИЕ ГОДА ПОСЛЕ ОПЕРАЦИИ НА КЛАПАНАХ СЕРДЦА

Н.А. Казаева, С.Г. Суджаева, Т.С. Губич, О.А. Суджаева*

Республиканский научно-практический центр «Кардиология», Минск

*Контактная информация. Тел.: +375 29 683 00 42, e-mail: sujayeva@bk.ru

NON-SPECIFIC SYSTEMIC INFLAMMATION IN PATIENTS WITH CHRONIC RHEUMATIC HEART DISEASE WITHIN ONE YEAR AFTER VALVE SURGERY

N.A. Kazaeva, S.G. Sudzhaeva, T.S. Gubich, O.A. Sudzhaeva*

Republican Scientific and Practical Center «Cardiology», Minsk

*Corresponding author. Tel.: +375 29 683 00 42, e-mail: sujayeva@bk.ru

Обследовано 50 пациентов с диагнозом хронической ревматической болезни сердца, госпитализированных для выполнения хирургической коррекции приобретенных пороков сердца. Определяли количественное содержание С-реактивного белка в сыворотке крови, общий анализ крови (скорость оседания эритроцитов, содержание форменных элементов крови). Обследование пациентов выполнялось до операции – I тест, на 7-е сутки после операции – II тест, на 14-е сутки после операции – III тест, через 3, 6 и 12 месяцев после операции – IV, V и VI тесты соответственно. Установлено, что более чем у трети пациентов с хронической ревматической болезнью сердца (38 %) перед операцией на клапанах сердца имеют место неспецифические лабораторные признаки системного воспаления. В раннем послеоперационном периоде у большинства (93,9 %) пациентов определяются признаки умеренно выраженного воспалительного процесса, что проявляется увеличением скорости оседания эритроцитов до 33,9 ± 1,9 мм/ч на 7-е сутки и до 36,25 ± 1,81 мм/ч на 14-е сутки после операции соответственно. Примерно у трети пациентов операционный стресс приводит к истощению компенсаторных механизмов кроветворения и формированию вторичной иммунной недостаточности, что проявляется уменьшением количества иммунокомпетентных клеток (лимфоцитов и моноцитов) в периферической крови уже на 14-е сутки после операции хирургической коррекции клапанных пороков сердца. Через 3 месяца после выполненной операции более чем у 20 % пациентов с хронической ревматической болезнью сердца имеются признаки хронического воспаления, сохраняющиеся на протяжении как минимум года.

КЛЮЧЕВЫЕ СЛОВА

хроническая ревматическая болезнь сердца, операция, клапаны сердца, неспецифическое системное воспаление, послеоперационный период

A total of 50 patients diagnosed with chronic rheumatic heart disease eligible for a scheduled surgical repair of acquired heart defects were examined. C-reactive protein assay and CBC (including erythrocyte sedimentation rate and formed element count) were defined. The examination of patients was performed prior to surgery (test I), on day 7 after surgery (test II), on day 14 after surgery (test III), at 3, 6 and 12 months after surgery (tests IV, V and VI) respectively. It was established that more than third of chronic rheumatic heart disease subjects (38 %) showed non-specific laboratory findings suggesting of systemic inflammation before the surgery. In early postoperative period majority of patients (93,9 %) show signs of a moderate-to severe inflammatory process evident from increased erythrocyte sedimentation rat to 33,9 ± 1,9 mm/h on day 7 and to 36,25 ± 1,81 mm/h on day 14 after surgery respectively. Approximately one third of individuals with chronic rheumatic heart disease experienced operation stress resulting in exhausted hematopoiesis compensatory mechanisms and secondary immune deficiency manifesting itself in peripheral blood decreased immunocompetent cells (lymphocytes and monocytes) on day 14 after heart valve surgery. Three months post operation more than 20 % of patients with chronic rheumatic heart disease show signs of chronic failure persisting during a minimum of 12 months.

KEYWORDS

chronic rheumatic heart disease, surgery, heart valves, non-specific systemic inflammation, post-operation period

Введение. Согласно данным Всемирной организации здравоохранения, ревматические пороки сердца до сих пор являются основной причиной инвалидности лиц молодого возраста. Среди подростков, перенесших первую атаку острой ревматической лихорадки (ОРЛ), пороки сердца диагностируются в 1/3 случаев [1]. В нашей стране на сегодняшний день ОРЛ составляет 6,9 % в структуре болезней системы кро-

вообращения (БСК) у детей. В Республике Беларусь в 2015 г. заболеваемость ОРЛ составила 5 случаев на 100 000 детского населения. Кроме того, в 2015 г. отмечен рост заболеваемости ОРЛ среди лиц старше 20 лет. По данным Б.С. Белова, у лиц, перенесших первую атаку ОРЛ в возрасте 23 лет и старше, сочетанные и комбинированные пороки клапанов сердца формируются в 90 % случаев [1]. В нашей стране хроническая ревматическая болезнь сердца (ХРБС) является ведущей причиной формирования приобретенных пороков сердца. Так, из 380 операций по коррекции приобретенных пороков сердца, выполненных в РНПЦ «Кардиология» в 2015 г., более 200 были выполнены пациентам с ХРБС.

Несмотря на развитие кардиохирургии в последние десятилетия, разработку новых моделей искусственных клапанов сердца и хирургической техники их имплантации, развитие методик защиты миокарда и искусственного кровообращения, анестезиологического обеспечения проблема послеоперационного ведения пациентов с клапанными пороками по-прежнему остается актуальной. Данную категорию пациентов отличает довольно высокая частота развития послеоперационных осложнений (до 7 %), относительно высокая послеоперационная летальность (до 4,5 %), высокая частота встречаемости тяжелой сердечной недостаточности (более 50 % пациентов) [2, 3].

В настоящее время недостаточно изучены вопросы патогенеза воспалительной реакции, развивающейся у пациентов с хронической ревматической болезнью сердца после операции на клапанах сердца [4].

С одной стороны, у пациентов с ХРБС снижение общей реактивности организма, а также ослабление тканевых барьеров в ответ на операционный стресс после протезирования клапанов сердца может сопровождаться проникновением в кровь β-гемолитического стрептококка и/или его антигенов и при отсутствии специфической противовоспалительной терапии приводить к развитию повторной ревматической лихорадки. Сегодня в медицинской литературе практически отсутствуют данные о патофизиологических изменениях, связанных с персистированием стрептококковой инфекции, развивающихся у пациентов с ХРБС после хирургического лечения приобретенных пороков сердца.

С другой стороны, большой объем кардиохирургического вмешательства обусловливает развитие неспецифической воспалительной реакции в ответ на операционную травму и использование искусственного кровообращения (ИК). Развивающаяся во время операций с ИК неспецифическая воспалительная реакция обусловлена воздействием на организм целого комплекса повреждающих факторов. Действие этих факторов приводит к возникновению гипоксии и ацидоза, ослаблению тканевых барьеров, нарушению свертывающей системы крови, синтезу широкого спектра цитокинов и белков острой фазы. На сегодняшний день доказано, что тяжесть проявлений воспалительной реакции определяет течение послеоперационного периода, ближайший и отдаленный прогноз у пациентов, оперированных в условиях ИК.

Цель работы – изучение динамики воспалительного процесса (специфического и неспецифического) в течение года после операции коррекции приобретенных пороков сердца у пациентов с ХРБС.

Материал и методы. Обследовано 50 пациентов, госпитализированных в РНПЦ «Кардиология» в 2014–2015 гг. с диагнозом ХРБС для выполнения планового хирургического вмешательства – хирургической коррекции приобретенных пороков сердца. Средний возраст пациентов, включенных в исследование, – 52,7 ± 1,29 года, из них мужчин – 15 (30 %), средний возраст – 53,2 ± 1,56 года, женщин – 35 (70 %), средний возраст – 50,8 ± 2,22 года. Изолированное поражение аортального клапана (стеноз и недостаточность) выявлено у 20 (40 %) из 50 пациентов, сочетанный порок митрального клапана (стеноз и недостаточность) – у 18 (36 %), комбинированный митрально-аортальный порок сердца – у 10 (20 %) пациентов.

Забор венозной крови для лабораторных исследований биохимических показателей воспаления осуществлялся из кубитальной вены иглой для венепункции 21G в вакуумные пробирки системы «вакутайнер» (Becton Dickinson, США), покрытые изнутри слоем кремнезема для ускорения свертывания крови. Количественное определение С-реактивного белка (СРБ) выполнялось в сыворотке крови на автоматическом биохимическом анализаторе Olympus – AU 400 (Olympus, Япония) латексным методом.

Забор венозной крови для лабораторных исследований показателей общего анализа крови (скорость оседания эритроцитов, содержание форменных элементов крови) осуществлялся из кубитальной вены иглой для венепункции 21G в вакуумные пробирки системы «вакутайнер» (Becton Dickinson, США), содержащие К2 ЭДТА. Подсчет количества форменных элементов крови и определение скорости оседания эритроцитов производились в цельной венозной крови с К2 ЭДТА на автоматическом гематологическом анализаторе Micros-60 (ABX, Франция).

Обследование пациентов выполнялось до операции – I тест, на 7-е сутки после операции – II тест, на 14-е сутки после операции – III тест, через 3, 6 и 12 месяцев после операции – IV, V и VI тесты соответственно.

Результаты и обсуждение. *Скорость оседания эритроцитов (СОЭ).* Норма: у мужчин – 1–10 мм/ч, женщин – 2–14 мм/ч.

До операции среднее по группе значение СОЭ незначительно превышало норму и составило 13,86 ± ± 1,26 мм/ч (табл. 1). Разброс показателя – от 2 до 37 мм/ч.

При этом следует отметить, что у 19 (38 %) из 50 включенных в исследование пациентов было отмечено увеличение СОЭ. Как известно, повышение СОЭ отражает абсолютное или относительное преоб-

Таблица 1

Динамика показателя СОЭ у пациентов с ХРБС на протяжении 12 месяцев после операции на клапанах сердца

Показатель	Сроки обследования					
	До операции	7-е сутки после операции	14-е сутки после операции	3 месяца после операции	6 месяцев после операции	12 месяцев после операции
M	13,86	33,90*	36,25*	16,79**	14,0**	14,31**
n	50	49	35	39	36	14
m	1,26	1,9	1,81	1,44	1,81	2,56
Число пациентов с нормальным значением СОЭ	31 (62 %)	4 (8,2 %)	0	17 (43,6 %)	23 (63,9 %)	7 (50 %)
Число пациентов со значением СОЭ выше нормы	19 (38 %)	45 (91,8 %)	35 (100 %)	22 (56,4 %)	13 (36,1 %)	7 (50 %)

*Достоверность различий показателя с дооперационным уровнем ($p < 0,001$).

**Достоверность различий показателя с уровнем, зарегистрированным на 7-е сутки после операции ($p < 0,001$).

ладание в плазме глобулинов над альбуминами, что происходит вследствие усиленной продукции «белков острой фазы» при воспалении или же опережающей потери альбуминов при экссудации. Увеличение СОЭ является неспецифическим лабораторным признаком воспаления.

Таким образом, более чем у трети пациентов с ХРБС перед операцией на клапанах сердца имели место неспецифические лабораторные признаки воспаления.

На 7-е сутки после операции обследовано 49 пациентов (1 пациентка умерла во время операции от кровотечения). Из 49 пациентов увеличение СОЭ выявлено у 45 (91,8 %). Среднее по группе значение показателя достоверно превышало дооперационный уровень и составило 33,9 ± 1,9 мм/ч (табл. 1, $p < 0,05$).

На 14-е сутки после операции обследовано 35 пациентов (остальные 14 пациентов с неосложненным течением раннего послеоперационного периода были выписаны на 10–13-е сутки после хирургической коррекции клапанных пороков в Республиканскую больницу медицинской реабилитации). Из 35 обследованных пациентов увеличение СОЭ выявлено в 100 % случаев. Среднее по группе значение показателя так же, как и на 7-сутки после операции, достоверно превышало дооперационный уровень и составило 36,25 ± ± 1,81 мм/ч (табл. 2, $p < 0,001$).

Итак, в раннем послеоперационном периоде (на 7-е и 14-е сутки после операции) у большинства пациентов с ХРБС имели место признаки умеренно выраженного воспалительного процесса.

Таблица 2

Динамика показателя СОЭ у пациентов с повторной ревматической лихорадкой на протяжении 12 месяцев после операции на клапанах сердца

Показатель	Сроки обследования					
	До операции	7-е сутки после операции	14-е сутки после операции	3 месяца после операции	6 месяцев после операции	12 месяцев после операции
M	14,84	33,31*	36,63*	16,92**	12,56**	12,0**
n	9	8	8	8	8	3
m	2,51	3,47	4,28	2,31	1,56	1,64

*Достоверность различий показателя с дооперационным уровнем ($p < 0,001$).

**Достоверность различий показателя с уровнем, зарегистрированным на 7-е сутки после операции ($p < 0,001$).

Через 3, 6 и 12 месяцев после операции средние значения СОЭ, так же, как и до операции, несколько превышали норму (см. табл. 1), но были достоверно ниже, чем в раннем послеоперационном периоде, и достоверно не отличались от дооперационного уровня (см. табл. 1, $p < 0,001$ и $p > 0,05$ соответственно). При этом повышенным показатель СОЭ оказался у 22 (56,4 %) из 39 обследованных через 3 месяца, 13 (36,1 %) из 36 обследованных через 6 месяцев и 7 (50 %) из 14 обследованных через год после хирургической коррекции клапанов сердца. Следует особо отметить, что у 8 (36,4 % из 22 пациентов с повышенным через 3 месяца после операции СОЭ и 20,5 % из всех 39 обследованных через 3 месяца) до операции этот показатель был нормальным.

Известно, что в основе хронического воспаления лежит незавершенный фагоцитоз [5]. Ряд микробов поглощаются макрофагами, но, оказавшись в их фагосомах, не погибают и получают возможность длительно персистировать и размножаться внутри клетки. Макрофаги, содержащие микробы, переходят в активное состояние и начинают секретировать медиаторы воспаления. Через 2–3 суток вокруг таких макрофагов, как вокруг эпицентров, начинают скапливаться попавшие с кровью моноциты и формируется то, что принято называть гранулемой, или мононуклеарным инфильтратом. Макрофаги в очаге воспаления имеют жизненный цикл, который исчисляется неделями, месяцами и даже годами, что определяет длительность течения хронического воспаления.

Таким образом, примерно у трети пациентов с ХРБС после операции на клапанах сердца, несмотря на профилактический курс антибактериальной терапии в раннем послеоперационном периоде, развивается острое системное воспаление.

С учетом выявленных закономерностей нами была проанализирована динамика показателя в подгруппах пациентов с повторной ревматической лихорадкой (n = 9) и неспецифической воспалительной реакцией в раннем послеоперационном периоде (n = 18).

Динамика СОЭ в течение года после операции на клапанах сердца у пациентов с повторной ревматической лихорадкой достоверно не отличалась от аналогичного показателя, зарегистрированного по группе в целом (см. табл. 1 и 2).

Аналогичной оказалась динамика показателя в подгруппе пациентов с неспецифической воспалительной реакцией в раннем послеоперационном периоде после хирургической коррекции клапанных пороков (табл. 3).

Лейкоциты периферической крови. Норма – 4–8,8×10^9/л.

В исходном состоянии количество лейкоцитов у включенных в исследование пациентов не превышало нормальных значений и составило в среднем по группе 6,32 ± 0,27×10^9/л (табл. 4). Разброс показателя – от 3,4 до 14,5×10^9/л.

Лейкоцитоз диагностирован у 5 (10 %) из 50 обследованных, лейкопения выявлена у 3 (6,1 %) из 49.

В раннем послеоперационном периоде в целом по группе выявлен умеренный лейкоцитоз (9,69 ± ± 0,42×10^9/л, $p < 0,001$) у 26 (53,1 %) из 49 пациентов. Как известно, лейкоциты служат основными эффекторами воспаления. Внеклеточные бактерицидный и литический эффекты лейкоцитарных продуктов и фагоцитоз играют решающую роль в борьбе с повреждающим фактором. Оказывая влияние на клетки, сосуды и кровь, компоненты лейкоцитов выступают как важные медиаторы и модуляторы воспаления, в том числе повреждения собственных тканей.

Реакция системы крови при воспалении включает эмиграцию лейкоцитов в очаг и ряд изменений со стороны кроветворной ткани и периферической крови:

1) первоначальное преходящее снижение числа циркулирующих лейкоцитов в крови (транзиторная лейкопения), обусловленное их эмиграцией в очаг воспаления;

Таблица 3

Динамика показателя СОЭ у пациентов с неспецифической воспалительной реакцией на протяжении 12 месяцев после операции на клапанах сердца

Показатель	Сроки обследования					
	До операции	7-е сутки после операции	14-е сутки после операции	3 месяца после операции	6 месяцев после операции	12 месяцев после операции
M	13,18	30,41*	34,80*	17,0**	11,69**	14,0**
n	18	18	15	17	16	8
m	1,68	2,55	2,46	2,24	2,30	2,65

*Достоверность различий показателя с дооперационным уровнем ($p < 0,001$).

**Достоверность различий показателя с уровнем, зарегистрированным на 7-е сутки после операции ($p < 0,001$).

Таблица 4

Динамика количества лейкоцитов у пациентов с ХРБС на протяжении 12 месяцев после операции на клапанах сердца

Показатель	Сроки обследования					
	До операции	7-е сутки после операции	14-е сутки после операции	3 месяца после операции	6 месяцев после операции	12 месяцев после операции
M	6,32	9,69*	9,45*	5,73**	6,07**	5,68**
n	50	49	35	39	36	14
m	0,27	0,42	0,59	0,21	0,22	0,26
Число пациентов с нормальным значением показателя	45 (90 %)	23 (46,9 %)	17 (48,6 %)	36 (92,7 %)	35 (97,2 %)	14 (10 %)
Число пациентов со значением показателя выше нормы	5 (10 %)	26 (53,1 %)	18 (51,4 %)	3 (7,7 %)	1 (2,8 %)	

*Достоверность различий показателя с дооперационным уровнем ($p < 0,001$).
**Достоверность различий показателя с уровнем, зарегистрированным на 7-е сутки после операции ($p < 0,001$).

2) уменьшение количества зрелых и незрелых гранулоцитов и моноцитов в костном мозге в результате усиленного их вымывания в кровь, которое обеспечивается рефлекторным и, возможно, гуморальным ускорением кровотока в костном мозге. Когда количество лейкоцитов в крови, поступивших из костного мозга, превышает число эмигрировавших в очаг воспаления, развивается лейкоцитоз;

3) последующее восстановление числа незрелых и зрелых гранулоцитов и моноцитов в костном мозге, свидетельствующее об активации кроветворения;

4) увеличение (против исходного) общего количества миелокариоцитов и клеток отдельных ростков кроветворения в костном мозге, что указывает на развитие его гиперплазии. Все это обеспечивает развитие и продолжительное поддержание лейкоцитарной инфильтрации очага воспаления;

5) развитие нейтрофильного лейкоцитоза со сдвигом влево (увеличение количества более молодых, палочкоядерных и юных нейтрофилов в результате вовлечения костно-мозгового резерва и активации кроветворения) при остром воспалении, моноцитоза и лимфоцитоза – при хроническом воспалении [5].

Установленная динамика количества лейкоцитов периферической крови свидетельствует о развитии острого (или обострении хронического) воспалительного процесса у пациентов с ХРБС в раннем периоде после операции на клапанах сердца.

К моменту выписки из хирургического стационара не выявлено достоверной динамики показателя среднего количества лейкоцитов ($9,69 \pm 0,42 \times 10^9$/л при 2-м обследовании и $9,45 \pm 0,59 \times 10^9$/л при 3-м тестировании соответственно, $p > 0,05$). Количество пациентов с лейкоцитозом также существенно не изменилось (53,1 и 51,4 % при 2-м и 3-м тестах соответственно, $p > 0,05$).

Через 3 месяца после проведенной операции на клапанах сердца у пациентов с ХРБС установлено достоверное снижение уровня лейкоцитов периферической крови в сравнении с послеоперационным (табл. 4, $p < 0,001$). При этом лейкоцитоз выявлен лишь у 3 (7,7 %) из 39 обследованных.

Указанная динамика показателя, наряду с сохраняющимся увеличением СОЭ, а также, как будет показано ниже, лимфоцитозом, свидетельствует о купировании острого и формировании хронического воспаления у пациентов с ХРБС через 3 месяца после операции хирургической коррекции клапанных пороков сердца.

Через 6 месяцев после операции лейкоцитоз выявлен лишь у 1 (2,8 %) из 36 пациентов. Среднее по группе значение достоверно не отличалось от дооперационного и было достоверно ниже зарегистрированного в раннем послеоперационном периоде (при 2-м и 3-м тестах, табл. 4).

Через год после хирургической коррекции клапанных пороков лейкоцитоз не выявлен ни у одного из 14 обследованных пациентов. Среднее по группе значение, так же, как и через полгода после операции, достоверно не отличалось от дооперационного уровня и было достоверно ниже зарегистрированного в раннем послеоперационном периоде (при 2-м и 3-м тестах, табл. 4).

В подгруппах пациентов с повторной ревматической лихорадкой и неспецифической воспалительной реакцией в раннем послеоперационном периоде

динамика количества лейкоцитов в течение года после операции на клапанах сердца достоверно не отличалась от аналогичного показателя, зарегистрированного по группе в целом (табл. 5 и 6).

Лимфоциты периферической крови. Норма – 19–31 %.

В целом по группе перед операцией на клапанах сердца среднее значение лимфоцитов у пациентов с ХРБС не превышало нормальных значений и составило 34,88 ± 0,99 % (табл. 7). Разброс содержания лимфоцитов крови – 18–45 %.

У 18 (36 %) из 50 пациентов выявлен абсолютный лимфоцитоз, у одного в дооперационном периоде – лимфопения.

На 7-е сутки после операции в целом по группе установлено достоверное снижение показателя с 34,88 ± 0,99 до 21,89 ± 0,96 % (табл. 7, $p < 0,001$). На 14-е сутки среднее количество лимфоцитов в группе составило 23,43 ± 1,11 %, что также высокодостоверно ниже дооперационного уровня (табл. 7, $p < 0,001$). При этом более чем у трети пациентов в раннем послеоперационном периоде развивалась относительная лимфопения – снижение количества лимфоцитов за счет увеличения в периферической крови незрелых форм гранулоцитов (у 18 (36,7 %) из 49 пациентов на 7-е сутки и 13 (37,1 %) из 35 пациентов на 14-е сутки соответственно).

Данная динамика показателя свидетельствует, с одной стороны, об активизации лейкопоэза в ответ на острую воспалительную реакцию, с другой – об истощении компенсаторного лимфопоэза и формировании иммунодепрессии у пациентов с ХРБС в раннем периоде после операции хирургической коррекции клапанных пороков сердца.

В последующем (через 3, 6 и 12 месяцев после операции) содержание лимфоцитов крови в целом по группе было достоверно выше, чем на 7-е сутки после операции (табл. 7, $p < 0,01$) и не отличалось от показателя дооперационного уровня (табл. 7, $p > 0,05$). При этом через 3 месяца после операции у 8 (20,5 %) из 39 пациентов, через 6 месяцев – у 9 (25 %) из 36 пациентов и через год – у 3 (21,4 %) из 14 пациентов количество лимфоцитов не только вернулось к норме, но и превысило ее – вновь развился лимфоцитоз, что, как указывалось ранее, характеризует наличие хронического воспалительного процесса у пациентов с ХРБС в отдаленном послеоперационном периоде (табл. 8, $p > 0,05$).

В подгруппе пациентов с повторной ревматической лихорадкой среднее количество лимфоцитов достоверно не отличалось от аналогичного показателя, зарегистрированного в целом по группе как в дооперационном периоде, так и на 7-е сутки после операции.

Вместе с тем следует особо отметить, что на 14-е сутки после операции количество лимфоцитов в подгруппе пациентов с повторной ревматической лихорадкой было не только достоверно ниже дооперационного уровня, но и достоверно ниже среднего значения, зарегистрированного на 14-е сутки по группе в целом (табл. 8, $p < 0,001$). Данная динамика показателя свидетельствует о большем истоще-

Таблица 5

Динамика количества лейкоцитов у пациентов с повторной ревматической лихорадкой на протяжении 12 месяцев после операции на клапанах сердца

Показатель	Сроки обследования					
	До операции	7-е сутки после операции	14-е сутки после операции	3 месяца после операции	6 месяцев после операции	12 месяцев после операции
M	5,70 ± 0,33	10,0 ± 0,99	11,21 ± 1,25	5,62 ± 0,34	5,62 ± 0,31	5,93 ± 0,37
n	9	8	8	8	8	3

Таблица 6

Динамика количества лейкоцитов у пациентов с неспецифической воспалительной реакцией на протяжении 12 месяцев после операции на клапанах сердца

Показатель	Сроки обследования					
	До операции	7-е сутки после операции	14-е сутки после операции	3 месяца после операции	6 месяцев после операции	12 месяцев после операции
M ± m	6,93 ± 0,52	11,09 ± 0,52	10,21 ± 0,76	6,28 ± 0,36	7,04 ± 0,39	5,8 ± 0,40
n	18	18	15	17	16	8

Таблица 7

Динамика количества лимфоцитов у пациентов с ХРБС на протяжении 12 месяцев после операции на клапанах сердца

Показатель	Сроки обследования					
	До операции	7-е сутки после операции	14-е сутки после операции	3 месяца после операции	6 месяцев после операции	12 месяцев после операции
M	34,88	21,89*	23,43*	33,14**	34,34**	36,38**
n	50	49	35	39	36	14
m	0,99	0,96	1,11	1,05	1,22	1,7
Норма	31 (62 %)	29 (59,2 %)	22 (62,9 %)	31 (79,5 %)	20 (72,2 %)	11 (78,6 %)
Число пациентов со значением показателя выше нормы	18 (36 %)	2 (4,1 %)	0	8 (20,5 %)	9 (25 %)	3 (21,4 %)
Число пациентов со значением показателя ниже нормы	1 (2 %)	18 (36,7 %)	13 (37,1%)	0	1 (2,8 %)	

*Достоверность различий показателя с дооперационным уровнем ($p < 0,001$).
**Достоверность различий показателя с уровнем, зарегистрированным на 7-е сутки после операции ($p < 0,01$).

Таблица 8

Динамика количества лимфоцитов у пациентов с повторной ревматической лихорадкой на протяжении 12 месяцев после операции на клапанах сердца

Показатель	Сроки обследования					
	До операции	7-е сутки после операции	14-е сутки после операции	3 месяца после операции	6 месяцев после операции	12 месяцев после операции
M	35,2	22,88*	16,0*,***	34,24	36,43	30,67
n	9	8	8	8	8	3
m	2,05	3,48	1,57	2,19	2,45	0,67
Число пациентов со значением показателя выше нормы	1 (7,7 %)	1 (7,7 %)	0	6 (54,6 %)	5 (55,6 %)	2 (66,7 %)

*Достоверность различий показателя с дооперационным уровнем ($p < 0,001$).
**Достоверность различий показателя с уровнем, зарегистрированным на 7-е сутки после операции ($p < 0,01$).
***Достоверность различий показателя в подгруппе в сравнении с показателем по группе в целом.

нии компенсаторного лимфопоэза и формировании более выраженной иммунодепрессии у пациентов с повторной ревматической лихорадкой уже в раннем послеоперационном периоде.

В последующем (через 3, 6 и 12 месяцев после операции) не выявлено достоверных различий показателя в анализируемой подгруппе в сравнении со средним значением показателя по группе в целом (табл. 7 и 8, $p > 0,05$). Однако следует отметить, что в подгруппе пациентов с повторной ревматической лихорадкой значительно чаще, чем по группе в целом, выявлялся лимфоцитоз, характеризующий, как указывалось ранее, формирование хронического воспаления.

В группе пациентов с неспецифической воспалительной реакцией не выявлено достоверных разли-

чий показателя в сравнении со средним по группе на протяжении всего периода наблюдения (табл. 9).

Моноциты периферической крови. Норма 3–11 %.

При 1-м обследовании (до операции) ни у одного из обследованных пациентов количество моноцитов не выходило за рамки нормальных значений. Среднее по группе значение – 6,50 ± 0,31 % (табл. 10). Разброс показателя составил от 1 до 16 %.

Как известно, моноциты – самые крупные клетки среди лейкоцитов (система фагоцитирующих макрофагов). Моноциты образуются в костном мозге из монобластов. После выхода из костного мозга циркулируют в крови от 36 до 104 ч, а затем мигрируют в ткани. В тканях моноциты дифференцируются в органо- и тканеспецифичные макрофаги. В очаге воспаления активированные макрофаги фагоцитируют микробы, денатурированный белок, комплексы антиген-антитело, а также погибшие лейкоциты, поврежденные клетки воспаленной ткани, очищая очаг воспаления и подготавливая его для регенерации. Секретируют более 100 биологически активных веществ: ангиотензин-конвертазу, которая инактивирует брадикинин, превращает ангиотензин-I в ангиотензин-II, синтезируют PGE_2, а также тромбоксаны и лейкотриены (LT). Поскольку PGE_2 препятствует высвобождению клеточных медиаторов воспаления и подавляет агрегацию тромбоцитов, макрофаги, помимо провоспалительной, обладают и противовоспалительной функцией. Макрофаги синтезируют различные компоненты комплемента, обладают свертывающей и фибринолитической активностью.

На 7-е сутки после операции на клапанах сердца в целом по группе выявлен достоверный рост количества моноцитов периферической крови с 6,50 ± ± 0,31 % при 1-м до 8,08 ± 0,39 % при 2-м обследовании (табл. 10, $p < 0,01$), у 7 (14,3 %) пациентов установлен моноцитоз.

Указанная динамика количества моноцитов периферической крови у пациентов с ХРБС на 7-е сутки после операции на клапанах сердца, наряду с увеличением СОЭ и развитием лейкоцитоза, свидетельствует об активации фагоцитоза. Активация фагоцитоза, в свою очередь, может являться косвенным признаком наличия инфекции в организме.

Однако уже к моменту выписки из хирургического стационара (в среднем на 14-е сутки после операции на клапанах сердца) среднее количество моноцитов было достоверно ниже, чем после операции, и достоверно не отличалось от дооперационного уровня. Указанная динамика количества моноцитов в периферической крови сохранялась через 3, 6 и 12 месяцев после операции на клапанах сердца.

Выявленная реакция показателя может свидетельствовать об истощении компенсаторного костномозгового кроветворения и развитии вторичной иммунной недостаточности у пациентов с ХРБС уже в раннем послеоперационном периоде (на 14-е сутки) после операции хирургической коррекции клапанных пороков сердца. *Можно предположить*, что операционный стресс приводит к истощению компенсаторных механизмов кроветворения у пациентов с ХРБС: существующая годами гиперплазия костного мозга, направленная на продолжительное поддержание лейкоцитарной инфильтрации в очаге хронического воспаления, сменяется гипоплазией, что проявляется (как было показано выше) уменьшением количества иммунокомпетентных клеток (лимфоцитов и моноцитов) в периферической крови.

Динамика количества моноцитов в периферической крови на протяжении года после операции у пациентов с повторной ревматической лихорадкой достоверно не отличалась от среднего значения аналогичного показателя в среднем по группе (табл. 11).

В группе пациентов с неспецифической воспалительной реакцией выявлена отличная от пациентов с повторной ревматической лихорадкой динамика показателя среднего количества моноцитов периферической крови. Так, на 7-е сутки после операции

Таблица 9

Динамика количества лимфоцитов у пациентов с неспецифической воспалительной реакцией на протяжении 12 месяцев после операции на клапанах сердца

Показатель	Сроки обследования					
	До операции	7-е сутки после операции	14-е сутки после операции	3 месяца после операции	6 месяцев после операции	12 месяцев после операции
M	34,42	21,07*	21,13*	31,79**	31,84**	36,25**
n	18	18	15	17	16	8
m	1,70	1,55	1,62	1,85	1,53	2,31

*Достоверность различий показателя с дооперационным уровнем ($p < 0,001$).

**Достоверность различий показателя с уровнем, зарегистрированным на 7-е сутки после операции ($p < 0,01$).

Таблица 10

Динамика количества моноцитов у пациентов с ХРБС на протяжении 12 месяцев после операции на клапанах сердца

Показатель	Сроки обследования					
	До операции	7-е сутки после операции	14-е сутки после операции	3 месяца после операции	6 месяцев после операции	12 месяцев после операции
M	6,50	8,08*	6,84**	5,87**	6,37**	6,23**
n	50	49	35	39	36	14
m	0,31	0,39	0,52	0,34	0,31	0,52
Число пациентов с нормальным значением показателя	50 (100 %)	42 (85,7 %)	30 (85,7 %)	38 (97,4 %)	36 (100 %)	14 (100 %)
Число пациентов со значением показателя выше нормы	0	7 (14,3 %)	4 (11,4 %)	0	0	0
Число пациентов со значением показателя ниже нормы	0	0	1 (2,9 %)	1 (2,6 %)	0	0

*Достоверность различий показателя с дооперационным уровнем ($p < 0,001$).
**Достоверность различий показателя с уровнем, зарегистрированным на 7-е сутки после операции ($p < 0,05$).

Таблица 11

Динамика количества моноцитов у пациентов с повторной ревматической лихорадкой на протяжении 12 месяцев после операции на клапанах сердца

Показатель	Сроки обследования					
	До операции	7-е сутки после операции	14-е сутки после операции	3 месяца после операции	6 месяцев после операции	12 месяцев после операции
M	6,54	9,00*	6,27**	6,50**	6,53**	6,67**
n	9	8	8	8	8	3
m	0,63	0,76	0,76	0,62	0,73	1,20

*Достоверность различий показателя с дооперационным уровнем ($p < 0,001$).
**Достоверность различий показателя с уровнем, зарегистрированным на 7-е сутки после операции ($p < 0,05$).

в данной подгруппе, в отличие как от группы в целом, так и от подгруппы пациентов с повторной ревматической лихорадкой, не выявлено достоверного роста показателя в сравнении с дооперационным уровнем, что свидетельствует о меньшей активации фагоцитоза в условиях отсутствия бактериемии у данной категории лиц (табл. 12, $p > 0,05$).

Через 3 месяца после операции количество моноцитов в подгруппе пациентов с неспецифической воспалительной реакцией достоверно не отличалось от аналогичного показателя в среднем по группе и от подгруппы пациентов с повторной ревматической лихорадкой, хотя и было достоверно ниже уровня, зарегистрированного на 7-е сутки после операции (табл. 12, $p < 0,05$). Через 6 и 12 месяцев не выявлено достоверных различий показателя в анализируемых подгруппах.

С-реактивный белок (СРБ). Норма 0–5 мг/л.

До операции на клапанах сердца среднее по группе значение СРБ не превышало нормы и составило 3,68 ± 0,76 мг/л (табл. 13). Значения СРБ колебались от 0,5 до 8,9 мг/л.

Таблица 12

Динамика количества моноцитов у пациентов с неспецифической воспалительной реакцией на протяжении 12 месяцев после операции на клапанах сердца

Показатель	Сроки обследования					
	До операции	7-е сутки после операции	14-е сутки после операции	3 месяца после операции	6 месяцев после операции	12 месяцев после операции
M	6,90	7,14	7,53	5,63*	6,11	6,00
n	18	18	15	17	16	8
m	0,49	0,49	0,95	0,53	0,48	0,80

*Достоверность различий показателя с уровнем, зарегистрированным на 7-е сутки после операции ($p < 0,05$).

Таблица 13

Динамика уровня СРБ у пациентов с ХРБС на протяжении 12 месяцев после операции на клапанах сердца

Показатель	Сроки обследования					
	До операции	7-е сутки после операции	14-е сутки после операции	3 месяца после операции	6 месяцев после операции	12 месяцев после операции
M	3,68	28,93*	20,74*	3,53**	6,82**	3,91**
n	49	48	39	33	35	14
m	0,76	3,09	3,25	0,43	2,92	0,82
Число пациентов со значением показателя выше нормы	7 (14 %)	48 (100 %)	25 (64,1 %)	6 (18,2 %)	12 (34,3 %)	4 (28,6 %)
Число пациентов с нормальным значением показателя	43 (8 %)	0	14 (35,9 %)	27 (81,8 %)	23 (65,7 %)	10 (71,4 %)

*Достоверность различий показателя с дооперационным уровнем ($p < 0,001$).
**Достоверность различий показателя с уровнем, зарегистрированным на 7-е сутки после операции ($p < 0,001$).

Превышал нормальные значения уровень СРБ у 7 (14 %) из 50 пациентов с ХРБС.

Операция на клапанах сердца провоцировала усугубление системного воспалительного процесса (как специфического – стрептококкового, так и неспецифического), что проявлялось достоверным ростом уровня СРБ в раннем послеоперационном периоде на 7-е и 14-е сутки после операции (табл. 13, $p > 0,001$).

Через 3 месяца после операции уровень СРБ достоверно снизился по сравнению с уровнем, зарегистрированным в раннем послеоперационном периоде (табл. 13, $p < 0,001$), и вернулся к исходному (дооперационному) уровню (табл. 13). Тем не менее у 6 (18,2 %) из 33 пациентов СРБ оставался повышенным. Через 6 месяцев после операции повышенный уровень СРБ выявлен у 12 (35,3 %) из 35 обследованных, через год – у 4 (28,5 %) из 14 обследованных пациентов. Выявленная динамика СРБ носила однонаправленный с другими лабораторными показателями характер, демонстрируя персистирование воспалительного процесса без уточнения его характера.

В подгруппах пациентов с повторной ревматической лихорадкой и неспецифической воспалительной реакцией не выявлено достоверных различий показателя по сравнению со средним по группе на протяжении всего периода наблюдения (табл. 14 и 15).

Таблица 14

Динамика уровня СРБ у пациентов с повторной ревматической лихорадкой на протяжении 12 месяцев после операции на клапанах сердца

Показатель	Сроки обследования					
	До операции	7-е сутки после операции	14-е сутки после операции	3 месяца после операции	6 месяцев после операции	12 месяцев после операции
M	2,78	26,58*	20,19*	2,44**	4,49**	1,96**
n	9	8	8	8	8	3
m	0,58	4,61	6,29	0,60	2,03	0,56

*Достоверность различий показателя с дооперационным уровнем ($p < 0,001$).
**Достоверность различий показателя с уровнем, зарегистрированным на 7-е сутки после операции ($p < 0,001$).

Таблица 15

Динамика уровня СРБ у пациентов с неспецифической воспалительной реакцией на протяжении 12 месяцев после операции на клапанах сердца

Показатель	Сроки обследования					
	До операции	7-е сутки после операции	14-е сутки после операции	3 месяца после операции	6 месяцев после операции	12 месяцев после операции
M	4,06	32,18*	18,67*	4,16**	3,54**	3,36**
n	18	18	15	17	16	8
m	1,62	5,82	4,10	0,74	0,83	0,84

*Достоверность различий показателя с дооперационным уровнем ($p < 0,01$).
**Достоверность различий показателя с уровнем, зарегистрированным на 7-е сутки после операции ($p < 0,001$).

Выводы:

1. Более чем у трети пациентов с ХРБС (38 %) перед операцией на клапанах сердца есть неспецифические лабораторные признаки системного воспаления.

2. В раннем послеоперационном периоде у большинства (93,9 %) пациентов с ХРБС отмечаются признаки умеренного выраженного воспалительного процесса, что проявляется увеличением СОЭ до 33,9 ± 1,9 мм/ч на 7-е сутки и до 36,25 ± 1,81 мм/ч на 14-е сутки после операции соответственно.

3. Примерно у трети пациентов с ХРБС операционный стресс приводит к истощению компенсаторных механизмов кроветворения и формированию вторичной иммунной недостаточности, что проявляется уменьшением количества иммунокомпетентных клеток (лимфоцитов и моноцитов) в периферической крови уже в раннем послеоперационном периоде (на 14-е сутки) после хирургической коррекции клапанных пороков сердца.

4. Через 3 месяца после выполненной операции более чем у 20 % пациентов с ХРБС наблюдаются признаки хронического воспаления, сохраняющиеся на протяжении как минимум года.

ЛИТЕРАТУРА

1. Белов Б.С. Острая ревматическая лихорадка и хроническая ревматическая болезнь сердца: диагностика, лечение, профилактика // Болезни сердца и сосудов. 2006; 1 (4).

2. Guidelines on the management of valvular heart disease (version 2012) // Eur. Heart J. 2012; 33 (19): 2451–2496.

3. 2014 ACC/AHA Guidelines for the management of patients with-valvular heart disease. A report of ACC/AHA Task Force on Practice Guidelines // JACC. 2014; 63 (22).

4. AHA Scientific Statement/Prevention of Rheumatic Fever and Diagnosis and Treatment of Acute Streptococcal Pharyngitis. A Scientific Statement from the American Heart Association Rheumatic Fever, Endocarditis, and Kawasaki Disease Committee of the Council on Cardiovascular Disease in the Young, the Interdisciplinary Council on Functional Genomics and Translational Biology, and the Interdisciplinary Council on Quality of Care and Outcomes Research. URL: https://circ.ahajournals.org/content/119/11/1541.abstract-fn-1

5. Патофизиология: учеб.: в 2 т. / под ред. В.В. Новицкого, Е.Д. Гольдберга, О.И. Уразовой. М.: ГЭОТАР-Медиа, 2009. Т. 1. 848 с.

Поступила 25.04.2016

УДК 616.12-009-039.37-085.224+615.359)-02:612.353

ВЛИЯНИЕ СТАТИНОВ В КОМБИНАЦИИ С АЛЬФА-ЛИПОЕВОЙ КИСЛОТОЙ НА ФУНКЦИЮ ПЕЧЕНИ ПАЦИЕНТОВ С НЕСТАБИЛЬНОЙ СТЕНОКАРДИЕЙ

Е.Ф. Заремба, О.В. Смалюх*

Львовский национальный медицинский университет имени Данила Галицкого

*Контактная информация. Тел.: +380 96 276 26 97, e-mail: olha.sm.v@gmail.com

THE EFFECT OF STATINS IN COMBINATION WITH ALPHA-LIPOIC ACID ON THE FUNCTION OF THE LIVER IN PATIENTS WITH UNSTABLE ANGINA

E.H. Zaremba, O.V. Smalyukh*

Danilo HalytskyiLviv National Medical University

*Corresponding author. Tel.: +380 96 276 26 97, e-mail: olha.sm.v@gmail.com

Представлены результаты исследования функции печени пациентов со стенокардией в процессе лечения статинами в комбинации с гепатопротектором. Установлено, что комплексное лечение пациентов с прогрессирующей стенокардией статинами в комбинации с альфа-липоевой кислотой существенно снижает уровень трансаминаз в крови. Полученные данные свидетельствуют о целесообразности использования статинов в комплексе с альфа-липоевой кислотой для лечения пациентов со стенокардией.

КЛЮЧЕВЫЕ СЛОВА

нестабильная стенокардия, аторвастатин, альфа-липоевая кислота, комплексная терапия

The article presents the results of liver function tests in patients with angina pectoris during treatment with statins and hepatoprotector. It was found that the treatment of patients with progressive angina with statins in combination with alpha-lipoic acid significantly reduces the transaminase levels in the blood. The results indicate the feasibility of using statins in combination with alpha-lipoic acid in the treatment of patients with angina.

KEYWORDS

unstable angina, atorvastatin, alpha-lipoic acid, complex therapy

Введение. Сердечно-сосудистые заболевания (ССЗ) в настоящее время представляют важнейшую медико-социальную проблему и являются ведущей причиной заболеваемости, инвалидизации и смертности во всем мире. По данным ВОЗ, в мире от ССЗ ежегодно умирает более 17 млн человек [7]. Украина занимает одно из ведущих мест в Европе по показателям смертности от ССЗ (459,48 на 100 000 населения), что существенно превышает аналогичные показатели во Франции – 30,08 на 100 000, Германии – 75,09 на 100 000, Польше – 88,37 на 100 000 человек [6].

Главными причинами потери трудоспособности жителей Украины, уменьшающими продолжительность жизни, ухудшающими ее качество и прогноз, являются артериальная гипертензия, ишемическая болезнь сердца (ИБС) и цереброваскулярные заболевания. ИБС – одна из самых распространенных болезней сердечно-сосудистой системы. За период 2008–2012 гг. показатель распространенности ИБС среди взрослого населения увеличился на 6,7 % и составил 24088,1 лиц на 100 000 человек, а заболеваемость уменьшилась на 2,2 % и составила 1639,9 лиц на 100 000 человек [7].

В структуре распространенности ССЗ и заболеваемости среди взрослого населения доля ИБС – 34,1 и 28,0 %, а среди трудоспособного – 27,3 и 24,3 %. На ИБС среди взрослых приходится 67,6 % случаев смерти в структуре ССЗ, среди трудоспособного населения – 54,8 % [3].

Снижению риска сердечно-сосудистой смертности, в частности от ИБС, улучшению качества жизни, увеличению ее продолжительности способствуют мероприятия, направленные на профилактику и стабилизацию атеросклеротического процесса. Наряду с мероприятиями по модификации образа жизни, статины являются обязательным компонентом стратегии борьбы с осложнениями ССЗ. Доказательная база применения статинов по результатам крупных проспективных исследований свидетельствует об эффективности длительного лечения статинами, сниже-

нии общей и сердечно-сосудистой смертности [2, 5]. В настоящее время в развитых странах мира 80–95 % пациентов с ИБС принимают статины [15].

Вместе с тем лечение статинами вызывает дозозависимое бессимптомное повышение уровня аспартатаминотрансферазы (АсАТ), аланинаминотрансферазы (АлАТ) в 3 раза и более по сравнению с верхней границей нормы [12–14]. Липидоснижающая терапия фиксированной комбинацией аторвастатина и эзетимиба приводит к повышению уровня трансаминаз (не более чем в 3 раза) у 7,5 % пациентов [8].

Для улучшения эффективности гиполипидемической терапии, функционального состояния печени рассмотрена возможность применения статинов в комбинации с альфа-липоевой кислотой. Альфа-липоевая кислота является коферментом, участвующим в окислительном декарбоксилировании пировиноградной кислоты и альфа-кетокислот, играет важную роль в биоэнергетике клеток печени, участвует в регулировании углеводного, белкового, липидного обменов, владеет мощной антиоксидантной активностью [1, 9, 11, 16].

Гиполипидемический эффект альфа-липоевой кислоты заключается в снижении синтеза холестерина и высвобождении жирных кислот из жировой ткани. При применении альфа-липоевой кислоты у пациентов с хроническими диффузными заболеваниями печени отмечена нормализация АсАТ и АлАТ [10].

Цель исследования – изучить показатели функционального состояния печени пациентов со стенокардией при лечении статинами в комбинации с альфа-липоевой кислотой.

Материал и методы. Обследовано 99 пациентов с нестабильной стенокардией (41 мужчина и 58 женщин), средний возраст которых – 65,5 ± 1,2 года. Критерий включения в исследование – наличие прогрессирующей стенокардии с нормальной функцией печени. Лица с тяжелой сердечной, печеночной и почечной недостаточностью, онкологическими заболеваниями, алкоголизмом и наркоманией не включались.

В зависимости от лечебной тактики пациентов распределили на две группы (первая и вторая). Первая группа принимала аторвастатин один раз в сутки в дозе 20 мг, вторая – аторвастатин один раз в сутки в дозе 20 мг в комбинации с 600 мг альфа-липоевой кислоты (первые 10 дней в виде инфузионной терапии с переходом на пероральные приемы в дозе 600 мг в сутки последующие 20 дней).

Контрольную группу составили 20 здоровых соответствующего возраста.

Функциональное состояние печени оценивали по уровню общего билирубина, АлАТ и АсАТ. Общий билирубин исследовали кинетическим методом по Йендрашику, АлАТ и АсАТ – с помощью наборов для колориметричного определения АсАТ и АлАТ фирмы Human (Германия) кинетическим методом. Всем пациентам до лечения, на 12–14 и 30-й день терапии проводили клинико-лабораторные исследования.

Статистический анализ осуществляли с помощью программы Statistica 6.0 и Microsoft Exel методом статистического анализа с определением t-критерия Стьюдента. Данные представлены как M ± m, где M – средняя арифметическая величина, m – стандартная ошибка среднего. Различия между группами считали достоверными при $p < 0,05$ [4].

Результаты и обсуждение. По результатам опроса пациентов до и после лечения жалоб, указывающих на вовлечение в патологический процесс печени, не выявлено. При объективном обследовании пациентов клинических симптомов, свидетельствующих о заболевании печени, не установлено. Содержание общего билирубина, АлАТ, АсАТ у пациентов первой и второй групп до лечения не отличалось от пациентов контрольной группы (табл. 1).

Изменений общего билирубина (табл. 2) до и после лечения в обеих группах пациентов не установлено.

У пациентов первой группы (принимали аторвастатин) после лечения отмечено достоверное ($p < 0,05$) повышение уровня АлАТ на 14-й и 30-й день: на 14-й день – на 40,56 %; на 30-й – на 61,40 %; АсАТ – на 36,19 и 45,97 % соответственно. Во второй группе (пациенты принимали аторвастатин в комбинации с альфа-липоевой кислотой) показатели АлАТ и АсАТ существенно не изменились.

Выводы:

1. Лечение пациентов с прогрессирующей стенокардией аторвастатином достоверно повышает уровень трансаминаз в крови.

Таблица 1

Уровень общего билирубина, АлАТ и АсАТ у пациентов со стенокардией по сравнению с показателями здоровых лиц

Показатель	Контрольная группа (n = 20)	Пациенты со стенокардией (n = 99)
Общий билирубин, мкмоль/л	11,34 ± 1,32	11,22 ± 1,21
АлАТ, ЕД/л	21,64 ± 1,79	21,51 ± 1,84
АсАТ, ЕД/л	20,46 ± 1,68	20,39 ± 1,82

Таблица 2

Динамика показателей функции печени у пациентов с прогрессирующей стенокардией при лечении аторвастатином в комбинации с альфа-липоевой кислотой

Показатель	Первая группа (n = 48)			Вторая группа (n = 51)		
	до лечения	на 12–14-й день лечения	на 30-й день лечения	до лечения	на 12–14-й день лечения	на 30-й день лечения
Общий билирубин, мкмоль/л	11,62 ± 1,21	10,97 ± 0,66	11,41 ± 0,92	11,88 ± 1,19	10,86 ± 0,79	12,37 ± 0,83
АлАТ, ЕД/л	21,50 ± 1,86	30,22 ± 1,74*	34,70 ± 2,68*	22,15 ± 1,8	22,49 ± 1,46*	21,94 ± 1,41
АсАТ, ЕД/л	20,45 ± 1,82	27,85 ± 2,53*	29,85 ± 2,76*	20,23 ± 1,31	21,09 ± 1,45*	20,57 ± 1,23

*p < 0,05 – достоверность различий показателей до и после лечения.

2. Комплексное лечение пациентов с прогрессирующей стенокардией аторвастатином и альфа-липоевой кислотой существенно снижает уровень трансаминаз в крови.

3. В лечение пациентов со стенокардией статинами целесообразно включать альфа-липоевую кислоту в связи хорошей ее переносимостью и положительным влиянием на функциональное состояние печени.

ЛИТЕРАТУРА

1. Беловол А.Н., Князькова И.И. Альфа-липоевая кислота: от фармакологических свойств к клиническому применению // Ліки України. 2015; 7: 4–10.

2. Бугаенко В.В. Статины в первичной и вторичной профилактике сердечно-сосудистого риска: новый взгляд на старую проблему // Україн. кардіол. журн. 2014; 3: 103–107.

3. Гандзюк В.А. Аналіз захворюваності на ішемічну хворобу серця в Україні // Україн. кардіол. журн. 2014; 3: 45–52.

4. Гланц С.А. Медико-биологическая статистика: пер. с англ. М.: Практика, 1998. 459 с.

5. Давыдова И.В. Гиполипидемическая терапия у пациентов с высоким и очень высоким кардиоваскулярным риском // Україн. мед. часопис. 2015; 2: 37–41.

6. Європейська база даних статистичної інформації «Здоров'я для всіх» [Електронний ресурс]. URL: http://medstat.gov.ua/ukr/normdoc.html.

7. Коваленко В.М., Корнацький В.М. Регіональні медико-соціальні проблеми хвороб системи кровообігу. Динаміка та аналіз. Київ, 2013. 239 с.

8. Лутай М.И., Голикова И.П., Бичко М.В. Новые возможности комбинированной липидоснижающей терапии: опыт клинического применения фиксированной комбинации аторвастатина и эзетимиба // Україн. кардіол. журн. 2012; 4: 92–99.

9. Маев И.В., Дичева Д.Т., Андреев Д.Н. Роль тиоктовой (а-липоевой) кислоты в терапии неалкогольеой жировой болезни печени // Consilium Medicum. Гастроэнтерология. 2011; 2: 82–84.

10. Путинцев В.И., Черникова Н.М., Лобачевская Т.А. и др. Некоторые аспекты применения липоевой кислоты (берлитиона) в лечении хронического токсического гепатита // Мистецтво лікування. 2005; 1: 98–100.

11. Adams L.A., Angulo P., Lindor K.D. Non-alkoholic fatty liver disease // CMAJ. 2005; 172 (7): 899–905.

12. Athyros V.G., Mikhailidis D.P., Didangelos T.P. et al. Effect of multifactorial treatment on non-alcoholic fatty liver disease in metabolic syndrom: a randomised study // Curr. Med. Res. Opin. 2006; 22: 873–883.

13. Bays H. Statin safety: an overview and assessment of the data-2005 // Am. J. Cardiol. 2006; 97: 6–26.

14. Cohen L.H., Anania F.A., Chalasani N. An assessment of statin safety by hepatologists // Am. J. Cardiol. 2006; 97: 77–81.

15. Olsson A.G. Rosuvastatinin dyslipidaemia and coronary heart disease // Science Press. 2004; 1: 71–77.

16. Targher G. Nonalcoholic fatty liver disease, the metabolic syndrom and the risk of cardiovascular disease: the plot thickens // Diabet. Med. 2007; 24 (1): 1–6.

Поступила 29.06.2016

УДК 616.12-008.331:515

РОЛЬ МОЛЕКУЛЯРНО-БИОЛОГИЧЕСКИХ ФАКТОРОВ В ПАТОГЕНЕЗЕ АРТЕРИАЛЬНОЙ ГИПЕРТЕНЗИИ И ИХ АССОЦИАЦИЯ С ПОЛИМОРФНЫМИ МАРКЕРАМИ ГЕНОВ РЕНИН-АНГИОТЕНЗИН-АЛЬДОСТЕРОНОВОЙ И ГОМОЦИСТЕИНОВОЙ СИСТЕМ

В.Н. Сорокина*

Белорусский государственный медицинский университет, Минск

*Контактная информация. Тел. +375 29 616 80 12, e-mail: sorokina.viktoryia@yandex.by

THE ROLE OF MOLECULAR BIOLOGICAL FACTORS IN THE PATHOGENESIS OF ARTERIAL HYPERTENSION AND ASSOCIATION WITH GENES POLYMORPHISM OF THE RENIN-ANGIOTENSIN-ALDOSTERONE AND THE HOMOCYSTEINE SYSTEMS

V.N. Sorokina*

Belarusian State Medical University, Minsk

*Corresponding author. Tel.: +375 29 616 80 12, e-mail: sorokina.viktoryia@yandex.by

Целью данной работы было оценить связь между полиморфизмами генов ренин-ангиотензин-альдостероновой и гомоцистеиновой систем и уровнем повреждений ДНК у мужчин с артериальной гипертензией.

Методом проточной цитометрии устанавливали уровень клеточной гибели клеток с микроядрами и распределение лейкоцитов периферической крови по фазам G1/G0, S, G2/M клеточного цикла. Полиморфизмы генов CT MTHRF, ID гена ACE, MT гена AGT, AC гена AGTR1, GA гена REN определяли с помощью полимеразной цепной реакции.

У мужчин с артериальной гипертензией на фоне сниженной пролиферативной клеточной активности выявлено возрастание показателей апоптоза лейкоцитов и накопление клеток с микроядрами.

Наличие гетерозиготных генотипов CT гена MTHFR, MT гена AGT и DD гена ACE у мужчин с артериальной гипертензией сопряжено со снижением пролиферативной клеточной активности лейкоцитов, а наличие ID генотипа гена ACE способствует накоплению клеток в фазе G2/M.

Увеличение количества клеток с микроядрами и активация апоптоза лейкоцитов периферической крови у мужчин с артериальной гипертензией сопряжены с носительством гомозиготных генотипов TT гена AGT, II гена ACE, AA гена REN.

КЛЮЧЕВЫЕ СЛОВА

артериальная гипертензия,
апоптоз,
микроядра,
фазы клеточного цикла,
полиморфизмы генов

The aim of the study was to evaluate the association between the genes polymorphism of the renin-angiotensin-aldosterone and the homocysteine systems and the level of DNA damage of the male patients suffering from arterial hypertension.

Flow cytometry with propidium iodide staining was used to determine the level of cell death, micronuclei formation and accumulation of peripheral blood leucocytes in G1/G0, S, G2/M phases of cell cycle. The MTHRF CT polymorphism, ACE ID polymorphism, AGT MT polymorphism, AGTR1 AC polymorphism, REN GA polymorphism were detected by polymerase chain reaction.

It was detected the reduce of cells in the synthetic phase and an increased cell death and DNA damage in leukocytes of hypertensive men.

The heterozygous genotypes CT of the MTHFR gene, MT AGT gene and DD ACE gene were found to be associated with decreased cell proliferation and the ID genotype of ACE with accumulation of cells in the G2/M phase.

We observe an increased level of cells with micronuclei and apoptosis in blood of the male patients suffered from arterial hypertension with the genotypes TT AGT gene, II ACE gene, AA REN gene.

KEYWORDS

arterial hypertension,
cell death,
micronuclei,
phases of the cell cycle,
gene polymorphism

Введение. Патология сердечно-сосудистой системы (ССС) занимает первое место в структуре заболеваемости и смертности населения в экономически развитых странах [1]. Согласно данным Всемирной организации здравоохранения, к 2030 г. ССС и инсульт могут стать причиной смерти около 23,6 млн человек [2]. Среди заболеваний ССС особая роль принадлежит артериальной гипертензии (АГ). Это связано как с большой распространенностью, так и с тем, что АГ служит ведущим фактором риска возникновения инфаркта миокарда и инсульта. Распространенность АГ в мире увеличивается в среднем на 3–4 % в год, что соответствует масштабам эпидемии [3]. В Республике Беларусь АГ страдает около 25–27 % людей.

Артериальная гипертензия представляет собой полиэтиологичное заболевание, которое является результатом взаимодействия различных генов, факторов риска (ФР) пациента, воздействия окружающей среды.

Роль наследственного фактора в развитии АГ неоспорима. Значимое место в большинстве случаев, обусловливающих природу АГ, отводится полиморфизмам генов ренин-ангиотензин-альдостероновой (РААС), брадикининовой и гомоцистеиновой систем, что подтверждено в многочисленных исследованиях [3–9].

Установлена ассоциация полиморфизма следующих генов с АГ: REN (ген ренина), MTHFR (ген 5,10-метилентетрагидрофолатредуктазы), ACE (ген ангиотензинпревращающего фермента), AGTR1 (ген рецептора 1-го типа к ангиотензину II), AGT (ген ангиотензиногена), AGTR2 (ген рецептора 2-го типа к ангиотензину II), BKR2 (ген брадикининового рецептора 2-го типа), NOS3 (ген NO-синтазы 3-го типа), ADRb1 (ген β_1-адренорецептора), ADRb2 (ген β_2-адренорецептора) [10–12]. Продукты данных генов обеспечивают различные этапы одной метаболической цепи.

Клеточная численность различных органов и тканей регулируется двумя процессами – пролиферацией клеток и «программированной, или физиологической, гибелью клеток» (апоптозом).

Апоптоз – генетически запрограммированная гибель клеток, приводящая к «аккуратной» разборке и удалению клеток. Метод проточной цитометрии позволяет исследовать клеточный цикл и определять уровень апоптоза, а также количество клеток с микроядрами, одним из путей образования которых также является апоптоз клеток [13]. Анализ ДНК-гистограмм дает возможность четко различать клетки, находящиеся в G1-, S-, G2/M-фазах клеточного цикла.

Значение процессов апоптоза в патогенезе АГ далеко не однозначно и до сих пор окончательно не определено [14]. Апоптоз при АГ в основном изучался на модели гладкомышечных клеток сосудов [14]. В подобных работах отмечается повышение пролиферации гладкомышечных клеток параллельно с увеличением уровня апоптоза [15, 16].

На модели породы спонтанно гипертензивных крыс SHR P. Hamet продемонстрировал значимость клеточной пролиферации в сосудистой стенке, которая может быть одним из пусковых механизмов патогенеза АГ [17, 18]. Возникающие в результате пролиферации клеток структурные изменения, проявляющиеся в гипертрофии и гиперплазии гладкомышечных клеток, ведут к снижению эластичности сосудистой стенки, сужению просвета сосудов и в конечном итоге к увеличению общего периферического сопротивления, что сказывается на повышении артериального давления (АД) [14]. Длительная гемодинамическая перегрузка артерий, поддерживаемая гиперактивностью РААС и САС, наряду с воспалением сосудистой стенки, которое развивается при участии иммунной системы, – это основные причины эндотелиальной дисфункции с нарастанием реакции апоптоза и гиперкоагуляционной активности крови. Апоптоз является процессом, непосредственно контролирующим иммунный гомеостаз. В исследованиях установлено, что нарушение «апоптотической реактивности» лимфоцитов периферической крови, которое проявляется снижением чувствительности лимфоцитов к апоптозу и подавлением интенсивности Fas-опосредованного апоптоза при активации лимфоцитов, может быть ассоциировано с метаболическими нарушениями при АГ, такими как ИР и СД [19, 20].

Предполагается, что апоптоз при различных заболеваниях, в том числе и при АГ, генетически детерминирован. Выявлено большое количество генов, принимающих участие в регуляции процессов апоптоза. Наиболее часто упоминаются следующие гены: ген, кодирующий «рецептор смерти», гены p53, bax, bcl-2 и гены, кодирующие структуру каспаз, ген APT-1 (FAS) [22].

Были установлены ассоциации структурных полиморфизмов ДНК с функциональным состоянием некоторых генов, участвующих в процессе апоптоза. Существуют данные, свидетельствующие, что у лиц с генетически обусловленной АГ происходит усиление апоптоза с возрастом, которое предшествует выраженным изменениям артериального давления [23].

Уровень апоптоза косвенно может быть оценен по результатам микроядерного теста. Микроядра формируются в результате нерасхождения или отставания в расхождении хромосом к полюсам клетки вследствие нарушения веретена деления. Причины, определяющие нарушения в процессе деления и приводящие к образованию микроядер, можно связать с факторами, задерживающими и вызывающими нарушения в фазах митоза [24]. Образование микроядер под влиянием различных мутагенов может быть следствием снижения либо нарушения процессов клеточной регенерации и репарации или при малигнизации клеток, вызванных повреждением хромосом. Многие патологические процессы, лежащие в основе достаточно большого количества заболеваний, сопровождаются формированием микроядер [24].

Цель работы – исследование количества клеток с признаками апоптоза и микроядрами, а также числа клеток в G0/G1-, S-, G2/M-фазах клеточного цикла

и их ассоциации с полиморфизмами генов РААС и гомоцистеина у пациентов мужского пола с АГ.

Материал и методы. В исследование было включено 160 пациентов мужского пола в возрасте от 40 до 60 лет с наличием верифицированного диагноза АГ, которые составили основную группу (АГ-О). Контрольная группа (КГ) – 62 пациента мужского пола в возрасте 44,2 ± 6,1 года, которые на момент исследования находились на обследовании или лечении в неврологическом, терапевтическом или урологическом отделениях Республиканского госпиталя МВД РБ и не страдали АГ.

Критерии исключения из исследования: женский пол, симптоматическая АГ, ИБС, острое нарушение мозгового кровообращения, острый коронарный синдром, хроническая сердечная недостаточность, хроническая почечная недостаточность, хроническая печеночная недостаточность, онкологические заболевания в анамнезе либо на момент обследования, нарушения психики.

У пациентов основной и контрольной групп проводили однократный забор венозной крови. В лаборатории фармакогенетики Института биоорганической химии НАН Беларуси проводили генетическое исследование и определение молекулярно-биологических показателей: наличие апоптоза лейкоцитов, микроядер, распределение клеток по фазам клеточного цикла, которые измеряли методом проточной цитофлуориметрии, используя лазерный проточный цитометр FC 500 (Beckman Coulter, США). При генетическом исследовании выявляли полиморфные маркеры генов, устанавливали наличие/отсутствие фрагментов в исследуемом ДНК-фрагменте в крови пациента методом полимеразной цепной реакции (ПЦР) и анализа полиморфизма длины рестрикционных фрагментов (ПДРФ-анализа). В настоящем исследовании изучались полиморфизмы генов: метилентетрагидрофолатредуктазы MTHRF (C677T, rs1801133), ангиотензинпревращающего фермента ACE (I/D, rs4340), ангиотензиногена AGT (M235T, rs699), рецептора 1-го типа к ангиотензину II AGTR1 (A1166C, rs5186), ренина REN (G18-83A).

Обработка полученных данных проводилась с использованием статистических пакетов Excel, Statistica 10.0, SPSS 17.

Результаты и обсуждение. При изучении молекулярно-биологических показателей лейкоцитов периферической крови, распределения лейкоцитов по фазам клеточного цикла в группах АГ-О и КГ статистически достоверных отличий по фазе G1/G0 и G2/M не выявлено (табл. 1).

Как представлено на рис. 1, в группе АГ-О обнаружено снижение числа клеток в стадии пролиферации в сравнении с КГ.

Процесс образования микроядер и процесс апоптоза непосредственно связаны друг с другом в виду того, что микроядра являются следствием фрагментации ядра в процессе апоптоза. Установленное нами у пациентов с АГ наличие прямой корреляционной связи между показателями уровня клеточной гибели и количеством клеток с микроядрами ($r = 0,46$, $p < 0,001$) может косвенно свидетельствовать об усилении степени активности апоптоза в этой группе пациентов. При анализе распределения параметров апоптоза и количества микроядер отмечено, что кривые распределения близки к экспоненциальным. Обработка данных с помощью непараметрических методов статистики выявила тенденцию к различиям. Это позволило нам перевести полученные значения в логнормальные и применить критерий Стьюдента.

Статистический анализ показателей уровня клеточной гибели и количества микроядер в группах АГ-О и КГ продемонстрировал статистически достоверные различия. Так, в группе АГ-О по сравнению с контролем отмечается увеличение количества апоптических клеток (АГ-О 0,195 ± 0,103, КГ 0,164 ± 0,056 соответственно, $p < 0,001$). Аналогичные данные обнаружены по уровню микроядер: в группе АГ-О – 0,29 ± 0,13, группе КГ – 0,25 ± 0,08 ($p < 0,001$) (рис. 2).

Результаты множественного сравнения распределения лейкоцитов периферической крови в зависимости от генотипов всех изучаемых генов РААС у пациентов с АГ представлены в табл. 2. Очевидно, что у пациентов контрольной группы с генотипом I/I и I/D отмечается тенденция к увеличению числа клеток в стадии пролиферации по сравнению с пациентами группы АГ-О с генотипом D/D ($p > 0,05$). При анализе других генетических моделей насле-

Таблица 1

Распределение лейкоцитов по фазам клеточного цикла

Показатель	АГ-О (n = 156)	КГ (n = 59)	Статистическая значимость различий	
	Me (25–75 %)	Me (25–75 %)	U	p
G1/G0	97,07 (95,25–98,35)	97,27 (96,00–98,63)	4241,0	0,414
S	0,24 (0,00–0,63)	0,35 (0,18–0,93)	3769,5	0,039
G2/M	2,22 (1,090–3,685)	1,97 (0,97–3,03)	4040,5	0,168

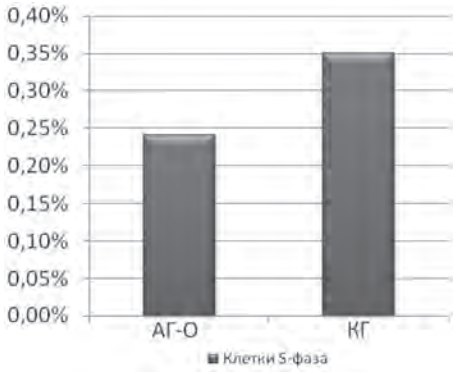

Рис. 1. Распределение клеток S-фазы в группах АГ-О и КГ

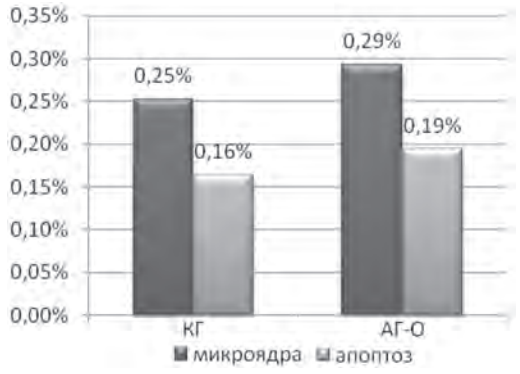

Рис. 2. Сравнительный анализ уровня апоптоза лейкоцитов и клеток с микроядрами в группах АГ-О и КГ

Таблица 2

Молекулярно-биологические показатели лейкоцитов периферической крови в зависимости от генотипов генов РААС

Ген	Генотип	G1/G0, %		S, %		G2/M, %	
		Группа					
		АГ-О	КГ	АГ-О	КГ	АГ-О	КГ
ACE	II	96,98 (96,21–98,02)	96,63 (95,92–98,18)	0,22 (0,03–0,60)	0,43 (0,27–0,58)	2,57 (0,99–3,44)	2,76 (1,40–3,62)
	ID	96,88 (94,60–98,35)*	97,60 (96,21–98,77)*	0,23 (0,00–0,68)	0,43 (0,18–1,00)	2,43 (1,12–4,35)**	1,18 (0,64–2,33)**
	DD	97,55 (95,57–98,49)	96,65 (95,79–97,77)	0,33 (0,00–0,59)	0,22 (0,07–1,62)	1,96 (1,15–3,23)	2,05 (1,58–3,14)
MTHFR	CC	96,97 (95,41–98,29)	97,34 (95,75–98,33)	0,27 (0,00–0,71)	0,50 (0,22–1,74)	2,22 (1,19–3,35)	1,70 (0,81–2,72
	CT	97,18 (95,15–98,33)	97,08 (96,21–98,77)	0,19 (0,00–0,57)***	0,23 (0,00–0,59)***	2,29 (1,09–3,94)	1,99 (1,10–3,77)
	TT	97,15 (95,13–98,35)	97,25 (95,30–98,63)	0,24 (0,00–0,59)	0,65 (0,28–0,84)	2,33 (1,22–4,87)	2,49 (0,92–4,07)
AGT	MM	97,92 (96,62–98,71)	98,04 (95,70–98,77)	0,24 (0,00–0,67)	0,21 (0,08–0,56)	1,28 (0,81–2,86)	1,58 (1,01–3,37)
	MT	96,87 (94,93–98,29)	97,21 (96,00–98,32)	0,19 (0,00–0,47)****	0,47 (0,24–0,93)****	2,73 (1,43–4,35)	1,88 (1,16–2,72)
	TT	96,93 (95,59–97,97)	97,05 (96,19–97,95)	0,48 (0,16–1,27)	0,29 (0,20–1,41)	1,60 (0,99–3,07)	2,34 (0,88–3,03)
AGTR1	AA	96,98 (95,53–98,33)	97,92 (96,16–98,74)	0,24 (0,00–0,54)*****	0,40 (0,19–1,02)*****	2,22 (1,12–3,64)	1,39 (0,63–2,88)
	AC	97,32 (94,87–98,35)	97,05 (96,00–98,04)	0,24 (0,00–0,60)	0,29 (0,12–0,62)	2,22 (1,09–3,92)	2,24 (1,16–1,25)
	CC	96,60 (94,90–97,73)	95,61 (93,57–97,65)	0,87 (0,09–1,90)	0,28 (0,00–0,55)	2,07 (1,19–4,37)	4,12 (1,81–6,43)

Примечание. Данные представлены в виде Me (25–75 %).
*p < 0,05 при сравнении групп Г и К по сочетанию ID генотипа гена ACE с фазой G1/G0.
**p < 0,05 при сравнении групп Г и К по сочетанию ID генотипа гена ACE с фазой G2/M.
***p < 0,05 при сравнении групп Г и К по сочетанию CT генотипа гена MTHFR с фазой S.
****p < 0,05 при сравнении групп Г и К по сочетанию MT генотипа гена AGT с фазой S.
*****p < 0,05 при сравнении групп Г и К по сочетанию AA генотипа гена AGTR1 с фазой S.

дования установлена ассоциация I/D генотипа с накоплением клеток в стадии митоза или подготовки к митозу (U = 736,0, p = 0,012) у пациентов с АГ по сравнению с пациентами контрольной группы (p < 0,05), у которых, напротив, накапливаются клетки в фазе покоя G1/G0 (U = 793,0, p = 0,044) (см. табл. 2).

У пациентов контрольной группы по отношению к группе АГ-О носительство CT генотипа способствует увеличению числа клеток синтетической фазы (U = 977,0, p = 0,019). Статистически значимой оказалась ассоциация генотипа MT гена AGT с S-фазой клеточного цикла (U = 785,0, p = 0,0065). У пациентов группы АГ-О, носителей MT генотипа, количество клеток в S-фазе значительно меньше, чем у пациентов КГ.

Обнаружено, что у лиц КГ с генотипом AA гена AGTR1 по сравнению с пациентами АГ-О увеличено количество клеток в стадии пролиферации S (U = 789,0, p = 0,02). Результаты анализа ассоциации полиморфных маркеров генов РААС с показателями лейкоцитов с микроядрами и клеточной гибели приведены в табл. 3.

Как следует из табл. 3, в группе пациентов АГ-О установлена ассоциация генотипа TT гена AGT с высоким уровнем клеточной гибели лейкоцитов (U = 118,0, p = 0,003). Полиморфизм AA гена REN ассоциирован с уровнем микроядр (U = 25,0 p = 0,042), который у пациентов АГ-О значительно превышает уровень данного показателя у пациентов КГ. В группе АГ-О с более высоким процентным содержанием клеток с микроядрами чаще встречался генотип II гена ACE (U = 128,0, p = 0,03).

Таким образом, наличие генотипов AA гена REN и генотипа II гена ACE ассоциируется с накоплением клеток с микроядрами.

Таблица 3

Показатели апоптоза и микроядер лейкоцитов периферической крови пациентов групп АГ-О и КГ в зависимости от генотипа генов РААС

Ген	Генотип	Апоптоз, %		Микроядра, %	
		Группа АГ-О	Группа КГ	Группа АГ-О	Группа КГ
ACE	II	3,96 (2,10–5,23)	2,13 (1,52–5,19)	1,50 (0,65–1,93)*	0,51 (0,29–1,06)
	ID	3,21 (1,76–5,77)	3,23 (1,67–5,35)	0,76 (0,49–2,25)	0,85 (0,50–1,53)
	DD	3,63 (2,04–6,25)	2,61 (1,40–3,36)	0,84(0,44–1,95)	0,75 (0,60–1,26)
REN	GG	3,50 (1,65–5,66)	2,37 (1,55–4,08)	0,85 (0,58–1,77)	0,90 (0,50–1,53)
	GA	3,50 (1,96–5,72)	2,63 (1,56–5,53)	0,78 (0,43–2,51)	0,7 (0,49–1,26)
	AA	3,95 (3,16–5,95)	3,36 (2,21–4,73)	1,35 (0,58–2,41)**	0,61 (0,34–0,99)
AGT	MM	3,45 (2,07–5,56)	3,10 (2,32–4,54)	1,16 (0,42–2,18)	0,75 (0,55–1,32)
	MT	3,20 (1,53–5,09)	2,42 (1,47–5,35)	0,75 (0,51–1,84)	0,79 (0,34–1,25)
	TT	5,11 (3,18–6,88)***	2,21 (1,56–3,92)	1,31 (0,74–2,96)	0,60 (0,48–1,60)

Примечание. Данные представлены в виде Me (25–75 %).
*p < 0,05 при сравнении групп Г и К по сочетанию II генотипа гена ACE с микроядрами.
**p < 0,05 при сравнении групп Г и К по сочетанию AA генотипа гена REN с фазой микроядрами.
***p < 0,05 при сравнении групп Г и К по сочетанию MT генотипа гена AGT с апоптозом.

Выводы:

1. Установлено, что наличие гетерозиготных генотипов CT гена MTHFR, MT гена AGT и DD гена ACE у пациентов с АГ ассоциируется со снижением пролиферативной клеточной активности лейкоцитов, а генотип ID гена ACE сочетается с накоплением клеток в фазе G2/M.

2. Достоверное увеличение количества клеток с микроядрами и активация апоптоза лейкоцитов периферической крови у лиц с АГ сопряжены с носительством гомозиготных генотипов TT гена AGT, II гена ACE и AA гена REN.

ЛИТЕРАТУРА

1. Finegold J.A., Asaria P., Francis D.P. Mortality from ischaemic heart disease by country, region, and age: Statistic from World Health Organization and United Nationals // Int. J. Cardiol. 2013; 168 (2): 934–945.

2. ВОЗ. Сердечно-сосудистые заболевания. 2012. URL: http:// www.who.int./mediacentre/factsheets/fs317/ru/index/html.

3. Kearney P.M. Whelton M., Reynolds K. et al. Global burden of hypertension: analysis of worldwide // Lancet. 2005; 365: 217–223.

4. Шевченко О.В. Генетические основы патогенеза эссенциальной артериальной гипертензии // Саратов. науч.-мед. журн. 2011; 7 (1): 83–87.

5. Верткин А.Л., Скотников А.С. Жизнь – театр, а люди в нем – актеры: место антагонистов рецептора ангиотензина в терапии артериальной гипертензии // Consilium Medicum. 2010; 1.

6. Пузырев В.П. Генетика артериальной гипертензии (современные исследовательские парадигмы) // Клин. медицина. 2003; 1: 12–18.

7. Naber C.K., Siffer W. Genetics of human arterial hypertension // Minerva. Med. 2004; 5 (5): 347–356.

8. Naber C.K., Siffert W., Erbel R. et al. Genetics of human coronary vasomotion // Arch. Mal. Coeur. Vaiss. 2004; 97 (3): 255–260.

9. Lifton R.P., Garavi A.G., Geller D.S. et al. Molecular mechanisms of human hypertension // Cell. 2001; 104 (4): 545–556.

10. Furruck S., Malik M. Renin-angiotensin system: genes to bedside // Am. Heart. J. 1997; 134 (3): 514–527.

11. Минушкина Л.О. Гены ангиотензинпревращающего фермента, NO-синтетазы и эндотелина-I и гипертрофия миокарда левого желудочка у больных гипертонической болезнью коренных жителей Якутии // Кардиология. 2005; 1: 41–44.

12. Глотов А.С., Иващенко Т.Э., Образцова Г.И. и др. Зависимость между возникновением стабильной артериальной гипертензией у детей и полиморфизмом генов ренин-ангиотензиновой и кинин-брадикининовой систем // Молекулярная биология. 2007; 41 (1): 18–25.

13. Voitovich A.M., Afonin V.Yu., Krupnova E.V.et al. The level of aberrant cells in various tissues of bank vole depending on doses and radionuclide balance in organism // Tsitol. Genet. 2003; 37 (4): 10–15.

14. Чугунова Д.Н., Ослопов В.Н., Хайбуллин В.Ш. Апоптоз при артериальной гипертензии: друг или враг? // Практ. медицина. 2013; 3 (71): 37–40.

15. Hamet P., Richard L., Dam T.V. et al. Apoptosis in target organs of hypertension // Hypertension. 1995; 26: 642–648.

16. Hamet P. Proliferation and apoptosis in hypertension // Curr. Opin. Nephrol. Hypertens. 1995; 4: 1–7.

17. Hadrava V., Tremblay J., Hamet P. Abnormalities in growth characteristics of aortic smooth muscle cells in spontaneously hypertensive rats // Hypertension. 1989; 13: 589–597.

18. Saltis J., Agrotis A., Bobik A. Differential regulation by transforming growth factor-beta 1 of platelet-derived growth factor-stimulated proliferation of vascular smooth muscle cells from SHR and WKY rats // Clin. Exp. Pharmacol. Physiol. 1992; 19: 396–399.

19. Искандарова Л.Р. Молекулы межклеточной адгезии и клеточно-цитокиновая реакция апоптоза лимфоцитов периферической крови при артериальной гипертонии с метаболическими факторами: автореф. дис. … канд. мед. наук: 14.00.06 / Башкир. гос. мед. ун-т. Пермь, 2009. 23 с.

20. Мингазетдинова Л.Н., Искандарова Л.Р., Муталова Э.Г. и др. Влияние инсулинорезистентности и ожирения на клеточно-цитокиновый комплекс апоптоза у пациентов артериальной гипертонией: материалы Рос. нац. конгресса кардиологов. М., 2008. С. 406.

21. Искандарова Л.Р., Мингазетдинова Л.Н., Муталова Э.Г. Клеточно-цитокиновая реакция апоптоза у женщин артериальной гипертонией с метаболическими нарушениями / ГОУ ВПО «БГМУ», Общественная организация «Медики Башкортостана». 2008. С. 123–126.

22. Попова Н.А., Юшкова А.А., Баймак Т.Ю. Основы молекулярной генетики: учеб. пособие. Новосибирск, 2009. Ч. 2. 72 с.

23. Kockx M.M., Knaapen M.W. The role of apoptosis in vascular disease // J. Pathol. 2000; 190: 267–280.

24. Колмакова Т.С. и др. Использование микроядерного теста для оценки эффективности лечения аллергии у детей: метод. рекомендации. Ростов-н/Д, 2013. 31 с.

Поступила 03.07.2016

УДК 616.89-008.441.13-085

ФАРМАКОТЕРАПИЯ АЛКОГОЛЬНОЙ ЗАВИСИМОСТИ С УЧЕТОМ КЛИНИКО-ГЕНЕТИЧЕСКИХ ОСОБЕННОСТЕЙ ДОФАМИНОВОЙ НЕЙРОМЕДИАТОРНОЙ СИСТЕМЫ

А.В. Копытов*

Белорусский государственный медицинский университет, Минск

*Контактная информация. Тел.: +375 17 289 81 20, e-mail: rnpznark@tut.by

PHARMACOTHERAPY OF ALCOHOL DEPENDENCE BASED ON THE CLINICAL-GENETIC PECULIARITIES OF DOPAMINE NEUROTRANSMITTER SYSTEM

A.V. Kopytov*

Belarusian State Medical University, Minsk

*Corresponding author. Tel.: 375 17 289 81 20, e-mail: rnpznark@tut.by

Представлены результаты обследования лиц мужского пола Республики Беларусь, страдающих алкогольной зависимостью. Всем субъектам проведено клиническое, социально-психологическое, клинико-генетическое обследование, а также клинико-катамнестическое исследование на предмет обоснованности применения эффективных фармакотерапевтических мероприятий с учетом генетических особенностей дофаминовой нейромедиаторной системы. Наиболее актуальными генетическими полиморфизмами дофаминовой нейромедиаторной системы, ассоциированными с алкогольной зависимостью у лиц мужского пола, являются аллель Н и генотип НН гена COMT (rs4680). Представленные генетические полиморфизмы оказывают влияние на клинико-психологические особенности заболевания. Адекватное применение патогенетических фармакотерапии и психотерапии позволяют улучшить качество и продолжительность ремиссий.

КЛЮЧЕВЫЕ СЛОВА

алкогольная зависимость, генетические полиморфизмы, дофамин, лечение, эффективность

The article represents the results of examination of male population of Republic of Belarus suffering from alcohol dependence. All the subjects underwent clinical, social-psychological and clinical-genetic examination. Clinical-catamnestic study was performed focusing on justification of the use of effective pharmacological interventions based on genetic peculiarities of dopamine system of neurotransmission. The most suitable genetic polymorphisms of dopaminergic system that are associated with alcohol dependence in males include: allel H and genotype HH of COMT gene (rs4680). Genetic polymorphisms presented determine clinical-psychological traits of the disorder. Proper application of pathogenetic-based pharmacotherapy and psychotherapy allows enhancing the quality and duration of remissions.

KEYWORDS

alcohol dependence, genetic polymorphisms, dopamine, pharmacotherapy, treatment, efficacy

Алкогольная зависимость (АЗ) является классической биопсихосоциальной моделью болезни. Вклад каждой составляющей в формирование алкогольной зависимости точно не определен. Многочисленные наблюдения за различными династиями на протяжении ряда поколений в разные времена и в разных странах свидетельствовали о наличии наследственной предрасположенности к АЗ, наряду с психологическими и социальными факторами.

Неблагоприятные медицинские и социальные последствия злоупотребления алкоголем составляют серьезную проблему современного общества.

Исследования показывают, что гены отвечают примерно за половину риска для алкоголизма.

У человека несколько генов отвечают за риск развития алкоголизма. Есть гены, которые увеличивают риск, а также те, которые могут уменьшить его прямо или косвенно. Например, некоторые люди азиатского

происхождения несут вариант гена, который изменяет скорость метаболизма алкоголя, определяя такие симптомы, как приливы, тошнота и учащенное сердцебиение во время употребления спиртного. Многие люди, которые испытывают эти эффекты, избегают употребления алкоголя, что помогает защитить их от развития алкоголизма.

Основные результаты генетических исследований изначально основывались на анализе популяционных и близнецовых методов. Несмотря на относительно большое количество работ в этой области, биологические механизмы развития АЗ до сих пор недостаточно ясны.

Выполненные в последние годы полногеномные исследования больших групп семей, включая колаборативные COGA (Collaborative study On the Genetics of Alcoholism), позволили выделить отдельные районы хромосом и гены-кандидаты наследственного алкоголизма.

Регионы, ассоциированные с АЗ, обнаружены на 1, 2, 4, 5, 6, 7, 12, 14, 16 и 17-й хромосомах [14]. Пики ассоциаций с определенными участками хромосом согласуются с двумя основными группами генов предрасположенности к АЗ: алкоголь-специфических генов и генов, задействованных в регуляции работы нейрональных путей головного мозга [10], предопределяющих биологический риск развития зависимого поведения.

Степень тяжести и прогредиентности АЗ связана с фармакокинетикой этанола, особенностями процессов ацетилирования, в котором принимают участие НАД$^+$(никотинамидадениндинуклеотид)-зависимые дегидрогеназы (алкогольдегидрогеназа /ADH/ и альдегиддигидрогеназа /ALDH/), что установлено при изучении алкоголемических кривых. К алкоголь-специфическим генам относятся гены, кодирующие основные ферментативные системы метаболизма алкоголя: алкоголь- и альдегиддегидрогеназ [11].

От конкретного аллельного состояния генов, ответственных за метаболизирующие алкоголь ферменты, зависит их функциональная активность [6].

Вторую группу составляют гены, участвующие в работе нейрональных путей систем подкрепления (вознаграждения), поведенческого контроля и стрессовой устойчивости [10].

Одним из первых генов, участвующих в работе нейрональных путей, начал изучаться ген дофаминового рецептора DRD2, расположенный на 11-й хромосоме в области q22-23. Результаты исследований однонуклеотидной замены сайта узнавания рестриктазы TaqI в 3'-нетранслируемой области этого гена показали более высокую частоту аллеля TagA1 среди пациентов с АЗ в различных популяциях. Считается, что с данным полиморфизмом связано снижение плотности дофаминовых рецепторов 2-го подтипа и метаболизма глюкозы в мозгу [12].

Показано, что наличие генотипа A1A1 и аллеля А1 сдвигает вероятность АЗ у японцев на более ранний возраст. Повышение частоты аллеля А1 наблюдалось также среди детей, родители которых больны алкоголизмом. Данный аллель DRD2 ассоциирован с синдромом дефицита внимания, агрессивным поведением у подростков, шизофренией, что позволяет говорить об общности генетических механизмов с АЗ и фенотипически зачастую проявляется коморбидной патологией [13].

В ряде работ связь между дофаминовым аллелем А1 и АЗ не обнаружена, потому результаты исследований в целом считаются неоднозначными. Противоречивость результатов различных исследований объясняется отчасти неоднородностью изучавшихся групп пациентов и различным взаимодействием носительства полиморфизма гена DRD2 с внешними факторами или другими генами [7].

Связь с АЗ обнаружена также для других генов дофаминовой системы, задействованных в переносе (DAT1) и метаболизме (MAOA, COMT) дофамина. Ген MAOA, митохондриального фермента окислительного дезаминирования моноаминов, расположен в X хромосоме (Xp11.23-11.4). В зависимости от полиморфизма в LPR (linked polymorphism region) области промотора изменяется транскрипционная активность гена. Обнаружено, что в различных популяциях аллелем повышенного риска является либо 3R аллель MAOA*L, либо 4R аллель MAOA*H. Модификационное влияние данного гена проявляется в том, что при определенных комбинациях 3R аллеля с генотипами A1/A1 или A2/A2 по гену DRD2 может изменяться подтип алкоголизма [13].

Ген фермента COMT, играющий важную роль в распаде катехоламинов и, таким образом, в регуляции уровня дофамина в префронтальном кортексе, задействован в нейробиологических механизмах подкрепления, контроля поведения и устойчивости к стрессам, вовлеченных в АЗ и другие психические заболевания. Он расположен на 22-й хромосоме (22q11). Его распространенный функциональный полиморфизм Val158Met, локализованный в кодирующей последовательности, влияет на активность фермента. Частота аллеля Met158 низкоактивной COMT выше среди пациентов с АЗ, чем в контрольной популяции [9].

На уровень дофамина также влияет его транспортный белок (DAT), определяя длительность действия и уровень внеклеточного дофамина. Ген DAT1/SLC6A3, детерминированный на 5q15.3 хромосоме, включает 15 экзонов с варьирующим числом тандемных повторов (VNTR) в 15-м экзоне. Последовательность из 40 пн в разных популяциях может повторяться от 3 до 13 раз. Наиболее распространенными являются 9R (A9) и 10R повторные аллели. С 9R аллелем связана пониженная экспрессия DAT1 гена. Этот аллель также ассоциирован с алкоголизмом, так как чаще встречается среди больных людей [8].

В настоящий момент в фармакологическом реестре зарегистрировано около сотни препаратов для лечения АЗ. Часть их используется для снятия алко-

гольной интоксикации, вывода из запоя и купирования симптомов состояния отмены. Есть препараты, которые уменьшают тягу к алкоголю. Другие позволяют контролировать его употребление и созданы для профилактического приема. Медикаментозное лечение алкоголизма – это использование как препаратов, подавляющих влечение к алкоголю, так и препаратов, блокирующих возможность его потенциального приема. Бывает, требуется продолжительный длительный ежедневный прием лекарства или периодическое введение в организм его депо формы.

На сегодняшний день ученые изучают, как гены могут влиять на эффективность лечения алкоголизма. Исследования показали, что больные АЗ с изменениями в определенном гене позитивно реагируют на лечение, в то время как не обнаруживается специфических генов заболевания. Более полное понимание того, как гены влияют на результаты лечения, поможет врачам назначать эффективное лечение, чтобы помочь каждому пациенту.

Современные подходы к изучению сложной мозаичной генетической природы предрасположенности к алкоголизму, сочетающие возможности развивающейся геномики и понимания различных эндофенотипов болезни, позволят разрабатывать не только индивидуальные предиктивные меры, препятствующие развитию недуга, но и индивидуальные пути его лечения.

Цель исследования – обосновать эффективные методы терапии у лиц, страдающих алкогольной зависимостью, с учетом клинико-генетических особенностей, ассоциированных с функционированием дофаминовой нейромедиаторной системы, для обеспечения устойчивых ремиссий.

Для реализации поставленной цели необходимо решение *следующих задач*:

1) провести анализ клинико-патопсихологических, психологических и нейропсихологических данных в группе лиц, страдающих алкогольной зависимостью;

2) провести анализ биологических (включая генетические) факторов в группе лиц, страдающих алкогольной зависимостью;

3) с учетом полученных данных оценить обоснованное патогенетическое лечение в группах с различными терапевтическими стратегиями: в группе лиц с носительством однонуклеотидных полиморфизмов генов дофаминовой нейромедиаторной системы и применением индивидуальной патогенетической терапии; в группе лиц с носительством однонуклеотидных полиморфизмов генов дофаминовой нейромедиаторной системы без применения индивидуальной патогенетической терапии; в группе лиц без носительства однонуклеотидных полиморфизмов генов дофаминовой нейромедиаторной системы и с применением индивидуальной терапии, влияющей на дофаминовую нейромедиаторную систему; в группе лиц без носительства однонуклеотидных полиморфизмов генов дофаминовой нейромедиаторной системы без применения индивидуальной терапии, влияющей на дофаминовую нейромедиаторную систему;

4) проанализировать эффективность лечения пациентов в представленных группах сравнения;

5) обосновать рекомендации по лечению алкогольной зависимости и профилактике срывов с учетом клинико-биологических (в том числе медико-генетических) и психосоциальных факторов у данного контингента.

Дизайн исследования – катамнестическое поперечное исследование методом «случай – контроль» с направленным подбором групп.

Материал и методы. В 2010–2012 гг. рамках прикладного раздела ГКПНИ проведена НИР «Аспекты раннего алкоголизма: генетические, клинико-биологические и психосоциальные предпосылки развития в подростковом и молодом возрасте». В результате исследования осуществлено комплексное обследование лиц в возрасте 14–60 лет, страдающих алкогольной зависимостью. Все субъекты получали стационарную наркологическую помощь по поводу данного заболевания, им проведены клинико-генетические и социально-психологические обследования.

Для оценки выраженности АЗ и структуры алкогольных проблем использовались: Белорусский индекс тяжести аддикции для клинического применения и обучения (Б-ИТА, версия 2.3–3.01.2001) [руководство по ведению], тест на выявление нарушений, связанных с употреблением алкоголя (AUDIT) [наркология]. Анкетирование дополнялось клиническим интервью.

Для достижения поставленных целевых задач методом направленного отбора сформирована основная группа (ОГ) из 377 лиц мужского пола, страдающих АЗ (согласно исследовательским критериям МКБ-10 и пороговым значениям по тесту AUDIT $\geq$ 20 баллов). Группа контроля (КГ) состояла из 122 лиц мужского пола без алкогольных проблем. Субъекты ОГ имели следующие социально-демографические характеристики: средний возраст – 27,6 $\pm$ 0,4 года; данные AUDIT – 27,1 $\pm$ 0,3 балла; начало употребления алкоголя – 16,04 $\pm$ 0,1 года; начало систематического употребления – 21,2 $\pm$ 0,3 года; стаж АЗ – 6,6 $\pm$ 0,26 года; скорость формирования АЗ – 5,26 $\pm$ 0,2 года; наличие алкогольной наследственности – 64,1 %; проживало в городе – 57 %; среднее образование – 50,7 %, среднее специальное – 46,0 %, высшее – 3,3 %.

В рамках настоящей работы проведен анализ медицинской документации субъектов ОГ, ранее прошедших исследование в рамках вышеуказанной НИР 2010–2012 гг., на предмет анализа проводимого лечения, соответствия его патогенетическим механизмам (в основном с учетом генетических особенностей дофаминовой нейромедиаторной системы) и его эффективности (основной критерий – длительность ремиссий).

Проведен катамнестический анализ результатов лечения пациентов, которые прошли исследование в предыдущем проекте и повторно поступили

на госпитализацию в 2013–2014 гг. Данным субъектам была назначена патогенетическая терапия с учетом выявленных ранее клинико-генетических особенностей и произведен анализ длительности ремиссий. В качестве групп сравнения субъекты ОГ разделены на подгруппы, рандомизированные по критерию назначаемого лечения: с носительством однонуклеотидных полиморфизмов генов дофаминовой нейромедиаторной системы без применения индивидуальной патогенетической терапии; без носительства однонуклеотидных полиморфизмов генов дофаминовой нейромедиаторной системы и с применением индивидуальной терапии, влияющей на дофаминовую нейромедиаторную систему; без носительства однонуклеотидных полиморфизмов генов дофаминовой нейромедиаторной системы без применения индивидуальной терапии, влияющей на дофаминовую нейромедиаторную систему.

Из исследования исключались пациенты: с наличием остаточных признаков последствий алкогольной интоксикации; острыми и хроническими соматическими заболеваниями; систематически употребляющие другие (кроме алкоголя) психоактивные вещества; выраженными когнитивными нарушениями, мешающими целенаправленной коммуникации и выполнению тестов; коморбидными с алкогольной зависимостью первичными острыми и хроническими психическими и поведенческими расстройствами; другими расстройствами, препятствующими выполнению заданий; отказавшиеся от участия в исследовании.

В исследовании использованы следующие методики: мотивация потребления алкоголя (В.Ю. Завьялов, 1988); пятифакторный опросник личности; определение склонности к отклоняющемуся поведению (А.Н. Орел); диагностика потенциала коммуникативной импульсивности; стратегии совладающего поведения (R.S. Lasarus, S. Folkman, адаптация Л.И. Вассермана); перцептивная оценка типа стрессоустойчивости [1].

Молекулярно-генетические исследования соответствовали дизайну «случай – контроль» и проводились с использованием метода ПЦР по стандартной методике (молекулярная клиническая диагностика). В исследовании произведена оценка генотипов полиморфных локусов следующих генов: рецептора дофамина DRD2 (TaqIA), рецептора 2-го типа γ-амино-масляной кислоты GABRA2A (rs279826), переносчика серотонина SLC6A4 (5HTTLPR), фермента катехол-О-метилтрансферазы COMT (rs4680), фермента моноаминоксидазы А MAOA (LPR), белка транспортера дофамина DAT1/SLC6A3 (VNTR) и цитохрома CYP2E1 (rs2031920).

Результаты исследований обработаны с применением прикладного программного обеспечения SPSS for Windows 17.0 [4]. На первом этапе оценивали нормальность распределения цифровых показателей с использованием W-критерия Шапиро-Уилка, который показал, что данные подчинялись закону нормального распределения, что позволило применять параметрические методы статистической обработки. Различия между группами по статистическим показателям считали значимыми при $p < 0,05$. Статистическую обработку данных генетического исследования проводили с помощью калькулятора для расчета данных генетических исследований. Для расчета генетических моделей риска производили оценку частот генотипов на соответствие равновесию Харди-Вайнберга (Hardy-Weinberg equilibrium).

Результаты и обсуждение. При статистической обработке общих данных по частотному распределению актуальных генетических полиморфизмов, ассоциированных с алкогольной зависимостью, установлены следующие результаты в ОГ и КГ: генетический полиморфизм рецептора дофамина 2-го типа DRD2 (TaqIA) у 3,3 и 5,6 %; генотип GG гена рецептора 2-го типа γ-амино-масляной кислоты GABRA2A (rs279826) 23,5 и 27,8 %; генотип LL гена белков-переносчиков серотонина SLC6A4 (5HTTLPR) 42,3 и 40,2 %; генотип SS гена белков-переносчиков серотонина SLC6A4 (5HTTLPR) 12,3 и 13,6 %; генотип HH гена фермента катехол-О-метилтрансферазы COMT (rs4680) 19,8 и 20,2 %; генотип LL гена фермента катехол-О-метилтрансферазы COMT (rs4680) 29,0 и 28,2 %; гаплотип SS/A_1A_1 генов SLC6A4 (5HTTLPR) и рецептора дофамина DRD2 (TaqIA) 0,8 и 1,6 %. Данные частотного анализа не установили различий по частоте встречаемости указанных генетических полиморфизмов в ОГ и КГ, что определило тенденции к изучению влияния данных генетических полиморфизмов на клинические признаки заболевания.

В соответствии с целью и задачами настоящего исследования проводился анализ наиболее актуальных генетических полиморфизмов, ассоциированных с дофаминовой нейромедиаторной системой, в частности генетическими полиморфизмами гена фермента COMT (rs4680) и гена рецептора дофамина DRD2 (TaqIA).

Проведена качественная и количественная оценка первичного патологического влечения к алкоголю (ППВА) в зависимости от наличия отягощенной алкогольной наследственности (ОТН) по А3 и носительства однонуклеотидных полиморфизмов генов дофаминовой нейромедиаторной системы. Наличие ППВА не связано с ОТН по А3 ($\chi^2 = 1,08$; $p = 0,3$), но ассоциировано с носительством генотипа HH гена COMT (rs4680), а генотип LL достоверно чаще встречался у лиц с отсутствием ППВА.

Расчет частот аллелей гена COMT (rs4680) в ОГ при наличии ППВА свидетельствует об отсутствии отклонений распределения аллелей и генотипов гена COMT (rs4680) от закона Харди-Вайнберга. Анализ мультипликативной и общей моделей наследования дают основание утверждать, что аллель L выступает в роли протективного фактора, а аллель H и генотип HH – в качестве фактора риска ППВА в ОГ.

Рассмотрено распределение различных генотипов гена фермента COMT (rs4680) в ОГ с ППВА в соответствии с доминантной и рецессивной моделями. Базовые генетические модели: доминантная – пред-

полагает, что влияние на пенетрантность проявляется для гетерозигот и гомозигот в генотипах H/L и L/L, рецессивная – предполагает, что влияние на пенетрантность проявляется только для гомозигот: генотип H/H. По значениям χ^2, p и доверительных интервалов «рабочая модель» для группы контроля – рецессивная. Отсюда следует, что именно аллель H и генотип H/H, наследуемый по рецессивному типу, – факторы риска наследования ППВА в ОГ.

Расчет риска носительства аллеля H полиморфного локуса гена COMT (rs4680) в отношении различных видов ППВА показал, что аллель H гена фермента COMT (rs4680) повышает риск возникновения компульсивного (биологического) и постоянного ППВА (таблица).

Таблица

Показатели отношения шансов формирования различных видов ППВА в ОГ при носительстве аллеля H гена COMT (rs4680)

Вид ППВА	OR	95 % CI	p
Навязчивое	2,84	0,97–8,36	–
Компульсивное	3,14	1,09–9,01	< 0,05
Постоянное	4,8	1,08–21,35	< 0,05

В результате исследования установлены фенотипические клинические признаки алкогольной зависимости, ассоциированные с носительством генотипа HH и аллеля H гена COMT (rs4680). Наиболее значимыми из их являются: компульсивное, постоянное первичное патологическое влечение к алкоголю; сомнительное желание для оказания помощи; акцентуации личностных черт; делинквентное поведение; часто возникающие чувства подавленности и тревоги, а также склонность испытывать скуку; склонность к депрессиям; повышение уверенности в состоянии алкогольного опьянения; флегматичный либо холерический темперамент; личностные характеристики в виде практичности, напряженности, консерватизма, психастенические тенденции; наследственная отягощенность АЗ по линии матери.

По наличию названных фенотипических признаков можно определить носительство данного генетического полиморфизма, а соответственно, назначить эффективное патогенетическое лечение алкогольной зависимости.

С учетом связи повышенной моторной активности с генетическими факторами можно предположить опосредованное влияние на данный симптом биологических механизмов. Результаты статистического анализа указывают на наличие связи гипервозбудимости в детстве с полиморфными вариантами гена COMT (rs4680) (χ^2 = 6,17; p < 0,05). Полученные результаты позволяют предполагать, что субъекты с АЗ, носители полиморфных локусов COMT (rs4680), более склонны к гипервозбудимости в детстве, что в последующем влияет на формирование АЗ.

Рассчитали распределение аллелей H и L гена COMT (rs4680) у лиц с АЗ с гипервозбудимостью (ОГг) и без нее (ОГбг – сравнение), а также вероятную модель риска наследования гипервозбудимости по названному полиморфизму гена COMT (rs4680).

Данные свидетельствуют об отсутствии отклонений от закона Харди-Вейнберга для ОГбг и ОГг. Результаты мультипликативной и общей модели дают основание полагать, что аллель L и генотип LL гена COMT (rs4680) могут выступать в роли определенных условий для риска формирования гипервозбудимости в детстве у лиц подросткового и молодого возраста, у которых в последующем формируется АЗ.

В результате исследования установлены фенотипические клинические признаки алкогольной зависимости, ассоциированные с носительством генотипа LL и аллеля L гена COMT (rs4680), наиболее значимыми из которых являются: отсутствие первичного патологического влечения к алкоголю; отсутствие желания для оказания помощи; невротичность; гипервозбудимость и плаксивость в детстве; повышение уверенности при употреблении алкоголя; сангвинический темперамент; личностные характеристики в виде игривости, напряженности, любопытства, артистичности.

Носительство гаплотипа A1A1/SS полиморфных локусов генов DRD2 (TaqIA) и SLC6A4 (5HTTLPR) влияет на более высокий уровень атарактических и гедонистических МПА, которые являются ведущими у лиц, страдающих АЗ.

Несмотря на доказательства вовлеченности в патогенез алкогольной зависимости нейромедиаторных систем, отсутствуют общепринятые тенденции к назначению с лечебными целями фармакологических средств, влияющих на обмен нейромедиаторов, с учетом индивидуальных клинико-биологических особенностей пациентов.

При анализе медицинской документации установлено, что у 43,3 % имело место соответствие или частичное соответствие назначенной терапии патогенетическим механизмам и причинным факторам. У 26 % комплексное лечение соответствовало патогенетическим факторам, т. е. при назначении комплексного лечения какой-либо из методов был адекватен этиологическим механизмам заболевания. У 37,6 % (что составляет 9,8 % от всех пациентов, проходивших лечение) лечение было полностью адаптивным. Длительность ремиссии была достоверно дольше у субъектов, которым было назначена адекватная терапия (p < 0,05).

Среди ранее пролечившихся исследуемых лиц с адекватным патогенетическим лечением 63,4 % субъективно отмечали спонтанность ремиссии, 10,8 % связывали ее с терапевтическим эффектом, а 25,8 % – с вынужденными условиями. В группе лиц, где лечение не соответствовало патогенетическим механизмам и этиологическим факторам, соответствующие данные были следующими: 40,9/23,4/30,7 % (χ^2 = 13,8; p < 0,05).

При сравнении длительности ремиссий у субъектов с адекватным и несоответствующим патогенетическим лечением установлены достоверные отличия в показателях. У лиц, которые получали патогенетически обоснованное лечение, длительность ремиссии составляла 10,92 ± 1,03 месяца по сравнению со второй подгруппой, где период воздержания составлял 2,1 ± 0,3 месяца ($p < 0,05$).

Изучена длительность ремиссии в 4 группах пациентов: группе лиц с носительством однонуклеотидных полиморфизмов гена COMT (rs4680) и применением индивидуальной патогенетической терапии; группе лиц с носительством гена COMT (rs4680) без применения индивидуальной патогенетической терапии; группе лиц без носительства гена COMT (rs4680) и с применением индивидуальной терапии, влияющей на дофаминовую нейромедиаторную систему; группе лиц без носительства однонуклеотидных полиморфизмов гена COMT (rs4680) и без применения индивидуальной терапии, влияющей на дофаминовую нейромедиаторную систему.

Всего обследовано 232 человека. Среди пролечившихся лиц с адекватным патогенетическим лечением – 63,4 %. При наличии носительства однонуклеотидных полиморфизмов генов дофаминовой нейромедиаторной системы (аллеля H и генотипа HH гена COMT (rs4680) и назначении препаратов, влияющих на обмен дофамина, длительность ремиссии составляла 11,6 месяца у 40 %, а у 60 % наблюдалась более года (максимальный срок катамнеза на день обследования 1 год). В группе лиц с носительством однонуклеотидных полиморфизмов генов дофаминовой нейромедиаторной системы без применения индивидуальной патогенетической терапии средний срок ремиссии у 95 % составил менее 1 месяца, у оставшихся – 2,4 месяца. В группе лиц без носительства однонуклеотидных полиморфизмов генов дофаминовой нейромедиаторной системы и с применением индивидуальной терапии, влияющей на дофаминовую нейромедиаторную систему, длительность ремиссии у 86 % составила 1,2 месяца. У оставшихся – от 3 до 6 месяцев. В группе лиц без носительства однонуклеотидных полиморфизмов генов дофаминовой нейромедиаторной системы и без применения индивидуальной терапии, влияющей на дофаминовую нейромедиаторную систему, длительность ремиссии у 48 % составила 2,6 месяца, 26 % – 4,2 месяца, 36 % – 6,3 месяца.

Следует отметить, что у лиц с нормальным генотипическим статусом при назначении вышеуказанных антипсихотиков отмечали усиление первичного патологического влечения к алкоголю.

Заключение. Стабилизация ремиссий и профилактика рецидивов заболевания являются одними из ведущих направлений лечения АЗ. О ремиссии можно говорить, когда есть воздержание от алкоголя более месяца, устойчивая ремиссия – когда ремиссия заболевания наблюдается более года. К сожалению, при тяжелом развитии алкоголизма ремиссия вообще является редкостью. Первый год воздержания от алкоголя пациенты испытывают сложности физиологического, психологического и социального характера. Устойчивая ремиссия не гарантирует, что после срыва сразу же не наступит рецидив заболевания, т. е. после эпизодического употребления алкоголя не наступит запой. Только при ремиссии более 5 лет не всегда, но, как правило, запой наступает не сразу.

В настоящее время в наркологии наиболее часто используются такие показатели успешности лечения пациентов, как устойчивость, длительность и качество возникших ремиссий, хотя на сегодняшний день отмечается тенденция, согласно которой критериями эффективной ремиссии могут считаться снижение количества употребления, а также уменьшение социальных и соматических последствий заболевания.

Исследование показало, что при проведении лечебных мероприятий обеспечение эффективной ремиссии возможно лишь с учетом ряда факторов: индивидуальных личностных особенностей пациента, клинических особенностей заболевания, патогенетических механизмов формирования заболевания и их влияния на выбор эффективных методов лечения.

Целесообразно дальнейшее детальное изучение длительности ремиссии заболевания в зависимости от применяемого метода лечения и клинических особенностей, а также факторов, приводящих к рецидиву заболевания, что позволит выявить наиболее эффективные методы лечения пациентов с АЗ.

Таким образом, у лиц мужского пола Республики Беларусь, страдающих алкогольной зависимостью:

1) носительство генотипа HH или аллеля H (наследуемых по рецессивному типу) гена COMT (rs4680) повышает риск компульсивного (OR = 3,14; 95 % CI [1,09–9,01]; $p < 0,05$) и постоянного (OR = 4,8; 95 % CI [1,08–21,34]; $p < 0,05$) первичного патологического влечения [2, 4, 60, 70];

2) носительство гаплотипа A1A1/SS полиморфных локусов генов DRD2 (TaqIA) и SLC6A4 (5HTTLPR) влияет на более высокий уровень атарактических и гедонистических мотивов употребления алкоголя ($p < 0,05$);

3) применение патогенетической фармакотерапии с носительством однонуклеотидных полиморфизмов генов дофаминовой нейромедиаторной системы (аллеля H и генотипа HH гена COMT (rs4680)) при назначении препаратов, влияющих на обмен дофамина, обеспечивает достоверно более длительные ремиссии по сравнению с другими группами лиц, где патогенетические механизмы не учитывались;

4) при назначении препаратов, влияющих на обмен дофамина (из группы нейролептиков), при отсутствии генетических полиморфизмов генов дофаминовой нейромедиаторной системы (аллеля H и генотипа HH гена COMT (rs4680)) длительность ремиссий была минимальной и отмечалось субъективно значимое усиление первичного патологического влечения к алкоголю. Аналогичная ситуация

наблюдалась и в группе лиц с носительством однонуклеотидных полиморфизмов генов дофаминовой нейромедиаторной системы без применения индивидуальной патогенетической терапии;

5) средние значения длительности ремиссии имели субъекты без носительства однонуклеотидных полиморфизмов генов дофаминовой нейромедиаторной системы и без применения индивидуальной терапии;

6) применение адекватной патогенетической терапии с учетом клинико-биологических (генетических) особенностей более эффективно обеспечивает увеличение продолжительности ремиссий.

ЛИТЕРАТУРА

1. Копытов А.В. Клинико-биологические и психосоциальные аспекты раннего алкоголизма в подростковом и молодом возрасте у лиц мужского пола Республики Беларусь: автореф. дис. … д-ра мед. наук: 14.01.27 / БГМУ. Минск, 2013. 44 с.

2. Молекулярная клиническая диагностика. Методы: пер. с англ. / под ред. С. Херрингтона, Дж. Макги. М.: Мир, 1999. 558 с.

3. Наркология: нац. рук. / под ред. Н.Н. Иванца, И.П. Анохиной, М.А. Винниковой. М.: ГЭОТАР-Медиа, 2008. 720 с.

4. Наследов А.Д. SPSS: компьютерный анализ данных в психологии и социальных науках. СПб.: Питер, 2007. 416 с.

5. Поздняк В.Б. и др. Руководство по ведению протоколов Белорусского индекса тяжести аддикции (B-ASI) // Бел. нарколог. проект [Электронный ресурс]. URL: http://www.beldrug.org.

6. Скугаревская Е.И. Клинико-биологические корреляции в системе оценки прогредиентности алкоголизма: дис. … д-ра мед. наук: 14.00.45 / Мин. гос. мед. ин-т. М., 1990. 497 с.

7. Batel P., Houchi H., Daoust M. et al. A haplotype of the DRD1 gene is associated with alcohol dependence // Alcohol. Clin. Exp. Res. 2008; 32 (4): 567–572.

8. Köhnke M.D., Zabetian C.P., Anderson G.M. et al. Association of the dopamine transporter gene with alcoholism // Alcohol Alcohol. 2005; 40 (5): 339–342.

9. Kahunas J. et al. Association between the functional polymorphism of catechol-Omethyltransferase gene and alcohol consumption among social drinkers // Alcohol. Clin. Exp. Res. 2000; 24: 135–139.

10. Ducci F., Goldman D. Genetic approaches to addiction: genes and alcohol // Addiction. 2008; 103 (9): 1414–1428.

11. Ehrig T., Bosron W.F., Li T.K. Alcohol and aldehyde dehydrogenase // Alcohol Alcohol. 1990; 25 (2/3): 105–116.

12. Smith L., Dennis A., Howells K. et al. Meta-analysis of the association of the Taq1A polymorphism with the risk of alcohol dependency: a HuGE Gene-Disease Association Review // Am. J. Epidemiol. 2008; 167 (2): 125–138.

13. Huang S.Y., Lin W.W., Wan F.J. et al. Monoamine oxidase-A polymorphisms might modify the association between the dopamine D2 receptor gene and alcohol dependence // J. Psychiatry Neurosci. 2007; 32 (3): 185–192.

14. Ramoz N., Schumann G., Gorwood P. Genetic and pharmacogenetic aspects of alcohol-dependence // Curr. Pharmacogenom. 2006; 4: 19–32.

Поступила 15.02.2016

УДК 618.3:616.441-006]-036-092.17

КАЧЕСТВО ЖИЗНИ БЕРЕМЕННЫХ ЖЕНЩИН С ВЫСОКОДИФФЕРЕНЦИРОВАННЫМ РАКОМ ЩИТОВИДНОЙ ЖЕЛЕЗЫ

Е.В. Богомазова*, О.А. Воронец

Республиканский научно-практический центр медицинской экспертизы и реабилитации, Городище

*Контактная информация. Тел.: +375 17 542 45 40, e-mail: wsv909@tut.by

QUALITY OF LIFE OF PREGNANT WOMEN WITH HIGH-DIFFERENTIATED CANCER OF A THYROID GLAND

E.V. Bogomazova*, O.A. Voronets

National Science and Practice Centre of Medical Assessment and Rehabilitation, Gorodische

*Corresponding author. Тел.: +375 17 542 45 40, e-mail: wsv909@tut.by

Представлены показатели качества жизни беременных женщин с радикально пролеченным до наступления беременности высокодифференцированным раком щитовидной железы. В ходе исследования авторами установлена динамика показателей качества жизни женщин во время беременности и в послеродовом периоде. Выделены периоды, которые заслуживают внимания со стороны специалистов, выявлены группы пациенток, нуждающихся в первоочередных психотерапевтических мероприятиях, проведена оценка эффективности реабилитационных мероприятий данной категории женщин.

КЛЮЧЕВЫЕ СЛОВА

высокодифференцированный рак щитовидной железы, качество жизни, беременность, реабилитация

The article presents the quality of life of pregnant women with radically treated before pregnancy high-differentiated cancer of a thyroid gland. In the course of the study the authors found the dynamics of indicators of quality of life of women during pregnancy and the postpartum period. Allocated periods that deserve attention from professionals, revealed the group of patients who need urgent psychotherapeutic activities, assessed the effectiveness of rehabilitation of this category of women.

KEYWORDS

high-differentiated cancer of a thyroid gland, quality of life, pregnancy, rehabilitation

Введение. В настоящее время понятие «качество жизни» (КЖ) прочно вошло в медицину и используется как в научных исследованиях, так и в клинической практике.

По определению Всемирной организации здравоохранения (ВОЗ), качество жизни – это восприятие индивидами их положения в жизни в контексте культуры и системе ценностей, в которых они живут, в соответствии с целями, ожиданиями, нормами и заботами. Качество жизни человека определяется физическими, социальными и эмоциональными факторами, имеющими для него важное значение и на него влияющими.

Качество жизни – это степень комфортности человека как внутри себя, так и в рамках своего общества [6, 8].

Понятие «качество жизни» логично и структурно связано с определением здоровья, данным ВОЗ. Согласно определению ВОЗ, «здоровье» – это интегральная характеристика физического, психологического, эмоционального и социального функционирования пациента, основанная на его субъективном восприятии [5].

В последнее время все более актуальным является исследование качества жизни человека в вопросах медицинской реабилитации.

Наряду с медико-биологическими показателями, полученными в результате клинических, лабораторных исследований, важный момент – субъективная оценка пациентом своего состояния здоровья. Клинические исследования не могут в полной мере отразить самочувствие человека и его функционирование в повседневной жизни, оценка которых так необходима на этапе реабилитации.

Исследование качества жизни позволяет определить, как сам человек оценивает различные стороны своей жизни, в какой степени имеющиеся у него заболевания и ограничения нарушают его повседневное функционирование, так как именно психологические факторы (взгляд человека на свое здоровье

и состояние) во многом определяют социальную активность и потерю трудоспособности.

Особое значение занимает оценка КЖ онкологических пациентов. В 1990 г. на совместной конференции Национального института рака США (NCI) и Американского общества клинической онкологии (ASCO) определено, что качество жизни является вторым по значимости критерием оценки результатов противоопухолевой терапии после выживаемости [4].

Рак щитовидной железы (РЩЖ) относится к числу тех злокачественных новообразований, которые, несмотря на относительно благоприятное течение, привлекают к себе внимание специалистов разного профиля (как медицинского, так и социального), и степень этого внимания весьма высока [3].

Рак щитовидной железы является актуальной медико-социальной проблемой для нашей республики. Беларусь входит в группу стран с высоким уровнем заболеваемости (9,1 на 100 000 населения, по данным ВОЗ, GLOBOCAN 2012) [7], а среди европейских стран и вовсе занимает второе место по уровню заболеваемости после Литвы.

В структуре всех вновь выявленных злокачественных новообразований в Республике Беларусь частота рака щитовидной железы в 2013 г. составила 2,5 %, среди мужчин – 0,9 %, среди женщин – 4,1 %. Женщины значительно чаще заболевают злокачественными новообразованиями щитовидной железы, чем мужчины. Так, за период 2009–2013 гг. показатель заболеваемости женского населения в 4,3 раза выше, чем мужского [7].

Данная ситуация еще более усложняется, когда речь идет о женщинах репродуктивного возраста. Остро встает вопрос беременности женщин, в анамнезе которых есть радикально пролеченный рак щитовидной железы. У специалистов возникает ряд вопросов по ведению беременности этой категории женщин.

Лица, заболевшие раком щитовидной железы, подвергаются психотравмирующему воздействию с момента постановки диагноза и в дальнейшем на этапе лечения, что часто становится причиной развития невротических расстройств и расстройств адаптации.

Основной причиной данных расстройств является пролонгированное стрессовое воздействие, связанное с оперативным вмешательством и его последствиями, как патофизиологическими (послеоперационные осложнения, необходимость длительной заместительной терапии тироидными гормонами), так и психологическими (представлениями о предстоящем фатальном исходе заболевания, собственном «уродстве» вследствие послеоперационного рубца на шее), состоянием утраты важного органа), а также изменением социального статуса, частично социальной дезадаптацией (группа инвалидности) [2].

Беременность является уникальным периодом в жизни женщины, для которого характерны как физиологические, так и психологические изменения в организме.

Предполагается, что беременность и роды могут быть провоцирующими факторами в развитии уже имеющихся скрытых нарушений вследствие перенесенного радикального лечения высокодифференцированного рака щитовидной железы до наступления беременности. Воздействие беременности на психику женщин порой столь значительно, что некоторые авторы рассматривают это явление как кризисную ситуацию.

Таким образом, сам факт возникновения беременности при наличии онкологического заболевания создает определенные проблемы, которые могут привести к дезадаптации женщин.

Несмотря на множество исследований качества жизни в онкологии, вопросы по изучению качества жизни беременных женщин, перенесших оперативное лечение по поводу рака щитовидной железы, недостаточно изучены.

Исследование качества жизни на протяжении беременности и в послеродовом периоде поможет получить актуальную картину физического и психологического функционирования данной категории женщин и скорректировать при необходимости программу реабилитации.

Цель исследования – выявить и оценить показатели качества жизни беременных женщин с радикально пролеченным до наступления беременности высокодифференцированным раком щитовидной железы.

Материал и методы. Основной контингент обследуемых лиц составили женщины во время беременности и в послеродовой период с выявленным и радикально пролеченным до наступления беременности высокодифференцированным раком щитовидной железы (основная группа, n = 60). Возраст женщин – от 21 до 40 лет, средний возраст – 30,04 ± 1,04 года. Средняя продолжительность заболевания – 6,53 ± 0,71 года, а средний возраст на момент выявления высокодифференцированного РЩЖ и радикального лечения – 24,02 ± 1,32 года.

В контрольную группу вошли здоровые женщины во время беременности и в послеродовой период (n = 35). Средний возраст в контрольной группе – 28,63 ± 0,83 года (от 19 до 40 лет).

Оценка качества жизни проводилась в каждом триместре беременности и послеродовом периоде.

В ходе исследования качества жизни использовались следующие методики: экспресс-методика оценки качества жизни NAIF (P.Y. Hugenholtz and R.A.M. Erdman, 1995) [1] и адаптированная русскоязычная версия Short Form-36 (SF-36) [5].

Методика SF-36 разработана J.E.Ware et al. в 1988 г. Опросник включает 36 пунктов и состоит из 8 частей. Первая часть посвящена физическому функционированию организма, вторая затрагивает ролевую деятельность пациента, в третьей вопросы касаются телесной боли, четвертая часть – общее здоровье, в пятой вопросы относятся к жизнеспособности, шестая часть затрагивает социальное функциониро-

вание человека, который проходит опрос, седьмая посвящена эмоциональному состоянию и, наконец, восьмая касается психического здоровья. Опросник составлен таким образом, что, чем выше человек оценивает тот или иной показатель, тем лучше его психическое и физическое состояние. Показатели каждой шкалы варьируют между 0 и 100, где 100 баллов представляет полное здоровье.

Количественно оцениваются показатели:

1. *Физическое функционирование* (ФФ) – отражает степень, в которой физическое состояние ограничивает возможность человека выполнять физическую нагрузку (самообслуживание, ходьба, подъем по лестнице, переноска тяжестей и т. п.). Низкие показатели по этой шкале свидетельствуют, что физическая активность пациента значительно ограничивается состоянием его здоровья.

2. *Ролевое функционирование, обусловленное физическим состоянием* (РФФ) – определяет влияние физического состояния на повседневную ролевую деятельность (работа, выполнение повседневных обязанностей). Низкие показатели по этой шкале свидетельствуют, что повседневная деятельность значительно ограничена физическим состоянием пациента.

3. *Интенсивность боли* (ИБ) и ее влияние на способность заниматься повседневной деятельностью, включая работу по дому и вне дома. Низкие показатели по этой шкале свидетельствуют, что боль значительно ограничивает активность пациента.

4. *Общее состояние здоровья* (ОСЗ) – оценка пациентом своего состояния здоровья в настоящий момент и перспектив лечения. Чем ниже балл по этой шкале, тем ниже субъективная оценка состояния здоровья.

5. *Жизненная активность* (ЖА) – подразумевает ощущение себя полным сил и энергии или, напротив, обессиленным. Низкие баллы по этой шкале свидетельствуют об утомлении пациента, снижении жизненной активности.

6. *Социальное функционирование* (СФ) – социальная активность, определяется степенью, в которой физическое или эмоциональное состояние ограничивает социальную активность (общение). Низкие баллы свидетельствуют о значительном ограничении социальных контактов, снижении уровня общения в связи с ухудшением физического и эмоционального состояния.

7. *Ролевое функционирование, обусловленное эмоциональным состоянием* (РЭС), – предполагает оценку степени, в которой эмоциональное состояние мешает выполнению работы или другой повседневной деятельности. Низкие показатели по этой шкале интерпретируются как ограничение в выполнении повседневной работы, обусловленное ухудшением состояния.

8. *Психическое здоровье* (ПЗ) – характеризует настроение, наличие депрессии, тревоги, общий показатель положительных эмоций. Низкие показатели по этой шкале свидетельствуют о наличии депрессивных, тревожных переживаний, психическом неблагополучии.

Экспресс-методика NAIF содержит 24 вопроса, на которые человек должен выбрать одно из семи утверждений. Каждое утверждение необходимо оценить по семибалльной шкале, где 1 означает «да, очень», 7 – «совсем нет». Полученные результаты переводятся в проценты.

Интегральный показатель (ИП) качества жизни имеет шесть составляющих: физическая мобильность (ФМ), эмоциональное состояние (ЭС), сексуальная функция (СФ), социальное функционирование (Соц. Ф), познавательная функция (ПФ), экономическое положение (ЭП).

У человека с сохранными функциями интегральный показатель качества жизни равен 100 %. Незначительное снижение качества жизни – до 75 %, умеренное – до 50 %, значительное – до 25 %, резко выраженное – менее 25 %.

Статистическая обработка материала проводилась с помощью пакета программ Microsoft Excel, Statistica 6.0. Достоверные различия (p) определялись с использованием U-критерия Манна-Уитни (для независимых выборок) и Т-критерия Вилкоксона (для зависимых выборок).

Результаты и обсуждение. При исследовании показателей качества жизни группы беременных женщин с выявленным и радикально пролеченным до наступления беременности раком щитовидной железы с использованием экспресс-методики NAIF были получены следующие результаты.

Интегральный показатель качества жизни составил 68 % в первом триместре, 67 % – во втором, 65 % – в третьем, что свидетельствует об умеренном снижении качества жизни на протяжении всей беременности. Показатель экономического положения (83, 81 и 77 % по триместрам соответственно) снижен незначительно. Другие составляющие показателя качества жизни в первом, втором и третьем триместре снижены умеренно: физическая мобильность (64, 63 и 60 %), эмоциональное состояние (68, 73 и 71 %), сексуальная функция (71, 68 и 63 %), социальные функции (63, 63 и 59 %), познавательная функция (73, 71 и 72 %).

Что касается послеродового периода, то у женщин не отмечается значительных изменений показателей качества жизни по сравнению с периодом беременности, показатели находятся в прежней степени снижения. Умеренно снижены: интегральный показатель (68 %), физическая мобильность (67 %), эмоциональное состояние (71 %), сексуальное (70 %), социальное (63 %) и когнитивное (67 %) функционирование. Показатель экономического положения находится на уровне незначительного снижения (83 %).

Исследование качества жизни группы женщин с выявленным раком щитовидной железы, диагностированным и радикально пролеченным до наступления

беременности с использованием методики SF-36, позволило выявить ряд особенностей.

Показатель физического функционирования в первом триместре снижен незначительно (80 из 100), во втором (74 из 100) и третьем (60 из 100) – умеренно. В первом и втором триместре беременности физическое состояние умеренно влияет на ролевое функционирование женщин (56, 56), а в третьем его воздействие значительно (33). Эмоциональное состояние умеренно ограничивает повседневную деятельность на протяжении трех триместров (61, 68, 63). Социальное функционирование снижено незначительно (75, 81, 78 по триместрам). Также у женщин наблюдаются средние оценки общего состояния здоровья (64, 58, 65), жизненной активности (55, 61, 58) и психического здоровья (65, 70, 68). Показатель интенсивности боли свидетельствует о ее незначительном влиянии на повседневную деятельность в первом (79), втором (79) и третьем (78) триместре беременности.

Анализируя послеродовой период, можно отметить, что не наблюдалось значительных изменений показателей качества жизни по сравнению с периодом беременности. Исключение составили показатели качества жизни, характеризующие физическое функционирование: физическое функционирование снижено незначительно (84), незначительное влияние на повседневную деятельность оказывают физическое состояние (71) и болевые ощущения (78). Незначительно снижено и социальное функционирование (81). Однако показатели общего состояния здоровья (65), жизненной активности (58), психического здоровья (67) находились на прежнем уровне. Эмоциональное состояние умеренно влияет на повседневную деятельность (67).

Показатели качества жизни беременных женщин с диагностированным и радикально пролеченным до беременности высокодифференцированным раком щитовидной железы представлены в табл. 1.

С возрастанием срока беременности физическое состояние женщин все больше ограничивает их способность выполнять физические нагрузки и оказывает все большее влияние на повседневную ролевую деятельность.

Сравнительный анализ показателей качества жизни женщин в течение беременности позволил установить тенденцию к снижению показателей физического компонента здоровья (физическая мобильность, физическое функционирование, сексуальные функции, ролевое физическое функционирование) от первого к третьему триместру. Статистически достоверные различия ($p < 0,05$) выявлены по показателям физического функционирования и общего состояния здоровья в первом и втором триместре. Также достоверно различаются ($p < 0,05$) в первом и третьем триместре показатели физической мобильности, сексуальных и социальных функций, физического функционирования и ролевого физического функционирования, во втором и третьем триместре – показатели физической мобильности, физического функционирования, ролевого физического функционирования, общего состояния здоровья.

Что касается показателей качества жизни психологического компонента здоровья, то следует отметить, что наименьшие результаты отмечены в первом триместре беременности. Наблюдается тенденция к повышению показателей, характеризующих психологическое состояние и функционирование (эмоциональное состояние, жизненная активность, ролевое эмоциональное состояние, психическое здоровье, социальное функционирование) во втором триместре и незначительное снижение показателей к третьему. Достоверно выше ($p < 0,05$) показатели жизненной активности и психического здоровья во втором триместре по сравнению с первым. Статистически достоверные различия ($p < 0,05$) выявлены по показателям социального функционирования, жизненной активности, психического здоровья во втором и третьем триместре.

У беременных женщин наблюдается снижение интегрального показателя качества жизни к третьему триместру беременности ($p < 0,05$).

Ряд показателей качества жизни в послеродовом периоде выше ($p < 0,05$) по сравнению с периодом беременности, в частности физическая мобильность, физическое функционирование, ролевое физическое функционирование, общее состояние здоровья (по сравнению со вторым триместром). Однако следует отметить, что это показатели физического компонента здоровья, на показатели психологического компонента данная тенденция не распространяется. Если говорить о когнитивном функционировании, то данный показатель достоверно ниже в послеродовом периоде ($p < 0,05$).

Проведенный сравнительный анализ показателей качества жизни основной (беременных женщин с радикально пролеченным до наступления беременности высокодифференцированным раком щитовидной железы) и контрольной группы (беременные женщины, не имеющие онкологического заболевания в анамнезе) позволил выявить особенности, отраженные в табл. 2 и 3.

Проведенный сравнительный анализ показателей качества жизни позволяет говорить о тенденции к более высоким показателям в контрольной группе по сравнению с основной группой в первом триместре беременности. Достоверно выше ($p < 0,05$) были показатели физической мобильности, экономического положения и общего состояния здоровья. Во втором и третьем триместре беременности данной тенденции не наблюдается, за исключением оценки своего состояния здоровья, которая достоверно выше ($p < 0,05$) в контрольной группе на протяжении беременности.

Особого внимания заслуживает послеродовый период. Большинство показателей качества жизни основной группы достоверно ниже ($p < 0,05$) показателей контрольной. Это интегральный показатель,

Таблица 1

Показатели качества жизни беременных женщин с диагностированным и радикально пролеченным до беременности ВРЩЖ

Показатели качества жизни	I триместр (M ± m)	II триместр (M ± m)	III триместр (M ± m)	Послеродовой период (M ± m)
Методика NAIF (%)				
Интегральный показатель качества жизни	67,66 ± 1,86*	67,44 ± 1,75*	64,93 ± 1,95	67,68 ± 1,96*
Физическая мобильность	63,84 ± 2,03*	62,64 ± 1,92*∨	59,62 ± 2,06∨	67,11 ± 2,01*
Эмоциональное состояние	67,66 ± 2,64	73,24 ± 2,37	71,22 ± 2,94	71,06 ± 2,8
Сексуальная функция	71,03 ± 3,66*	68,18 ± 3,03	62,64 ± 3,4	69,64 ± 3,54
Социальные функции	63,31 ± 1,98*	62,55 ± 1,99*	59,29 ± 2,29	63,19 ± 2,46
Познавательная функция	72,96 ± 2,36∨	71,38 ± 2,4	71,54 ± 2,36	67,26 ± 3,09
Экономическое положение	83,33 ± 2,87	81,3 ± 2,72	76,92 ± 3,07	82,73 ± 2,97
Методика SF-36				
Физическое функционирование	80,09 ± 2,45*^∨	74,1 ± 2,75*∨	59,9 ± 3,02∨	84,48 ± 2,8
Ролевое физическое функционирование	56,02 ± 5,6*∨	55,5 ± 4,7*∨	32,84 ± 5,58∨	70,83 ± 5,28
Общее состояние здоровья	64,74 ± 2,27^	58,3 ± 1,97*∨	65,29 ± 2,10	65,19 ± 2,73
Жизненная активность	55,19 ± 2,78^	60,8 ± 2,5*	57,55 ± 2,16	58,13 ± 2,83
Социальное функционирование	75,23 ± 3,09	80,75 ± 2,86	77,94 ± 2,39	80,73 ± 2,93
Ролевое эмоциональное функционирование	61,11 ± 5,34	68,0 ± 5,21	63,4 ± 5,99	66,67 ± 6,04
Психическое здоровье	65,41 ± 2,58^	69,52 ± 2,25*	67,53 ± 2,23	67,25 ± 2,9
Интенсивность боли	79,24 ± 2,94	79,24 ± 3,21	78,18 ± 3,1	77,79 ± 3,6

*p < 0,05 – статистически значимые различия между данным триместром и третьим триместром беременности;
^p < 0,05 – статистически значимые различия между данным триместром и вторым триместром беременности;
∨p < 0,05 – статистически значимые различия между данным триместром и послеродовым периодом.

физическая мобильность, эмоциональное состояние, социальное, когнитивное функционирование, экономическое положение, физическое функционирование, общее состояние здоровья, жизненная активность, психическое здоровье. Данный период требует пристального контроля со стороны специалистов, так как в это время исчезают факторы, обусловленные беременностью и непосредственно влияющие на функционирование и состояние женщин. И если в контрольной группе с исчезновением данных факторов все показатели качества жизни повышаются, то в основной данная тенденция распространяется только на физическое функционирование.

Следующий этап исследования – выявление взаимосвязи социальных, клинических характеристик и показателей качества жизни. Для анализа были выделены следующие характеристики: возраст, образование, семейное положение, планирование беременности, опыт предыдущих родов, хирургическое лечение, срок заболевания, возраст на момент операции, проведение курса РИТ, уровень ТТГ.

Среди отмеченных характеристик проведенное исследование позволило выявить две, которые непосредственно оказывают влияние на качество жизни беременных женщин с ВРЩЖ в анамнезе: возраст и планирование беременности (табл. 4 и 5).

Показатели качества жизни снижаются с увеличением возраста женщин. Ряд показателей – интегральный, эмоциональное состояние, познавательная функция, ролевое физическое функционирование, психическое здоровье – в первом триместре выше (p < 0,05) у женщин в возрасте до 30 лет по сравнению с женщинами от 31 до 40 лет.

Значительным фактором, влияющим на качество жизни, является факт планирования или непланирования беременности. Так, среди женщин, планировавших

Таблица 2

Показатели качества жизни основной и контрольной группы (методика NAIF, %)

Показатели качества жизни	Триместр	Группы	
		основная (M ± m)	контрольная (M ± m)
Интегральный показатель качества жизни	I	67,66 ± 1,86	72,7 ± 1,88
	II	67,44 ± 1,75	68,34 ± 2,82
	III	64,93 ± 1,95	65,95 ± 2,60
	Пр. п	67,68 ± 1,96*	81,27 ± 2,43
Физическая мобильность	I	63,84 ± 2,03*	70,07 ± 2,12
	II	62,64 ± 1,92	65,63 ± 3,02
	III	59,62 ± 2,06	60,89 ± 3,08
	Пр. п	67,11 ± 2,01*	80,4 ± 2,66
Эмоциональное состояние	I	67,66 ± 2,64	75,61 ± 3,1
	II	73,24 ± 2,37	76,12 ± 3,55
	III	71,22 ± 2,94	76,73 ± 3,5
	Пр. п	71,06 ± 2,8*	88,76 ± 3,35
Сексуальная функция	I	71,03 ± 3,66	72,24 ± 4,15
	II	68,18 ± 3,03	61,38 ± 4,74
	III	62,64 ± 3,4	56,06 ± 4,77
	Пр. п	69,64 ± 3,54	74,72 ± 4,72
Социальные функции	I	63,31 ± 1,98	65,78 ± 2,33
	II	62,55 ± 1,99	63,24 ± 2,73
	III	59,29 ± 2,29	60,32 ± 2,55
	Пр. п	63,19 ± 2,46*	72,61 ± 3,11
Познавательная функция	I	72,96 ± 2,36	78,29 ± 2,38
	II	71,38 ± 2,4	70,54 ± 3,81
	III	71,54 ± 2,36	70,13 ± 3,71
	Пр. п	67,26 ± 3,09*	86,26 ± 2,83
Экономическое положение	I	83,33 ± 2,87*	91,43 ± 2,3
	II	81,3 ± 2,72	87,05 ± 3,1
	III	76,92 ± 3,07	85,71 ± 2,85
	Пр. п	82,73 ± 2,97*	96,7 ± 1,82

*$p < 0,05$ – статистически значимые различия между основной и контрольной группой.

рождение ребенка, в первом триместре беременности практически все показатели качества жизни (за исключением показателя интенсивности боли) выше, чем у женщин, в чьи планы беременность не входила. По ряду показателей были выявлены достоверные различия ($p < 0,05$) между группами, среди которых интегральный показатель, физическая мобильность, эмоциональное состояние, сексуальная функция, экономическое положение, жизненная активность, общее состояние здоровья, психическое здоровье.

Представленные выше результаты исследования свидетельствуют о необходимости проведения психологической реабилитации беременных женщин

Таблица 3

Показатели качества жизни основной и контрольной группы (методика SF-36)

Показатели качества жизни	Триместр	Группы	
		основная (M ± m)	контрольная (M ± m)
Физическое функционирование	I	80,09 ± 2,45	82,71 ± 2,30
	II	74,1 ± 2,75*	65,63 ± 3,57
	III	59,9 ± 3,02	58,94 ± 3,87
	Пр. п	84,48 ± 2,8*	94,42 ± 1,31
Ролевое функционирование, обусловленное физическим состоянием	I	56,02 ± 5,6	59,29 ± 6,57
	II	55,5 ± 4,7	46,88 ± 6,99
	III	32,84 ± 5,58	35,61 ± 6,53
	Пр. п	70,83 ± 5,28	82,69 ± 6,9
Общее состояние здоровья	I	64,74 ± 2,27*	72,97 ± 2,96
	II	58,3 ± 1,97*	73,41 ± 3,05
	III	65,29 ± 2,10*	74,24 ± 2,81
	Пр. п	65,19 ± 2,73*	88,23 ± 2,33
Жизненная активность	I	55,19 ± 2,78	57,0 ± 3,28
	II	60,8 ± 2,5	60,78 ± 3,46
	III	57,55 ± 2,16	62,58 ± 3,06
	Пр. п	58,13 ± 2,83*	70,0 ± 4,19
Социальное функционирование	I	75,23 ± 3,09	76,07 ± 3,74
	II	80,75 ± 2,86	76,17 ± 4,29
	III	77,94 ± 2,39	74,62 ± 3,98
	Пр. п	80,73 ± 2,93	82,69 ± 4,16
Ролевое функционирование, обусловленное эмоциональным состоянием	I	61,11 ± 5,34	71,43 ± 6,28
	II	68,0 ± 5,21	68,75 ± 5,78
	III	63,4 ± 5,99	67,68 ± 6,72
	Пр. п	66,67 ± 6,04	79,48 ± 7,41
Психическое здоровье	I	65,41 ± 2,58	70,29 ± 3,53
	II	69,52 ± 2,25	73,75 ± 3,21
	III	67,53 ± 2,23	73,70 ± 3,11
	Пр. п	67,25 ± 2,9*	81,07 ± 3,72
Интенсивность боли	I	79,24 ± 2,94	75,91 ± 4,03
	II	79,24 ± 3,21	76,16 ± 4,38
	III	78,18 ± 3,1	75,45 ± 3,58
	Пр. п	77,79 ± 3,6	83,84 ± 3,94

*p < 0,05 – статистически значимые различия между основной и контрольной группой.

Таблица 4

Показатели качества жизни (по методике NAIF, %) основной группы в I триместре беременности в зависимости от социальных и клинических показателей (M)

Показатель		Интегральный показатель	Физическая мобильность	Эмоциональное состояние	Сексуальная функция	Социальные функции	Познавательная функция	Экономическое положение
Возраст	до 30 лет	71	67	74	72	66	77	88
	31–40 лет	64*	61	61*	70	60	68*	79
Планирование беременности	да	71	67	74	76	65	75	87
	нет	62*	58*	56*	63*	61	69	76*

*p < 0,05 – достоверные различия между социальными группами.

Таблица 5

Показатели качества жизни (по методике SF-36) основной группы в I триместре беременности в зависимости от социальных и клинических показателей (M)

Показатель		Физическое функционирование	Ролевое физическое функционирование	Ролевое эмоциональное функционирование	Социальное функционирование	Жизненная активность	Общее состояние здоровья	Интенсивность боли	Психическое здоровье
Возраст	до 30 лет	81	67	64	81	59	64	81	70
	31–40 лет	80	44*	58	69	51	64	77	61*
Планирование беременности	да	81	61	65	79	61	67	76	72
	нет	79	48	55	69	46*	57*	85	55*

*p < 0,05 – достоверные различия между социальными группами.

с радикально пролеченным высокодифференцированным раком щитовидной железы. При этом речь идет о психологической реабилитации, начинающейся на этапе первого посещения врача-гинеколога в целях исключения аборта, спровоцированного тяжелым психологическим состоянием.

17 женщин основной группы (беременные женщины с радикально пролеченным до беременности высокодифференцированным раком щитовидной железы) прошли курс реабилитации в Республиканском научно-практическом центре медицинской экспертизы и реабилитации (РНПЦ МЭ и Р) с применением психотерапевтических методик.

Показатели качества жизни данных пациенток представлены на рис. 1 и 2.

Проведенный сравнительный анализ показателей качества жизни пациенток основной группы (n = 17, 28,3 %) до и после курса реабилитации в РНПЦ МЭ и Р свидетельствует о тенденции к увеличению практически всех показателей качества жизни (за исключением сексуальной функции) после курса реабилитации. Достоверное повышение (p < 0,05) выявлено: по интегральному показателю, показателям физической мобильности, общего состояния здоровья, жизненной активности, психического здоровья беременных после курса реабилитации.

Рис. 1. Показатели качества жизни пациенток, прошедших курс реабилитации в РНПЦ МЭ и Р (по методике NAIF)

Рис. 2. Показатели качества жизни пациенток, прошедших курс реабилитации в РНПЦ МЭ и Р (по методике SF-36)

Данные результаты позволяют говорить об улучшении как физического, так и психологического функционирования женщин, об изменении оценки своего состояния.

Нами было проведено исследование показателей качества жизни у женщин основной группы в послеродовом периоде в зависимости от прохождения курса реабилитации (рис. 3 и 4).

Проведенный анализ показателей качества жизни женщин в послеродовом периоде в зависимости от наличия курса реабилитации во время беременности позволяет говорить о тенденции к более высоким показателям психологического компонента здоровья (ролевое эмоциональное функционирование, жизненная активность, психическое здоровье, эмоциональное состояние) у женщин, прошедших курс реабилитации, по сравнению с женщинами с отсутствием такого опыта. Данные результаты свидетельствуют о необходимости проведения реабилитационных мероприятий во время беременности. Предпочтительным периодом для этого является первый триместр.

Выводы:

1. Состояние беременных женщин с радикально пролеченным до наступления беременности высокодифференцированным раком щитовидной железы характеризуется снижением показателей качества жизни. Показатели физического компонента здоровья снижаются с возрастанием срока беременности и незначительно повышаются в послеродовом периоде. Показатели психологического компонента здоровья возрастают во втором триместре, затем снова снижаются, оставаясь на прежнем уровне в послеродовом периоде. Данные колебания показателей и отсутствие тенденции к улучшению в послеродовом периоде заслуживают внимания со стороны специалистов.

2. Для беременных женщин с радикально пролеченным высокодифференцированным раком щитовидной железы характерна тенденция к более низким показателям по сравнению с беременными женщинами, не имеющими онкологического заболевания в анамнезе в первом триместре беременности и по-

Рис. 3. Показатели качества жизни пациенток в послеродовом периоде в зависимости от курса реабилитации (по методике SF-36)

Рис. 4. Показатели качества жизни пациенток в послеродовом периоде в зависимости от курса реабилитации (по методике NAIF)

слеродовом периоде. Для данной категории женщин предпочтительно использование методов психологической реабилитации в первом триместре беременности и послеродовом периоде.

3. Выявлены группы женщин, нуждающихся в первоочередных психотерапевтических реабилитационных мероприятиях: женщины в возрасте старше 30 лет и женщины, не планировавшие рождение ребенка. Для данных категорий женщин необходимо проведение психологического консультирования при первом посещении врача-гинеколога.

4. У пациенток, прошедших курс медицинской реабилитации с использованием методов психологической реабилитации, отмечается тенденция к улучшению большинства показателей качества жизни, что свидетельствует об эффективности проводимых мероприятий, улучшении состояния и функционирования женщин, изменении ими оценки своего здоровья.

ЛИТЕРАТУРА

1. Аринчина Н.Г., Пушкарев А.Л. Методика оценки качества жизни больных и инвалидов: метод. рекомендации. Минск, 2000. 25 с.

2. Григорьева И.В. Психологическая реабилитация пациентов, прооперированных по поводу рака щитовидной железы, как составная часть интегративного подхода к обеспечению и восстановлению здоровья // Эколог. антропология: ежегодник. 2005; 271–273.

3. Григорьева И.В. Динамика основных показателей, характеризующих качество жизни пациентов, оперированных по поводу рака щитовидной железы // Психотерапия и клин. психология. 2008; 3 (26): 3–9.

4. Ионова Т.И., Новик А.А, Сухонос Ю.А. Понятие качества жизни больных онкологического профиля // Онкология. 2000; 1–2: 25–27.

5. Новик А.А., Ионова Т.И. Руководство по исследованию качества жизни в медицине. М.: ОЛМА Медиа Групп, 2007. 320 с.

6. Проценко А.С., Абишев Р.Э. Современные тенденции оценки эффективности медицинской помощи через критерий качества жизни // Современная медицина: тенденции развития: материалы Междунар. заоч. конф., 2 апр. 2012 г., Новосибирск, 2012. С. 92–95.

7. Статистика онкологических заболеваний в Республике Беларусь (2004–2013) / под. ред. О.Г. Суконко. Минск: РНПЦ ОМР им. Н.Н. Александрова, 2014. 382 с.

8. Хмара И.М. Использование шкалы ВОЗ для оценки качества жизни больных дифференцированным раком щитовидной железы // Здравоохранение. 2005; 5: 19–22.

Поступила 13.10.2015

УДК616.61-036.12-085: [577.161.2+577.175.4

ВИТАМИН D, ПАРАТГОРМОН И ХРОНИЧЕСКАЯ БОЛЕЗНЬ ПОЧЕК

Н.В. Карлович[1]*, Т.В. Мохорт[2]

[1]Городской эндокринологический диспансер, Минск
[2]Белорусский государственный медицинский университет, Минск

*Контактная информация. Тел.: +375 29 629 81 43, e-mail: natkarlovich@gmail.com

VITAMIN D, PARATHORMONE AND CHRONIC KIDNEY DISEASE

N.V. Karlovich[1]*, T.V. Mokhort[2]

[1]City Endocrinological Dispensary,Minsk
[2]Belarusian State Medical University, Minsk

*Corresponding author. Тел.: +375 29 629 81 43, e-mail: natkarlovich@gmail.com

Представлены литературные данные о номенклатуре витамина D, его классических и неклассических эффектах в организме человека. Проанализирована доказательная база в отношении референсных границ нормы витамина D, взаимосвязи его уровня в крови с уровнем паратгормона и развитием гиперпаратиреоза. Приведены особенности проявления дефицита витамина D при хронической болезни почек, а также современные подходы к коррекции дефицита витамина D.

КЛЮЧЕВЫЕ СЛОВА

витамин D, паратгормон, гиперпаратиреоз, хроническая болезнь почек

KEYWORDS

vitamin D, parathormone, hyperparathyroidism, chronic kidney disease

Published data about vitamin D nomenclature, its classical and non-classical effects in human body are represented in this article. Evidence base of vitamin D reference interval of normal level, its relation to parathormone level and hyperparathyroidism were analyzed. Peculiarities of vitamin D deficiency in chronic kidney disease and contemporary methods of correction of vitamin D deficiency are given.

Введение. Хроническая болезнь почек (ХБП) сопровождается прогрессивным нарушением фосфорно-кальциевого баланса в крови и тканях и изменением уровней гормонов, регулирующих минеральный обмен. Термин «минеральные и костные нарушения, ассоциированные с ХБП» относится к проявлениям клинического синдрома, включающего изменения сывороточных уровней фосфора (P), кальция (Ca), паратгормона (ПТГ), витамина D, нарушения формирования и ремоделирования кости с повышением риска переломов, внескелетную кальцификацию мягких тканей и артерий с увеличением риска сердечно-сосудистых осложнений [1]. Эндокринной составляющей данного синдрома является вторичный гиперпаратиреоз (ВГПТ) – заболевание, в основе которого лежит повышенная секреция ПТГ паращитовидными железами вследствие дефицита витамина D и нарушений фосфорно-кальциевого обмена [2]. Цель настоящего обзора – обобщение существующих литературных данных о роли витамина D в организме, в формировании ВГПТ при ХБП, а также о подходах к диагностике и профилактике дефицита витамина D.

Номенклатура и метаболизм витамина D. Термином «витамин D» объединяют группу сходных по химическому строению синтетических, а также существующих в природе форм витамина D. В природе существует две основные формы витамина D. Первая из них – витамин D2 (эргокальциферол или дегидротахистерол) – содержится в продуктах преимущественно растительного происхождения, поступает в организм с пищей. Вторая – витамин D3 (холекальциферол) – образуется в коже из провитамина D3 (7-дегидрохолестерина) под действием ультрафиолетового облучения. У взрослого человека в сутки образуется в среднем 0,3–1,0 мкг витамина D3. Далее витамин D подвергается гидроксилированию в печени (25-гидроксилаза) с образованием промежуточной биологически малоактивной формы 25(OH)D (кальцидиол). Последующая реакция гидроксилирования с превращением 25(OH)D в 1,25(OH)2D осуществляется при участии фермента 1α-гидроксилазы. В основном этот процесс происходит в почечной ткани, в клетках проксимальных отделов почечных канальцев. В результате образуется активный метаболит витамина D – кальци-

триол (1,25(OH)2D). Основными регуляторами активности 1α-гидроксилазы являются ПТГ и фактор роста фибробластов-23: первый – повышает активность, второй – снижает. Инактивация кальцитриола происходит с помощью фермента 24-гидроксилазы [3].

Номенклатура витамина D представлена в табл. 1.

Эффекты витамина D в организме реализуются посредством связывания с рецептором витамина D (VDR). Основной стимулятор VDR – кальцитриол, однако установлено, что кальцидиол также обладает сродством к VDR. Его аффинность к рецептору значительно слабее, но он оказывает значимое влияние на VDR в связи с более высокой концентрацией в крови (табл. 2).

Основные функции витамина D. Эффекты витамина D в организме человека делятся на классические и неклассические, или плейотропные.

Классические эффекты наиболее изучены и возникают в результате стимуляции VDR в основных органах и тканях-мишенях (паращитовидные железы, кишечник, кости, почки) циркулирующим в крови кальцитриолом, образованным в результате гидроксилирования в почечной ткани. В данном случае речь идет об эндокринных эффектах кальцитриола, который называют также D-гормоном:

кальциемическое действие за счет повышения абсорбции Ca в кишечнике и реабсорбции в почках;

повышение кишечной абсорбции фосфатов;

подавление экспрессии гена ПТГ и снижение синтеза ПТГ;

подавление пролиферации клеток ПЩЖ;

восстановление чувствительности клеток ПЩЖ к супрессивному действию Ca^{2+};

минерализация костной ткани, повышение минеральной плотности кости.

Дефицит витамина D (как кальцитриола, так и кальцидиола) приводит нарушению реализации вышеперечисленных эффектов и вызывает развитие гипокальциемии, ВГПТ, а также к снижению минерализации костной ткани, мышечной слабости и повышению риска падений, что увеличивает риск переломов [4, 6].

В настоящее время получены доказательства, что в дополнение к классическому метаболическому пути активации 25(OH)D в 1,25(OH)2D в почках существует периферический метаболический путь. Фермент 1α-гидроксилаза обнаружен в коже, гладкомышечных клетках сосудов, поджелудочной железе, сердце, клетках иммунной системы, кишечника и соединительной ткани, соответственно, в этих тканях также происходит синтез кальцитриола. В вышеперечисленных тканях имеется также VDR, что определяет местное воздействие образующегося в этих тканях кальцитриола и реализацию так называемых неклассических,

Таблица 1

Номенклатура витамина D [4]

Термин	Виды стеролов
Витамин D	Холекальциферол: D3 Эргокальциферол: D2
25-Гидроксивитамин D	Кальцидиол: 25(OH)D3 Эркальцидиол: 25(OH)D2
Прогормон агониста рецептора витамина D	Альфакальцидол: 1(OH)D3, синтетический прогормон Доксеркальциферол: 1(OH)D2, синтетический прогормон
Агонист рецептора витамина D	Кальцитриол: 1,25(OH)2D3, натуральный агонист Парикальцитол: 19nor,1,25(OH)2D2, синтетический агонист Максакальцитол: 22oxa,1,25(OH)2D3, синтетический агонист

Таблица 2

Различия характеристик кальцидиола и кальцитриола [5]

Витамин D	Аффинность к VDR	Сывороточный уровень	Период полураспада, ч	Риск гиперкальциемии
25(OH)D	1*	9,0–34,0 нг/мл (500)*	480	Низкий
1,25(OH)2D	100–200*	20–60 пг/мл (1)*	15	Высокий

*Относительная величина.

или плейотропных, или аутокринных эффектов витамина D [6]. Известно, что из метаболизирующегося в течение дня количества 25(OH)D значительная часть превращается в 1,25(OH)2D по периферическому пути, и, что очень важно, это не приводит к значимому повышению кальцитриола в крови в связи с местным действием и быстрой местной деградацией [7].

Аутокринные эффекты витамина D реализуются в основном по двум метаболическим путям: ренин-ангиотензин-альдостероновой системы (РААС) и ядерного фактора каппа-B (NF-*κ*B). NF-*κ*B – транскрипционный фактор, модулирующий активность генов, вовлеченных в иммунный ответ, процессы воспаления и фиброза. Активация метаболического пути NF-*κ*b запускает каскад реакций с участием цитокинов, хемокинов и других факторов воспаления, которые усугубляют поражение тканей, в первую очередь почечной. В ряде исследований показано, что витамин D ингибирует активацию NF-*κ*B, в результате наблюдается обратная связь между уровнем витамина D и выраженностью системного воспаления в тканях [7]. Витамин D путем воздействия на метаболический путь NF-*κ*B реализует противовоспалительное и иммуномодулирующее действие, регулирует рост и дифференцировку клеток, улучшает чувствительность к инсулину и липидный обмен.

Действие витамина D на РААС, преимущественно путем подавления экспрессии гена ренина, приводит к снижению АД, улучшает состояние миокарда, уменьшает сосудистую кальцификацию и альбуминурию. Последние исследования подтвердили взаимосвязь остеопороза и атеросклероза как двух процессов, прогрессирующих параллельно и приводящих к кардиоваскулярным событиям и переломам. Немалую роль во взаимосвязи данных патологических процессов играет витамин D. Недостаточный уровень витамина D, с одной стороны, стимулирует РААС, приводя к развитию АГ, гипертрофии левого желудочка, сосудистой кальцификации и ассоциирован с развитием сердечной недостаточности [6], с другой – дефицит витамина D ассоциирован с эндотелиальной дисфункцией, которая является важнейшим фактором развития атеросклероза.

Открытие аутокринных эффектов усилило важность достаточной обеспеченности организма человека витамином D. Дефицит витамина D, в силу ослабления его аутокринных эффектов, ассоциирован с повышенным риском ряда хронических заболеваний, таких как диабет, хронические инфекции, гипертензия, кардиоваскулярные болезни, онкологические и иммунные заболевания, снижение функции почек [5, 7].

Определение обеспеченности витамином D. Считается, что запасы витамина D в организме наилучшим образом отображает сывороточный уровень кальцидиола, а не кальцитриола [8]. Исследования показали, что дефицит витамина D достоверно отражает низкий уровень 25(OH)D, а определение 1,25(OH)2D выглядит многообещающим, но это недостоверно, дорого и недоступно для большинства клиницистов [9].

ВОЗ предлагает считать дефицитом витамина D уровень 25(OH)D ниже 20 нг/мл (50 нмоль/л), нормальным – 30 нг/мл (75 нмоль/л) и выше [10]. Рекомендации эндокринологического общества США по диагностике, лечению и профилактике дефицита витамина D, опубликованные в 2011 г., соответствуют критериям ВОЗ: предложено считать дефицитом уровень 25(OH)D менее 20 нг/мл; недостаточностью – 21–29 нг/мл [8]. Нормальным предлагается считать диапазон уровня витамина D в пределах 30–80 нг/мл (75–200 нмоль/л) [4]. Некоторые авторы предлагают считать нижней границей дефицита уровень <10 нг/мл (25 нмоль/л), недостаточностью – 10–30 нг/мл (25–75 нмоль/л) [4, 6].

При определении границы нормы авторы в основном руководствуются результатами исследований, где определен уровень 25(OH)D, при котором уровень ПТГ снижается и достигает плато. Граница нормы 30 нг/мл (75 нмоль/л) предложена по результатам обзоров опубликованных исследований взаимосвязи 25(OH)D и ПТГ, в которых признано, что уровень ПТГ начинает расти при снижении уровня витамина D ниже 30 нг/мл [8, 11]. Вместе с тем при использовании такого критерия в мире можно констатировать эпидемию недостаточности витамина D, поскольку предположительно 1 млрд жителей планеты имеют уровень витамина D ниже нормального [8].

Уровень витамина D, который является разделом между нормой и дефицитом, до сих пор выступает предметом дискуссии. Подвергается сомнению утверждение, что ПТГ снижается и достигает плато при уровне 25(OH)D 30 нг/мл и выше, а также что уровень ПТГ является основным фактором, который следует учитывать при поиске границы нормы витамина D. Как известно, повышенный уровень ПТГ ассоциирован с потерей костной ткани, однако в настоящее время нет четкого ответа на вопрос, какой уровень ПТГ оказывает патологическое влияние на костную ткань [8].

Исследования взаимоотношения ПТГ и витамина D проводятся с 1988 г. Действительно, в большинстве из них показана обратная зависимость 25(OH)D и ПТГ [12, 13, 14]. Однако есть исследования, в которых продемонстрировано, что около 75 % пациентов с дефицитом витамина D имеют нормальный уровень ПТГ [15]. В работе Elsammak et al. [16] не установлено корреляции уровня ПТГ с уровнем витамина D. До сих пор неясно, какой уровень 25(OH)D приводит к повышению ПТГ.

Sai et al. [17] проанализировано 70 работ, опубликованных в Medline в период с 1988 по 2000 г. Отмечена достаточно большая вариабельность уровня 25(OH)D, при котором ПТГ достигает плато или максимально супрессирован: 10 нг/мл и менее – в одной работе, 10–15 нг/мл – в 7, 15–20 нг/мл – в 18, 20–25 нг/мл – в 6, 25–30 нг/мл – в 10, 30–35 нг/мл – в 10, 35–40 нг/мл – в 4, 40–50 нг/мл – в 3, отсутствие плато в 8, в 3 иссле-

дованиях не установлено взаимосвязи между 25(OH)D и ПТГ. Авторы провели собственное исследование, которое включало 488 постменопаузальных женщин европеоидной расы. Было показано, что уровень ПГТ снижается при повышении уровня 25(OH)D с 6 до 60 нг/мл без признаков плато [17].

В ряде исследований выполнен анализ взаимосвязи резорбции кости и/или наличия переломов с уровнем 25(OH)D. В 3 довольно крупных работах показано, что риск переломов у тех, кто имеет 25(OH)D менее 16–20 нг/мл, достоверно выше, чем у лиц с уровнем 25(OH)D ≥ 25–30 нг/мл [18, 19, 20].

В исследовании Osteoporotic Fractures in Men Study частота потери массы кости в бедре была выше в группе пациентов с уровнем 25(OH)D менее 20 нг/мл в сравнении с теми, кто имел более высокий уровень 25(OH)D [21]. В Германии при аутопсии у 675 мужчин и женщин была проведена костная биопсия и показано, что около 96,5 % случаев остеомаляции возникает при уровне 25(OH)D менее 20 нг/мл и практически 99 % случаев при уровне 25(OH)D менее 25 нг/мл [22].

В работе Sai et al. повышенная резорбция кости по данным анализа биохимических маркеров костного метаболизма была ассоциирована с уровнем 25(OH)D менее 18 нг/мл. Показано, что костные маркеры сывороточный остеокальцин и NTx/Cr мочи начинают снижаться при уровне 25(OH)D 6–18 нг/мл и достигают плато при уровне 18–60 нг/мл [17].

Вышеизложенное подтверждает концепцию, что для поддержания здоровья кости достаточен уровень 25(OH)D более 20 нг/мл, нет данных в поддержку необходимости более высокого уровня 25(OH)D (30 нг/мл).

Тот факт, что, с одной стороны, уровень ПТГ не всегда повышен у лиц с дефицитом витамина D, а в ряде случаев у пациентов с повышенным ПТГ уровень витамина D в норме[17], указывает, что ряд других факторов модулируют обратную зависимость ПТГ и 25(OH)D. Так, на корреляцию ПТГ и 25(OH)D оказывают влияние потребление и абсорбция кальция. В ряде исследований продемонстрировано, что при низком уровне 25(OH)D (<10–20 нг/мл) низкое потребление кальция (800 мг/день) ассоциировано с повышением уровня ПТГ, но при более высоких концентрациях 25(OH)D потребление кальция не имеет эффекта в отношении ПТГ [17, 23]. Анализ исследований, оценивавших эффекты применения кальция и витамина D, показал, что их назначение оказывает супрессивное воздействие на ПТГ в случае изначально низкой концентрации витамина D, при этом эффект применения кальция более выражен. Применение витамина D эффективно лишь у лиц с низким потреблением кальция [17]. Таким образом, потребление кальция имеет важное значение для супрессии ПТГ, особенно при низком уровне 25(OH)D.

Другие факторы, влияющие на уровень ПТГ и интервал уровня 25(OH)D, при котором ПТГ максимально супрессирован, включают возраст и пол [2, 24], расу, уровень СКФ [25, 26], сопутствующий дефицит магния [27], массу тела [26], уровни лептина [28], тестостерона (у мужчин), инсулиноподобного фактора 1, курение [26]. Влияние возраста может быть объяснено ассоциированным низким потреблением кальция, снижением его абсорбции. С возрастом происходит снижение почечной функции, что усугубляет дефицит кальцитриола, приводит к компенсаторному повышению ПТГ, развитию ВГПТ и остеопенического синдрома [17].

В настоящее время существует несколько методик определения витамина D. Важно знать, насколько сопоставимы и равнозначны результаты этих методик. В исследовании [2] у 200 пациентов выполнено определение уровня 25(OH)D3 разными методами: иммунохемилюминесцентный анализ (CLIA), радиоиммунный анализ (RIA) и высокоэффективная жидкостная хроматография – жидкостная хроматография с масс-спектрометрией (HPLC LC-MS). Показано, что нормальный уровень витамина D (более 30 нг/мл) имели 6, 9 и 22 % обследованных с помощью CLIA, RIA и HPLC LC-MS соответственно. Исследование продемонстрировало четкую связь ВГПТ с уровнем 25(OH)D, но уровень последнего зависит от применяемой методики определения. При использовании любого из 3 методов все пациенты с нормальным уровнем 25(OH)D имели нормальный уровень ПТГ. Однако у пациентов с дефицитом 25(OH)D ПТГ был повышен в 51,8, 66,2 и 100 % при использовании метода CLIA, RIA и HPLC LC-MS соответственно. Только при использовании метода HPLC LC-MS, считающегося в настоящее время «золотым стандартом» определения витамина D, все пациенты с дефицитом витамина D имели повышенный уровень ПТГ [2].

Дефицит витамина D и ХБП. Распространенность дефицита витамина D среди пациентов с ХБП очень высока, увеличивается с прогрессированием почечной недостаточности и достигает 70–85 % [3, 5, 7].

Ранее считалось, что одним из основных патогенетических механизмов формирования ВГПТ при ХБП является дефицит кальцитриола, возникающий вследствие снижения активности фермента 1α-гидрокилазы в почечной ткани при снижении почечной функции. В настоящее время известно, что этот процесс развития ВГПТ при ХБП значительно более сложен. Помимо дефицита кальцитриола, дефицит кальцидиола также оказывает значимое влияние. В исследовании у 929 пациентов с додиализными стадиями ХБП была изучена взаимосвязь между уровнями ПТГ и 25(OH)D. Среднее пороговое значение витамина D, при котором происходит рост ПТГ, составило 8 нг/мл с верхним пределом 95 % ДИ 20 нг/мл. В ходе линейной регрессии были учтены СКФ, возраст, раса, уровень ионизированного кальция. Авторы сделали вывод, что уровень 25(OH)D выше 20 нг/мл достаточен для контроля уровня ПТГ, при снижении концентрации витамина D ниже данного предела уровень ПТГ начинает быстро расти [29].

Плейотропные эффекты витамина D у пациентов с ХБП в силу ряда причин имеют более важное

значение, чем в общей популяции. Так, известно, что при ХБП риск кардиоваскулярных событий в 3,5 раза выше. Именно кардиоваскулярные заболевания являются наиболее частыми причинами заболеваемости и смертности данной категории [30]. Доказано, что ХБП – независимый фактор кардиоваскулярных заболеваний [31]. Низкий уровень витамина D ассоциирован у пациентов с ХБП с эндотелиальной дисфункцией и высокой кардиоваскулярной смертностью. В ряде исследований показано позитивное влияние лечения витамином D в течение 6–8 недель на показатели эндотелиальной функции сосудов [32], поэтому положительные эффекты витамина D в отношении кардиоваскулярной патологии особенно важны у пациентов с ХБП.

Пациенты с ХБП имеют иммунные нарушения [33]. Это приводит к предрасположенности к инфекциям, а также к хроническому системному воспалению, что как известно, негативно сказывается на кардиоваскулярной системе. Витамин D оказывает плейотропное воздействие на иммунную систему: модулирует ее адаптивность. В экспериментальных исследованиях витамин D снижает активность Th1- и Th17-лимфоцитов, созревание дендритных клеток, что приводит к общему эффекту снижения системного воспалительного ответа, в том числе в сосудах и сердце [34, 35].

В ряде исследований продемонстрировано, что дефицит витамина D ассоциирован с ускорением прогрессирования снижения функции почек, почечной анемией и ее ответом на лечение препаратами эритропоэтина [5]. Показано, что применение витамина D снижает прогрессию альбуминурии у пациентов с диабетической нефропатией.

Профилактика и лечение дефицита витамина D. Для поддержания нормальной обеспеченности витамином D в рекомендациях Эндокринологического общества США предложено использовать 600 ЕД витамина D у лиц в возрасте 1–70 лет и 800 ЕД в возрасте 71 год и старше. Однако как минимум 50 % людей для достижения уровня витамина D 75 нмоль/л (30 нг/мл) требуется применение более 1000 ЕД витамина D в сутки. В рекомендациях IOF принято, что для поддержания уровня витамина D более 30 нг/мл людям в возрасте 60 лет и старше необходим ежедневный прием 800–1000 ЕД витамина D [6]. Показано, что каждые назначенные 100 МЕ витамина D повышают уровень 25(OH)D на 1 нг/мл.

Недавние исследования продемонстрировали, что потребление витамина D, превышающее рекомендованную норму, имеет ряд положительных эффектов, безопасно, не приводит к гиперкальциемии, даже при использовании высоких доз витамина D (холекальциферол, эргокальциферол). Американский институт медицины определил верхний предел суточной дозы витамина D 4000 МЕ. В рекомендациях Эндокринологического общества указано, что назначение витамина D в дозе до 4000 МЕ не требует контроля его уровня в крови, а максимальной суточной дозой для взрослых предлагается считать 10 000 МЕ [8].

Токсичность витамина D не является проблемой, поскольку имеется большая разница между дозой, необходимой для восполнения дефицита, и дозой, вызывающей токсические эффекты [6]. Известно, что порог безопасной концентрации в крови витамина D – 100 мг/мл, что многократно превышает нормальный уровень, до достижения данной концентрации признаки токсичности, в том числе гиперкальциемии, не проявляются [5]. Период полувыведения витамина D составляет 480 ч (20 сут). С учетом данных о безопасности применения высоких доз витамина D, а также длительного периода полувыведения возможно применение препаратов витамина D 1 раз в день, 1 раз в неделю, 1 раз в несколько недель с соответствующим увеличением разовой дозы. Европейское эндокринологическое общество при установленном дефиците витамина D рекомендует применение 50 000 МЕ 1 раз в неделю в течение 8 недель, далее – 1500–2000 МЕ ежедневно [8].

Ранее считалось, что для реализации супрессивного воздействия витамина D на уровень ПТГ у пациентов со снижением функции почек требуется назначение кальцитриола или его аналога, поскольку назначение пациентам со снижением функции почек холекальциферола или эргокальцеферола в силу снижения активности 1α-гидроксилазы не может оказать нужного эффекта в отношении VDR в ПЩЖ и других органах и тканях. В настоящее время эта точка зрения пересмотрена в связи с описанными выше новыми данными об аутокринных эффектах витамина D, не требующих почечной 1α-гидроксилазы. Кроме того, установлено, что кальцидиол также имеет сродство к VDR, правда, значительно меньшее, чем кальцитриол, но с учетом того факта, что концентрация кальцидиола примерно в 1000 раз выше, чем кальцитриола, это позволяет обеспечить удовлетворительную стимуляцию VDR [5, 36]. По сравнению с кальцитриолом холекальциферол дешевле, его протокол назначения более прост, имеет мало побочных эффектов даже при применении высоких доз. К тому же в ряде исследований показано, что 25(OH)D также стимулирует VDR, с меньшей аффинностью, чем кальцитриол, однако с большей доступностью для связывания из-за в 1000 раз более высокой концентрации в сыворотке крови.

В настоящее время рекомендации по диагностике, лечению и профилактике дефицита витамина D при ХБП не отличаются от рекомендаций в общей популяции. Однако в силу ряда особенностей метаболизма и действия витамина D у пациентов с ХБП данный подход является дискутабельным. В настоящее время неизвестно, какой уровень витамина D требуется для предупреждения роста ПТГ и реализации других негативных эффектов дефицита витамина D.

Kandula et al. выполнен систематический обзор литературных данных по применению витамина D у пациентов с ХБП. В исследованиях использова-

лись различные суточные дозы витамина D: от 4000 до 50 000 МЕ в сутки. В среднем период лечения составлял 6 мес. В результате было отмечено достоверное увеличение уровня 25(OH)D, снижение уровня ПТГ и не выявлено статистически значимого роста Ca и P [3]. Авторы сделали вывод, что применение витамина D улучшает уровни 25(OH)D и 1,2525(OH)D, снижает уровень ПТГ без значимого повышения риска гиперкальциемии и гиперфосфатемии. По сравнению с применением кальцитриола, эффект кальциферола слабее, однако с учетом лучшего профиля безопасности и меньшей стоимости применение кальциферола в настоящее время выглядит предпочтительным. В проанализированных исследованиях не уточнялось воздействие витамина D на кардиоваскулярные и скелетные исходы. Неясны эффекты длительного применения витамина D, оптимальный режим дозирования и целевой уровень.

Максимальная разовая доза, которая использовалась у пациентов с ХБП, – 300 000 МЕ [32]. Пациенты с ХБП 3–4 получали внутрь 2 дозы по 300 000 МЕ масляного раствора холекальциферола в начале исследования и на 8-й неделе. Применяемая тактика восполнения витамина D привела к увеличению его уровня почти в 2 раза с соответствующим снижением уровня ПТГ. Уровень кальция крови возрос, однако ни у одного из пациентов не развилась гиперкальциемия. СКФ сохранилась стабильной в ходе наблюдения, не установлено статистически значимого роста уровня FGF-23. В настоящее время не имеется доказательных данных в пользу развития гиперкальциемии при применении высоких доз витамина D в популяции пациентов с ХБП [37].

Заключение. Сведения в литературе о положительных эффектах витамина D, как классических, так и плейотропных, накапливаются в геометрической прогрессии. В большинстве рекомендаций критерием нормальной обеспеченности витамином D предлагается считать уровень 25(OH)D в крови 30 нг/мл и более. До сих пор ведется дискуссия об уровне витамина D, который является границей между нормой и дефицитом, есть разночтения при определении дефицита, недостаточности, тяжелого дефицита. Показано, что уровень 25(OH)D ниже 20 нг/мл – один из важнейших факторов, определяющих рост ПТГ и развитие ВГПТ. Различные методики определения витамина D демонстрируют разные результаты определения у одного и того же пациента.

Оптимальный протокол лечения и профилактики дефицита витамина D также до сих пор обсуждается, однако большинство авторов склоняются к применению у взрослых для лечения 50 000 МЕ витамина D 1 раз в неделю в течение 8 недель, далее – 1500–2000 МЕ в сутки. Профилактическая доза обсуждается в пределах 600–1000 МЕ в сутки. Распространенность дефицита витамина D у пациентов с ХБП выше, чем в общей популяции. Подходы к диагностике и лечению дефицита витамина D у пациентов с ХБП в настоящее время аналогичны подходам в общей популяции. Вместе с тем метаболизм витамина D и его активность у пациентов со снижением функции почек имеет значимые отличия от здорового индивидуума, что позволяет предположить, что рекомендации по диагностике, лечению и профилактике дефицита витамина D в общей популяции не могут быть полностью экстраполированы на пациентов с ХБП. Сейчас требует уточнения оптимальная методика применения витамина D у пациентов с ХБП, а также показания к назначению, целевой уровень и оптимальная схема мониторинга витамина D.

ЛИТЕРАТУРА

1. Kidney Disease: Improving Global Outcomes (KDIGO) CKD – MBD Work Group: KDIGO clinical practice guideline for the diagnosis, evaluation, prevention, and treatment of chronic idney disease – mineral and bone disorder (CKD – MBD) // Kidney Int. 2009; 113 (Suppl): S1–S130.

2. Sadat-Ali M., Al-Omran A.S., Al-Turki H.A. Parathyroid Glands response to Low Vitamin D levels in Healthy Adults: A Cross-Sectional Study // Ulster Med. J. 2015; 84 (1): 26–29.

3. Kandula P., Dobre M., Schold J.D. et al. Vitamin D supplementation in chronic kidney disease: a systematic review and meta-analysis of observational studies and randomized controlled trials // Clin. J. Am. Soc. Nephrol. 2011; 6 (1): 50–62.

4. Sprague S.M., Coyne D. Control of secondary hyperparathyroidism by vitamin D receptor agonists in chronic kidney disease // Clin. J. Am. Soc. Nephrol. 2010; 5 (3): 512–518.

5. Obi Y., Hamano T., Isaka Y. Prevalence and prognostic implications of vitamin D deficiency in chronic kidney disease // Dis. Markers. 2015; Epub 2015 Mar. 26.

6. Stojanovich O.I., Lasovich M., Lasovich M. et al. Association between atherosclerosis and osteoporosis, the role of vitamin D // Arch. Med. Sci. 2011; 7 (2): 179–188.

7. Williams S., Malatesta K., Norris K. Vitamin D and chronic kidney disease // Ethn. Dis. 2009; 19(4 Suppl. 5): S5–8–11.

8. Holick M.F., Binkley N.C., Bischoff-Ferrari H.A. et al. Evaluation, treatment, and prevention of vitamin D deficiency: an Endocrine Society clinical practice guideline // J. Clin. Endocrinol. Metab. 2011; 96 (7): 1911–1930.

9. Fraser W.D., Milan A.M. Vitamin D assays: past and present debates, difficulties, and developments // Calcif. Tissue Int. 2013; 92: 118–127.

10. World Health Organization Scientific Group on the Prevention and Management of Osteoporosis. Prevention and management of osteoporosis: report of a WHO scientific group. Geneva: World Health Organization. Technical report series. 2003. P. 921.

11. Dawson-Hughes B., Mithal A., Bonjour J.P. et al. IOF position statement: vitamin D recommendations for older adults // Osteoporos. Int. 2010; 21 (7): 1151–1154.

12. Dawson-Hughes B., Harris S.S., Dallal G.E. Plasma calcidiol, season, and serum parathyroid hormone concentrations in healthy elderly men and women // Am. J. Clin. Nutr. 1997; 65 (1): 67–71.

13. Adami S., Viapiana O., Gatti D. et al. Relationship between serum parathyroid hormone, vitamin D sufficiency, age, and calcium intake // Bone. 2008; 42 (2): 267–270.

14. Willett A.M. Vitamin D status and its relationship with parathyroid hormone and bone mineral status in older adolescents // Proc. Nutr. Soc. 2005; 64 (2): 193–203.
15. Kilicarslan A., Aslan A.C., Gezgen G. The role of vitamin D deficiency in parathyroid hormone levels // Turk. J. Med. Sci. 2013; 43 (3): 368–372.
16. Elsammak M.Y., Al-Wosaibi A.A., Al-Howeish A. et al. Vitamin D deficiency in Saudi Arabs // Horm. Metab. Res. 2010; 42 (5): 364–368.
17. Sai A.J., Walters R.W., Fang X. et al. Relationship between vitamin D, parathyroid hormone, and bone health // J. Clin. Endocrinol. Metab. 2011 Mar.; 96 (3): E436–E446.
18. Cauley J.A., Lacroix A.Z., Wu L. et al. Serum 25-hydroxyvitamin D concentrations and risk for hip fractures // Ann. Intern. Med. 2008; 149: 242–250.
19. Looker A.C., Mussolino M.E. Serum 25-hydroxyvitamin D and hip fracture risk in older U.S. white adults // J. Bone Miner. Res. 2008; 23: 143–150.
20. Melhus H., Snellman G., Gedeborg R. et al. Plasma 25-hydroxyvitamin D levels and fracture risk in a community-based cohort of elderly men in Sweden // J. Clin. Endocrinol. Metab. 2010; 95: 2637–2645.
21. Ensrud K.E., Taylor B.C., Paudel M.L. et al. Serum 25-hydroxyvitamin D levels and rate of hip bone loss in older men // J. Clin. Endocrinol. Metab. 2009; 94: 2773–2780.
22. Priemel M., von Domarus C., Klatte T.O. et al. Bone mineralization defects and vitamin D deficiency: histomorphometric analysis of iliac crest bone biopsies and circulating 25-hydroxyvitamin D in 675 patients // J. Bone Miner. Res. 2010; 25: 305–312.
23. Steingrimsdottir L., Gunnarsson O., Indridason O.S. et al. Relationship between serum parathyroid hormone levels, vitamin D sufficiency, and calcium intake // JAMA. 2005; 294: 2336–2341.
24. Lamber-Allardt C.J., Outila T.A., Kärkkainen M.U. et al. Vitamin D deficiency and bone health in healthy adults in Finland: could this be a concern in other parts of Europe? // J. Bone Miner. Res. 2001; 16: 2066–2073.
25. Patel S., Hyer S., Barron J. Glomerular filtration rate is a major determinant of the relationship between 25-hydroxyvitamin D and parathyroid hormone // Calcif. Tissue Int. 2007; 80 (4): 221–226.
26. Gunnarsson O., Indridason O.S., Franzson L. et al. Factors associated with elevated or blunted PTH response in vitamin D insufficient adults // J. Int. Med. 2009; 265 (4): 488–495.
27. Sahota O., Mundey M.K., San P. et al. Vitamin D insufficiency and the blunted PTH response in established osteoporosis: the role of magnesium deficiency // Osteoporos. Int. 2006; 17 (7): 1013–1021.
28. Maetani M., Maskarinec G., Franke A.A. et al. Association of leptin, 25-hydroxyvitamin D, and parathyroid hormone in women // Nutr. Cancer. 2009; 61: 225–231.
29. Metzger M., Houillier P., Gauci C. et al. Relation between circulating levels of 25(OH) vitamin D and parathyroid hormone in chronic kidney disease: quest for a threshold // J. Clin. Endocrinol. Metab. 2013 Jul.; 98 (7): 2922–2928.
30. Go A.S., Chertow G.M., Fan D. et al. Chronic kidney disease and the risks of death, cardiovascular events, and hospitalization // N. Engl. J. Med. 2004; 351:1296–1305.
31. Tonelli M., Muntner P., Lloyd A. et al. Risk of coronary events in people with chronic kidney disease compared with those with diabetes: a population-level cohort study // Lancet. 2012; 380: 807–814.
32. Chitalia N., Ismail T., Tooth L. et al. Impact of vitamin D supplementation on arterial vasomotion, stiffness and endothelial biomarkers in chronic kidney disease patients // PLoS ONE. 2014; 9 (3): e91363.
33. Scamps-Latscha B., Herbelin A., Nguyen A.T. et al. Immune system dysregulation in uremia // Semin. Nephrol. 1994;14: 253–260.
34. Barrat F.J., Cua D.J., Boonstra A. et al. In vitro generation of interleukin 10-producing regulatory CD4(+) T cells is induced by immunosuppressive drugs and inhibited by T helper type 1 (Th1)-and Th2-inducing cytokines // J. Exp. Med. 2002; 195: 603–616.
35. Muller K., Bendtzen K. 1,25-Dihydroxy vitamin D3 as a natural regulator of human immune functions // J. Investig. Dermatol. Symp. Proc. 1996; 1: 68–71.
36. Lou Y.R., Molnar F., Perakyla M. et al. 25-Hydroxyvitamin D(3) is an agonistic vitamin D receptor ligand // J. Steroid Biochem. Mol. Biol. 2010; 118: 162–170.
37. Dobnig H., Pilz S., Scharnagl H. et al. Independent association of low serum 25-hydroxyvitamin D and 1,25-dihydroxyvitamin D levels with all-cause and cardiovascular mortality // Arch. Intern. Med. 2008; 168: 1340–1349.

Поступила 13.12.2015

УДК 612.886.3:617.53

СОВРЕМЕННЫЕ АСПЕКТЫ ШЕЙНОГО ГОЛОВОКРУЖЕНИЯ

К.А. Садоха[1]*, С.Л. Якуш[2]

[1]Белорусская медицинская академия последипломного образования, Минск
[2]Ивановская центральная районная больница

*Контактная информация. Тел.: +375 29 680 64 65, e-mail: nevrologiya2011@mail.ru

MODERN ASPECTS OF CERVICAL DIZZINESS

K.A. Sadokha[1]*, S.L. Yakush[2]

[1]Belarusian Medical Academy of Postgraduate Education, Minsk
[2]Ivanovo Central District Hospital

*Corresponding author. Тел.: +375 29 680 64 65, e-mail: nevrologiya2011@mail.ru

Сделан обзор литературы по проблеме головокружения. Представлены современные данные о клинических проявлениях, диагностике и наиболее часто встречающихся причинах головокружения: шейное головокружение, синдром позвоночной артерии, синдром позвоночно-подключичного обкрадывания, стил-синдром. В связи с частыми диагностическими ошибками статья актуальна и практически значима.

КЛЮЧЕВЫЕ СЛОВА

головокружение,
шейное головокружение,
синдром позвоночной артерии,
синдром позвоночно-подключичного обкрадывания

KEYWORDS

vertigo,
cervical vertigo,
vertebral artery syndrome,
vertebral subclavian steal syndrome

In the article of is overviewed the literature on such medical issue, as vertigo. Presents modern data concerning clinical manifestations, diagnostic approaches and the most frequent causes of the vertigo, as cervical vertigo, the vertebral artery syndrome, the vertebral subclavian steal syndrome, steal-syndrome. Given frequent diagnostic errors in dealing with this problem, the article is relevant and practically significant.

В 1925 г. J.A. Barre описал синдром, который включал головную боль, головокружение, звон в ушах и вазомоторные симптомы. В 1926 г. его ученик Y.C. Lieou дал название этому синдрому «задний шейный симпатический». В 1927 г. A. de Kleijn отметил, что движения шеи могут провоцировать приступы головокружения и вызывать нистагм. Причиной данного синдрома считались дегенеративные изменения в шейном отделе позвоночника, которые приводили к хроническому раздражению симпатического сплетения позвоночной артерии. Впервые термин «шейное головокружение» в литературе был введен Rean и Cope в 1955 г. В 1960 г. S. Sheehan et al. сформулировали сосудистую гипотезу, согласно которой дегенеративные и посттравматические изменения в шейном отделе позвоночника могут приводить к сосудистым нарушениям в вертебробазилярном бассейне при сдавлении позвоночной артерии [5, 10]. В последующем многие авторы называли данное состояние по-разному. Головокружение, провоцируемое движениями в шейном отделе, выдающиеся российские неврологи называли шейным или цервикогенным (Н.В. Верещагин, 2003; В.Н. Шток, 1988, 2007). Термин же «вертеброгенное головокружение» предполагал связь данного процесса с дегенеративными изменениями и травмами шейного отдела позвоночника (А.Ю. Ратнер, 1963; А.И. Федин, 1999; И.Р. Шмидт, 2001; В.В. Поворознюк, 2005).

Для понимания причин цервикогенного головокружения необходимо представлять особенности вестибулошейного взаимодействия. Среди систем, принимающих участие в поддержании равновесия, особое место занимает система проприоцептивной чувствительности. Наибольший поток импульсов к вестибулярным ядрам поступает от структур шеи – костно-связочных, суставных и мышечных рецепторов, который еще более увеличивается при патологических изменениях в шее и шейном отделе позвоночника. Проприорецепторы, связанные с вестибулярным анализатором, в основном заложены в глубоких коротких межпозвоночных мышцах шеи. В меньшей

степени эти функции связаны с проприорецепторами поверхностных мышц шеи. Постоянные сбои в работе какого-то мышечного пучка, даже не соприкасающегося с позвоночной артерией напрямую, могут вызывать рефлекторный спазм данного кровеносного сосуда и, как следствие, головокружение, нарушение равновесия [10]. Известно, что и венозный отток в значительной мере зависит от состояния мышц шеи. К раздражению периартериального симпатического сплетения вокруг позвоночной артерии (ПА) приводят также остеофиты, которые развиваются в костном канале поперечных отростков шейных позвонков. Причинами шейного головокружения могут также быть дегенеративные изменения в верхних шейных позвоночно-двигательных сегментах, воздействующие на канал ПА, и ее компрессия мягкими околопозвоночными тканями – мышцами, связками, которые находятся с ней в тесном топографическом соотношении [5, 18].

Позвоночная артерия наиболее часто вступает в свой канал на уровне шестого шейного позвонка (канал поперечных отростков) и выходит из него на уровне CI–CII-позвонков. Дегенеративные изменения в шейном отделе позвоночника (спондилез и унковертебральный артроз, деформирующие спондилопатии, спондилолистез и нестабильность шейных позвоночно-двигательных сегментов) могут вызывать экстравазальную компрессию ПА – синдром сдавления позвоночной артерии при спондилезе – МКБ-10: М47.0 [16, 18]. Компрессия позвоночной артерии может быть на разных уровнях, которые необходимо определять с учетом клинических и нейровизуализационных данных. Первый уровень компрессии – до вхождения ее в канал поперечных отростков шейных позвонков. Чаще причиной компрессии в этой области служит спазмированная лестничная мышца. Подобная компрессия обычно развивается при аномалии отхождения ПА от подключичной артерии (ПА начинается от задней стенки последней). Данный комплекс анатомических и клинических проявлений составляет сущность синдрома Пауэрса [10]. Второй уровень компрессии может развиваться в костном шейном канале ПА при увеличении и деформации крючковидных отростков, направленных латерально и оказывающих давление на медиальную стенку артерии; подвывихах по Ковачу, спондилоартрозе, реже – при латеральной грыже дисков, врожденном сужении отверстий канала в поперечных отростках и т. д. [5, 10, 14, 15]. Третий уровень компрессии – в месте выхода из канала поперечных отростков ПА, где артерия сдавливается при аномалиях верхних шейных позвонков. В области первого шейного позвонка причиной мышечно-лигаментной компрессии позвоночной артерии может быть спазмированная нижняя косая мышца или оссифицированная затылочно-атлантная связка (аномалия Киммерли). На данном уровне возможно прижатие ПА к суставу CI–CII спазмированной нижней косой мышцей головы, а также уплотнением фиброзной ткани. ПА под нижней косой мышцей сопровождают три венозных ствола, расположенных медиально и кзади, ветвь нерва CII и собственное периартериальное сплетение. Все эти образования находятся в фиброзной оболочке и вблизи от атлантоаксиального сустава, иногда расположены в капсуле сустава. Близость ПА к атлантоаксиальному суставу способствует ее экстравазальной компрессии при боковом наклоне или ротации зуба CII. Это влечет за собой уменьшение кровотока в одной из ПА. При хорошей компенсации со стороны другой ПА такая ситуация является тренирующим фактором, однако у лиц с дополнительными вышеперечисленными патологическими изменениями это вызывает симптомы ишемии. Существует даже такое понятие, как инсульт лучника, который развивается при компрессии ПА на уровне CII–CI [5, 10, 18]. Стеноз или выраженная гипоплазия одной позвоночной артерии могут быть бессимптомными до тех пор, пока интактная артерия не будет закупорена или сдавлена. Сдавление может произойти при неправильном положении головы во время сна. Если голова повернута набок и в то же самое время запрокинута, контрлатеральная позвоночная артерия будет придавлена в шейно-затылочном сочленении. Если это положение сохраняется во время сна, то развивается олигемия в зоне кровоснабжения позвоночных артерий. При пробуждении появляются сильное головокружение, нарушение равновесия, рвота. Симптомы продолжаются несколько дней. Головокружение является позиционным, может быть спровоцировано удерживанием головы в определенном положении, иногда сопровождается нистагмом. При функциональной диагностике, МРТ, ангиографии обычно выявляются выраженный шейный остеохондроз, аномалии ПА [1–5, 10, 18, 19].

В разделе «Другие дорсопатии» в рубрику М53.0 МКБ-10 [16] включен шейно-черепной синдром. Среди причин синдрома выделяют дегенеративные изменения в шейном отделе позвоночника, которые сопровождаются уменьшением высоты межпозвоночных дисков, краевыми костными разрастаниями, унковертебральным артрозом, что приводит к хроническому раздражению симпатического сплетения позвоночной артерии (ПА) [18]. В ряде случаев его причиной может быть ирритация симпатического сплетения ПА при гиперэкстензионном подвывихе позвонков. В других случаях ирритация ветвей афферентного симпатического нерва происходит в заднем корешке при заднебоковой грыже диска или спондилезе. Ирритация спазмированными мышцами постганглионарных симпатических волокон около

ПА приводит к ее спазму и ухудшению кровоснабжения в вертебрально-базилярной системе, в том числе в лабиринтной артерии, кровоснабжающей вестибулярный аппарат, вызывает шейно-черепной синдром или ирритативный (рефлекторный) синдром позвоночной артерии, в структуру которого входит головокружение. При этом головокружение сопровождается симпаталгиями с резкой болью в волосистой части головы, ее реперкуссией на глазное яблоко, чувством «шлема» или «обруча», кардиалгией, синдромом Горнера, особенно его парциальным вариантом (сужением глазной щели, энофтальмом). При хронизации процесса возможны сопутствующие психовегетативные пароксизмы и тревожно-депрессивные расстройства [5, 10, 18]. В 2008 г. на Международной конференции «Нарушения равновесия» шведский ученый Mans Mognusson выдвинул теорию «порочного круга» при цервикогенном головокружении. Согласно этой теории, головокружение само по себе вызывает длительное состояние тревоги, которое приводит к избеганию движений и повышению мышечного тонуса, что, в свою очередь, активирует симпатоадреналовую систему и провоцирует тревожные реакции. Таким образом, получается своего рода замкнутый «порочный круг» [5, 10]. При диагностике шейно-черепного синдрома (заднего шейного симпатического синдрома) руководствуются следующими критериями: 1) боль в шейно-затылочной области, чаще с симпаталгической окраской, плохо локализуемая, разлитая, может распространяться в орбитальную область по типу гемикрании; 2) сопутствующие кратковременные кохлеовестибулярные и/или глазные, или глоточные нарушения; возникают на фоне шейно-затылочной симпаталгии (болевого анамнеза); 3) объективный вертебральный симптомокомплекс на шейном уровне; 4) значимый конфликт, указывающий на наличие фактора раздражения нервных волокон вокруг позвоночной артерии, синувертебрального нерва, выявляемый при шейной спондилографии, КТ, МРТ; 5) гипестезия по типу полукапюшона (снижение чувствительности в области задних 2/3 волосистой части головы), затем полукапюшона-полукуртки в развернутой стадии; 6) отсутствие стойких выраженных (более суток) неврологических очаговых нарушений; 7) необходимы условия для клинических проявлений: статическая или динамическая нагрузка на патологически измененный шейный отдел позвоночника – пробы с запрокидыванием головы, ее поворотом и фиксацией в этой позе [5, 10, 18, 19, 21].

Причиной шейного головокружения может быть подключичный стил-синдром – МКБ-10: G45.845.8 [16]. Недостаточность кровотока в вертебрально-базилярной системе (ВБС) может быть обусловлена не только препятствием току крови в подключичных и позвоночных артериях вследствие окклюзионно-стенотических поражений, но и позвоночно-подключичным обкрадыванием. Синдром позвоночно-подключичного обкрадывания (СППО; vertebral subclavian steal syndrome – VSSS), или стил-синдром (steal-синдром; steal в переводе с английского – воровать, красть, похищать, грабить) развивается либо в случае окклюзии или выраженного стеноза в первом сегменте подключичной артерии (ПкА) до отхождения от нее позвоночной артерии, либо в случае окклюзии или выраженного стеноза брахиоцефального ствола [5, 18–22]. Из-за градиента давления кровь по ипсилатеральной позвоночной артерии устремляется в руку, «обкрадывая» ВБС. Клиника СППО включает следующие симптомы: 1) головокружение; 2) синкопальные состояния, транзиторные ишемические атаки; 3) неврологический дефицит (ухудшение зрения, гемианопсия, атаксия); 4) мышечную слабость в конечности на стороне поражения; 5) отсутствие или ослабление пульса на стороне поражения; 6) разницу в артериальном давлении на верхних конечностях более 20 мм рт. ст. Клинически стил-синдром проявляется симптомами нарушения кровообращения в вертебрально-базилярной системе в сочетании с симптоматикой ишемии руки, особенно в процессе выполнения физической работы. Например, при стенозе левой подключичной артерии проксимальнее места отхождения позвоночной часть крови из правой позвоночной артерии забрасывается в левую позвоночную на нужды левой подкрыльцовой артерии. При выполнении левой рукой физической нагрузки ей требуется больше крови, которая «выкрадывается» из вертебробазилярной зоны кровоснабжения [20, 22]. Следует заметить, что синдромом обкрадывания, или steal-синдромом, обозначают любую ситуацию, при которой имеет место патологический, как правило, в обратном направлении (ретроградный) ток крови в артерии на фоне выраженного сужения или окклюзии магистрального артериального ствола, имеющего развитое дистальное русло и дающего начало данной артерии. Вследствие градиента артериального давления (более низкого в дистальном русле) происходит «перестройка» кровотока, смена его направления с заполнением бассейна пораженной артерии через межартериальные анастомозы, возможно, компенсаторно гипертрофированные. Наиболее частой причиной поражения проксимального сегмента ПкА является атеросклероз, реже в качестве этиологического фактора могут выступать специфический (сифилитический) или неспецифический аорто-артериит (болезнь Такаясу), внесосудистые и сосудистые аномалии развития – шейные ребра, синдром передней лестничной мышцы, смещение устьев артерий, др. Подключичная артерия имеет три сегмента (отдела): первый – от места

ее начала до входа в межлестничный промежуток; второй – в межлестничном промежутке; третий – от межлестничного промежутка до входа в подмышечную полость [18, 20, 22]. Стеноз/окклюзия подключичной артерии в 1-м сегменте у пациентов может проявляться одним из нижеперечисленных симптомов либо их сочетанием: 1) вертебробазилярная недостаточность (примерно в 66 % наблюдений; транзиторные ишемические атаки – примерно у 1/3 пациентов, симптомы ишемии верхней конечности – примерно в 55 %); 2) ишемия верхней конечности; 3) симптомы дистальной дигитальной эмболии (не более чем в 3–5 % наблюдений); 4) синдром коронарно-маммарно-подключичного обкрадывания (не превышает 0,5 %); 5) по данным литературы, около 20 % пациентов с поражением подключичной артерии не имеют клинической симптоматики. Вертебробазилярная недостаточность клинически проявляется одним из нижеперечисленных симптомов или их сочетанием: головокружение, головные боли, неустойчивость при ходьбе или стоянии, кохлеовестибулярный синдром, дроп-атаки, зрительные нарушения и т. д. При патологии подключичной артерии вертебробазилярная недостаточность возникает, как правило, при развитии стил-синдрома. При проксимальной окклюзии или критическом стенозе подключичной артерии до отхождения от нее позвоночной в результате снижения артериального давления (АД) в дистальном русле подключичной артерии происходит переток крови из контралатеральной позвоночной артерии по ипсилатеральной позвоночной артерии в подключичную артерию дистальнее места стеноза, т. е. в ущерб головному мозгу кровь устремляется от него к руке [5, 10, 18, 20, 22]. Ишемия верхней конечности является вторым по частоте встречаемости симптомом поражения подключичной артерии. Выделяют четыре стадии течения ишемии верхней конечности: 1 – стадия компенсации; отмечается повышенная чувствительность к холоду, зябкость, парестезии, чувство онемения; 2 – стадия субкомпенсации; симптомы ишемии в пальцах, кистях и мышцах предплечья при физической нагрузке – боли, слабость, похолодание, онемение, быстрая утомляемость; 3 – стадия декомпенсации; симптомы ишемии в покое с болями, постоянное онемение и похолодание, гипотрофия мышц, уменьшение мышечной силы; 4 – стадия язвенно-некротических изменений; отечность, синюшность, сильные боли, нарушение трофики, язвы, некроз и гангрена. Стадии 3 и 4 ишемии верхней конечности при хронической атеросклеротической окклюзии подключичной артерии возникают достаточно редко, что объясняется хорошо развитым коллатеральным кровообращением верхней конечности [5, 18, 20, 22].

Дистальная дигитальная эмболия является редким проявлением атеросклеротического поражения подключичной артерии, что связано с особенностями морфологии бляшки в подключичной артерии. Как правило, она имеет гомогенную структуру, концентрическую форму с небольшим риском изъязвления и дистальной эмболии. Эмболия проявляется симптомами дигитальной ишемии: выраженными болями, побледнением и похолоданием пальцев, нарушением их чувствительности, цианозом, в редких случаях – гангреной. Использование левой внутригрудной артерии для реваскуляризации коронарных артерий способно усугубить ишемию миокарда в случае гемодинамически значимого стеноза/окклюзии 1-го сегмента подключичной артерии. У таких пациентов может развиться синдром коронарно-маммаро-подключичного обкрадывания, который может привести к развитию инфаркта миокарда [20, 22].

Наличие стил-синдрома можно предположить уже на основании физикального обследования пациента: при сравнительном измерении артериального давления на обеих руках (важная процедура, которой не следует пренебрегать на практике) выявляется различие значений АД (градиент), а при стенозах – еще и систолический шум в проекции пораженной поключичной артерии. При дуплексном сканировании в типичных случаях стил-синдрома определяются коллатеральный кровоток по подключичной артерии дистальнее области поражения сосуда и ретроградный кровоток по позвоночной артерии. Безусловным подтверждением наличия стил-синдрома являются результаты рентгенконтрастной ангиографии, во время которой при введении контрастного вещества в контралатеральную (здоровую) подключичную артерию пораженная подключичная артерия заполняется через систему позвоночных ветвей [18–20, 22].

Известно, что значительную роль в происхождении шейного головокружения играет цервикальная травма, сопровождающая острую черепно-мозговую травму (ЧМТ), или «хлыстовая» травма позвоночника. Впервые вестибулярные нарушения после хлыстообразного повреждения шеи описал J.M. de Jong в 1967 г. Он сформулировал гипотезу нарушения соматосенсорного входа. «Хлыстовая» травма вызывает повреждение связок, межпозвоночных соединений и глубоких шейных мышц, что приводит к патологически повышенной возбудимости тканей и увеличению импульсации от проприорецепторов шеи. Головокружение в таких случаях связано не столько с сотрясением, сколько с реакцией мышц шеи и шейного отдела [5, 10]. Согласно гипотезе J.M. de Jong, возникновение цервикогенного головокружения предполагает повышенную возбудимость и увеличение проприоцептивной импульсации от шейных структур

в результате дегенеративных изменений костно-связочного аппарата. Допускалось, что эти нарушения соматосенсорного входа и вызывают расстройства в пространственной ориентации, головокружение и нистагм, особенно при движениях головы и шеи [5]. При ЧМТ вследствие баллистического механизма шея совершает резкое разгибательное движение, при этом происходит перерастяжение структур опорного комплекса (межпозвонковых дугоотростчатых суставов и диска, продольных связок, мышц). Характерны растяжение и перенапряжение атлантоаксиального и атлантоокципитального суставов. В результате травмы мягких тканей возникают выраженные ноцицептивные импульсы с последующим мышечным спазмом и локальным отеком. В более тяжелых случаях возможны подвывихи суставов, разрывы фиброзного кольца дисков, костные переломы [5, 18]. Непосредственные механизмы головокружения при цервикальной травме те же, что при дорсопатии и шейно-черепном симпатическом синдроме. Механизм посттравматической вестибулярной дисфункции обусловлен раздражением шейного симпатического нервного сплетения с повышением активности проприорецепторов глубоких мышц шеи, которая по афферентным путям достигает ствола мозга, мозжечка, приводит к нарушению пространственной ориентации и головокружению [5, 10]. Головокружение в этих случаях включается в синдром позвоночной артерии наряду с кохлеарными, глазодвигательными и зрительными расстройствами, статической и динамической атаксией. Характерно, что головокружение является ведущим в клинике посттравматического синдрома позвоночной артерии. Головокружение может быть как приступообразным, так и более длительным, в течение нескольких дней. Наиболее часто в первые дни после травмы отмечается вращательное головокружение с ощущением вращения пациента или окружающих предметов, вегетативными реакциями (изменение пульса и АД, тошнота, рвота, бледность, потливость). Почти всегда это системное головокружение сочетается с проприоцептивными иллюзорными (расстройство равновесия, неуверенность, неустойчивость и шаткость) и соматосенсорными (ощущение проваливания, качания на волнах) нарушениями. Чаще отмечается проприоцептивное (позиционное) головокружение. Нистагм (спонтанный и позиционный) выявляется более чем у 1/3 пациентов [5, 10, 11, 14, 18]. Тонкие костные мембраны лабиринта могут повреждаться при травме. Сразу после травмы возникают вестибулярное головокружение, тошнота, рвота вследствие выключения одного из лабиринтов. Реже головокружение обусловлено поперечным или продольным переломами пирамиды височной кости, которые сопровождаются кровоизлиянием в среднее ухо или повреждением барабанной перепонки. Характерны горизонтальный спонтанный нистагм и нарушение равновесия. Симптоматика усиливается при резких движениях головой [5, 10, 11–15, 18].

Таким образом, цервикогенное головокружение характеризуется полиморфным патогенезом, широко распространено в медицинской практике, имеет свои клинические особенности. Часто пациенты жалуются на внезапные ощущения неустойчивости, шаткость ходьбы. Могут также быть развернутые приступы с вращением, качанием и проваливанием. Возможны длительные вестибулярные кризы с кохлеарными расстройствами, атаксией, тошнотой и рвотой. Обычно в межприступном периоде нет характерной симптоматики. При дифференциальном диагнозе следует учитывать возможные периферические и центральные причины головокружения [5, 10, 12, 18, 19]. К предрасполагающим факторам в развитии шейного головокружения относят длительное однообразное положение головы и шеи (например, при длительной работе за компьютером), психоэмоциональные перегрузки, отсутствие адекватной физической нагрузки, травмы шейного отдела позвоночника (в частности, «хлыстовая» травма, возникающая при автомобильной аварии), длинная мобильная шея, особенно у женщин молодого возраста [5]. Головокружение при шейной дорсопатии возникает вследствие нарушения мышечной афферентации при ирритации проприорецепторов в позных мышцах, особенно при спазме нижней косой, лестничных мышц, реже – грудино-ключично-сосцевидной и верхней порции трапециевидной мышцы. Эти пациенты обычно страдают не головокружением как ощущением движения, а больше расстройством равновесия, пошатыванием [5, 10, 12, 14, 15, 18, 19].

Основной диагностический поиск при шейном головокружении сводится к трем основным этапам: 1) определение характера головокружения; 2) выяснение уровня поражения вестибулярного анализатора; 3) установление нозологической формы заболевания. С этой целью проводят анализ субъективного ощущения пациента, соматического и неврологического обследования. В амбулаторной практике при ограниченном времени осмотра пациента нужно проверить наличие или отсутствие нистагма, асимметрии корнеальных рефлексов, ограничения движений глазных яблок. Методы исследования вертеброгенной патологии и миофасциальной дисфункции включают мануальное исследование, визуальную диагностику, рентгенограммы шейного отдела позвоночника, черепа, краниовертебрального перехода, атлантоокципитального сочленения и при необходимости МРТ в сосудистом

режиме. Пальпация шейных мышц при дорсопатии выявляет локальные мышечные гипертонусы и триггерные зоны в мышцах шеи, продуцирующих проприоцептивное головокружение. Пальпация мышц проводится перпендикулярно направлению оси мышечного волокна. Для оценки роли конкретных мышечных триггерных точек необходимо сильно надавливать на эти точки в течение 10–15 с, ожидая появления головокружения. Методом визуальной диагностики оцениваются произвольные движения в шейном отделе позвоночника, положение плеч и головы, состояние позвоночника в целом, контуры шеи при осмотре сбоку. Все эти параметры составляют биомеханическую норму. Асимметрия указанных структур приводит к патологической импульсации со стороны шеи. Диагностическое значение имеют также оценка активных движений в шейном отделе позвоночника и определение их объема. В норме он составляет: сгибание – 45°, разгибание – 50°, наклоны в стороны (отведение и приведение) – по 45° в каждую сторону, поворот (ротация) – по 75° в каждую сторону. Если активные движения нарушены или представлены в неполном объеме, речь идет о дисфункции. Определение объема движений в шейном отделе в разных направлениях позволяет обнаружить функциональные блоки в верхних шейных позвоночных двигательных сегментах с ограничением движений в суставах позвоночника, что является признаком шейной дорсопатии. Шейная спондилография дает возможность выявить дегенеративные изменения в позвоночно-двигательных сегментах. При клинических проявлениях сосудистой патологии головного мозга рекомендуется проведение УЗДГ или дуплексного сканирования экстра- и интракраниальных артерий. Методы нейровизуализации (желательна МРТ головного мозга, при показаниях – с одновременной МР-ангиографией) применяются при неясном диагнозе, особенно при приступах системного головокружения, которые сопровождаются нарушением слуха [5, 7–14, 15, 17–19, 21].

Таким образом, шейное головокружение – заболевание с многообразием этиологических факторов, патогенетических механизмов и клинических проявлений. Существует гипотеза, согласно которой цервикогенное (шейное) головокружение является результатом дисбаланса между вестибулярной, зрительной и цервикальной мышечной афферентацией. Этот дисбаланс проявляется при движениях шеи. В норме вестибулярная система детектирует линейные и угловые ускорения головы в пространстве. Сами шейные проприорецепторы сигнализируют о позиции головы. Взаимодействие этих двух систем на уровне вестибулярных ядер обеспечивает стабилизацию позы и ориентацию в пространстве. Нарушение шейно-вестибулярных взаимодействий и гемодинамики – ведущие патогенетические факторы цервикогенного (вертеброгенного) головокружения. Данная проблема становится все более актуальной не только в медицинском, но и в социальном аспекте. Шейное головокружение может привести к значительному ухудшению качества жизни пациента, лишая его возможности вести привычный образ жизни, качественно выполнять профессиональные обязанности, нередко способствует его зависимости от посторонней помощи, может вызвать утрату трудоспособности и стать причиной инвалидности [1–13, 17–19, 21].

ЛИТЕРАТУРА

1. Бертон М.Д. Головокружение: особенности диагностики и лечения // Лечащий врач. 1999; 4: 58–60.

2. Биттар Р. Головокружение у пожилых пациентов: по материалам Международного симпозиума в рамках конгресса Европейского неврологического общества, Берлин, 21 июня 2010 г. // Vertigo News. 2010: 6–7.

3. Вейс Г. Головокружение // Неврология; под ред. М. Самуэльса. 5-е изд. М.: Практика, 1997. С. 94–120.

4. Веселаго О.В. Головокружение. М., 2001. 94 с.

5. Добрянская М. Современные концепции цервикогенного головокружения: по материалам I Национальной психоневрологической недели, Киев, 2–3 дек. 2009 г. // НейроNEWS. 2010; 1 (20): 3–6.

6. Замерград М.В. Современные методы медикаментозного лечения вестибулярных нарушений // Неврология. Нейропсихиатрия. Психосоматика. 2012; 3: 1–5.

7. Кингма Г. Обследование и лечение пациентов с доброкачественным пароксизмальным позиционным головокружением // Материалы Международной конференции стран Азии по нарушениям равновесия, Бангкок, Таиланд, 12 апр. 2008 г. Бангкок, 2008. С. 4.

8. Ковалева И.Ю., Гехт А.Б., Лебедева А.В. и др. Применение бетагистинов в клинической практике. Результаты сравнительного многоцентрового исследования // Consilium Medicum (UKRAINA). 2014; 9 (8): 1–4 (репринт).

9. Лихачев С.А., Войтов В.В. Современные аспекты диагностики и лечения вестибулярной дисфункции: метод. пособие. Минск, 2005. 36 с.

10. Морозова О.Г., Ярошевский А.А. Вертебрально-базилярная недостаточность: синдром или диагноз? Диагностическая и терапевтическая тактика // Здоровье Украины (Неврология. Психиатрия. Психотерапия). 2014; 2 (29): 9–11.

11. Морозова С.В., Воробьев П.А., Парфенов В.А. и др. Головокружение: актуальные аспекты диагностики и лечения с учетом фармакоэкономики // Consilium Medicum (UKRAINA). 2014; 8 (8): 1–4.

12. Мурашко Н.К. Дифференциально-диагностические критерии при жалобах на головокружение // Здоровье Украины (Неврология. Психиатрия. Психотерапия). 2010; 1: 1–4.
13. Парфенов В.А., Замерград М.В. Головокружение в неврологической практике // Неврол. журн. 2005; 1: 4–11.
14. Путилина М.В. Особенности диагностики и лечения дорсопатий в неврологической практике // Consilium Medicum. 2006; 8 (8): 44–48.
15. Путилина М.В. Дорсопатии: дифференциальный диагноз и лечение // Справ. поликлин. врача. 2007; 5: 1–8.
16. Справочник по формулированию клинического диагноза болезней нервной системы / под ред. В.Н. Штока, О.С. Левина. М.: Мед. информ. агентство, 2010. 520 с.
17. Сулик Р.В. Специфические нарушения равновесия и ходьбы на фоне вестибулярной дисфункции: диагностика и лечение // Здоровье Украины. 2013; 3: 1–4.
18. Федин А.И. Избранные лекции по амбулаторной неврологии. М., 2013. 171 с.
19. Фэрман Д. Центральные механизмы головокружения // Междунар. мед. журн. 2000; 6: 549–556.
20. Lee S., Jeong M., Rhew J. et al. Simultaneous coronary-subclavian and vertebral-subclavian steal syndrome // Circ. J. 2003; 67 (5): 464–466.
21. Oosterveld W.J. Current diagnostic techniques in vestibular disorders // Acta Otolaryngol (Stockh). 1991; 479: 29–34.
22. Takach T., Reul G., Cooley D. et al. Myocardial thievery: the coronary-subclavian steal syndrome // Ann. Thorac. Surg. 2006; 81 (1): 386–392.

Поступила 18.01.2016

lactomarin.com

ЛАКТОМАРИН

Здоровье
из морских глубин!

Лактомарин

100% натуральный, уникальный и сбалансированный гель из дальневосточных бурых водорослей, содержащий растворимые пищевые волокна, биологически активные вещества, витамины, макро- и микроэлементы.

- Укрепляет здоровье
- Повышает иммунитет
- Снижает воспаление
- Нормализует естественную флору кишечника
- Оказывает антибактериальный эффект
- Насыщает организм антиоксидантами
- Удаляет токсические продукты обмена веществ

Тел.: (017) 288 28 42
Адрес: г. Минск, пр-т Независимости, 37
(100 метров от ст.м. Площадь Победы)

СОВРЕМЕННЫЕ
БИОТЕХНОЛОГИИ

KRKA – одна из ведущих генерических фармацевтических компаний в мире с собственными клиническими исследованиями.(1)

Выбери свободу

НОЛЬПАЗА®

пантопразол

Нольпаза — одна таблетка в сутки при изжоге и для защиты желудка

- **Инновационная фармацевтическая форма, защищенная патентом**
- **Безопасное лечение за счет низкого риска лекарственных взаимодействий**
- **«Защита» желудка при приеме кардиоаспирина**

Представительство в Беларуси: 220012, г. Минск, ул. Сурганова, 29, оф. 28
Тел. (017) 290 05 11. Факс (017) 290 05 10. E-mail: info.by@krka.biz, www.krka.by
РУ МЗ РБ№8730/08/13 до 04.09.2018

1. KRKA,d.d.,Novo mesto. Annual Report 2012 or Krka, d.d., Novo mesto. (URL:http://www.krka.si) (9.10.2013)

ISSN 2219-6404

www.krka.by

KRKA

Позитив центр/6/2014/Беларусь/2014-0021767.